



GRE CODE  
**GRE.EEC.R.73.IT.W.12420.05.032.02**

PAGE  
 1 di/of 3

TITLE:

AVAILABLE LANGUAGE: IT

# INTEGRALE RICOSTRUZIONE DELL'IMPIANTO EOLICO DI NICOSIA

## PROGETTO DEFINITIVO

### Allegati Relazione Archeologica GNA\_VPIA

File: GRE.EEC.R.73.IT.W.12420.05.032.02-ALLEGATI GNA-VPIA.docx

REV.	DATE	DESCRIPTION	PREPARED	VERIFIED	APPROVED
02	03/08/2023	Adeguamento DPCM 14/02/2022	F.IANNI'	A. ALFANO	F.IANNI'
01	23/09/2022	Emissione per commenti	F.IANNI'	A. ALFANO	F.IANNI'

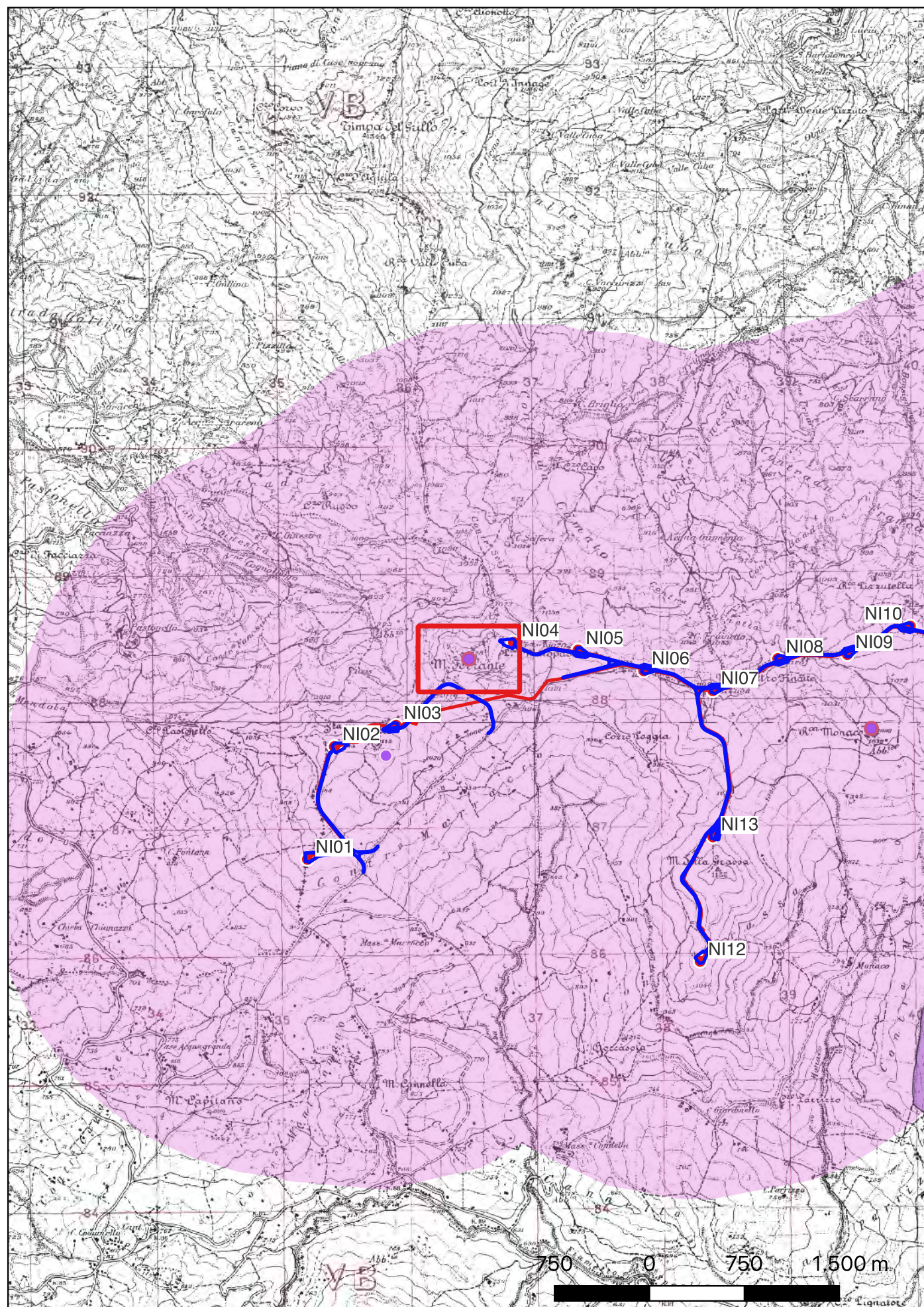
#### GRE VALIDATION

Name (GRE)	F. Lenci	L. Iacofano
COLLABORATORS	VERIFIED BY	VALIDATED BY

PROJECT / PLANT Nicosia	GRE CODE																		
	GROUP	FUNCION	TYPE	ISSUER	COUNTRY	TEC	PLANT				SYSTEM	PROGRESSIVE	REVISION						
	GRE	EEC	R	7	3	I	T	W	1	2	4	2	0	0	5	0	3	2	0

CLASSIFICATION	UTILIZATION SCOPE
----------------	-------------------

## Sito 01 - Monte Ferrante (SOPR-EN-ME\_2023\_0037-AKS\_000037\_01)



**Localizzazione:** Geraci Siculo (PA) - Monte Ferrante,

**Definizione e cronologia:** area ad uso funerario, {sepolcreto rupestre}. {Età Romano imperiale, Età dei Metalli},  
Frequentazione anche di età greca (non presente in tabella).

**Modalità di individuazione**{dati bibliografici, dati di archivio}

**Distanza dall'opera in progetto:**200-500 metri

**Potenziale:** potenziale alto

**Rischio relativo:** rischio medio

Il sito di Monte Ferrante è stato segnalato per la prima volta nella seconda metà del XIX secolo da Francesco Minà Palumbo, eminente studioso e naturalista originario di Castelbuono, che riportava la presenza in alcune cavità rinvenute sul monte di un'accetta "di roccia silicea a grana finissima. ... Questa accetta ha la forma di un quadrato allungato, ben levigata su tutti i lati. ... La sua lunghezza è di 9 cm, la larghezza di 6 cm ", da lui quindi attribuita ad età preistorica. Tale segnalazione è stata, quindi, ripresa dal Marchese De Gregorio all'inizio del XX secolo. Il sito di Monte Ferrante è stato più recentemente verificato dal Mannino che, pur confermando la natura 'preistorica' dell'accetta segnalata dal Minà Palumbo, interpreta i due ipogei come tombe rupestri paleocristiane, considerato che da un punto di vista architettonico queste presentano pianta quadrangolare e i resti di sepolture ad arcosolio di età romano imperiale (III-V sec. d.C.) scavate lungo le pareti interne. Insieme con le vaghe indicazioni per la frequentazione del sito in età preistorica e quelle più evidenti per l'età romana e tardo antica, riferimenti più chiari alla frequentazione in età greca arcaica e classica vengono dalle più recenti indagini nella chora di Halaesa condotte dall'Università di Palermo. Monte Ferrante infatti è stato definito come un piccolo centro, forse un phrourion o postazione militare.

MANNINO G. 2008. Guida alla preistoria del Palermitano. Palermo: Istituto siciliano studi Politici ed economici.  
MINA' PALUMBO F., 1869, Paleoetnologia Sicula. Le armi di pietra in Sicilia, in Rivista Sicula di Scienze, Letteratura ed arti, vol. II, fasc. 8, pp. 101-114.

DE GREGORIO A. 1917. Iconografia delle collezioni preistoriche della Sicilia, Parigi: Annales de Géologie et de Paléontologie (ristampa anagrafica).



## Sito 02 - Rocca Monaco (SOPR-EN-ME\_2023\_0037-AKS\_000037\_02)

**Localizzazione:** Nicosia (EN) - Rocca Monaco, Rocca Monaco

**Definizione e cronologia:** struttura abitativa, {abitazione rupestre}, {Età Altomedievale},

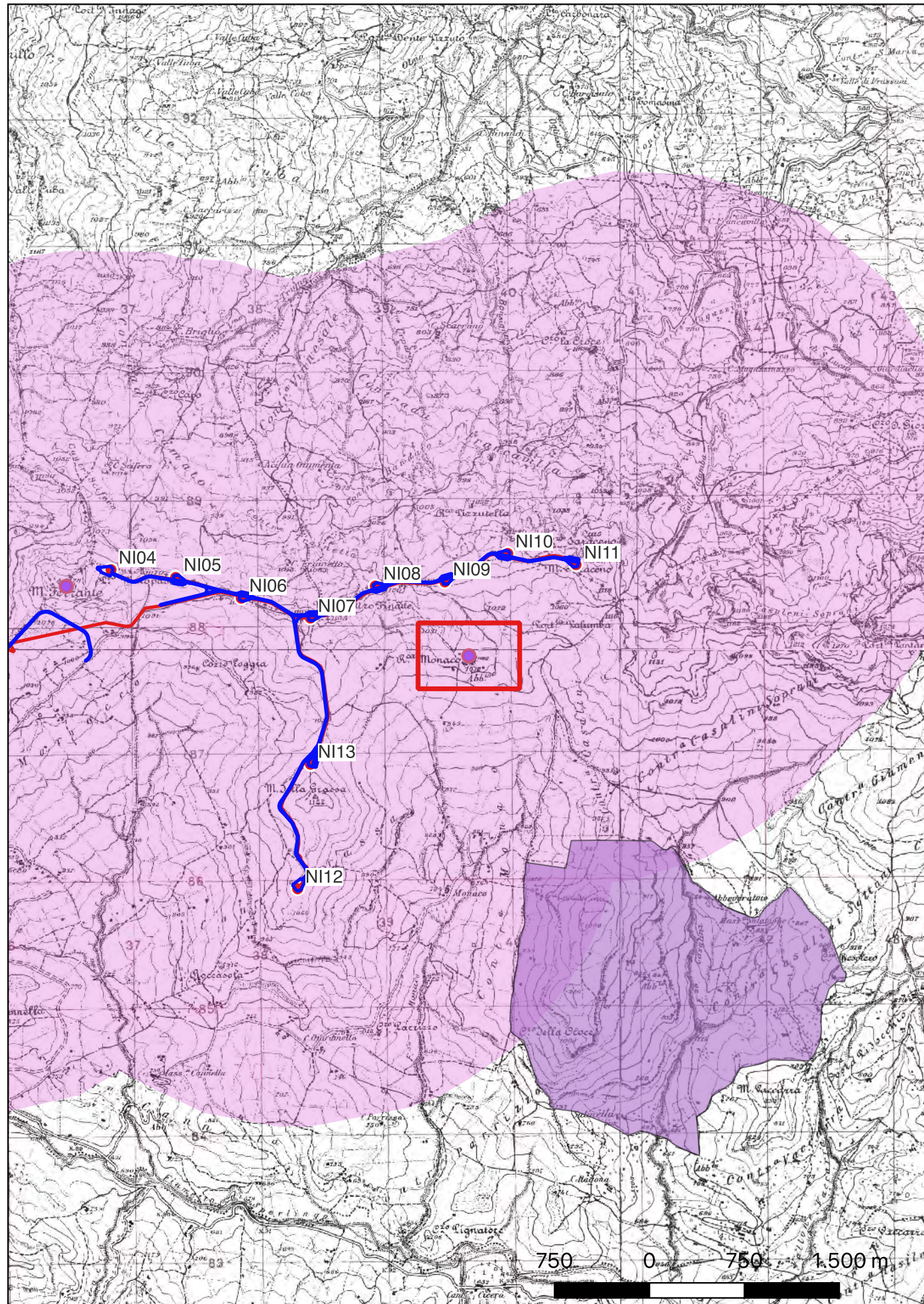
**Modalità di individuazione**{dati bibliografici, dati di archivio}

**Distanza dall'opera in progetto:**500-1000 metri   **Potenziale:** potenziale alto

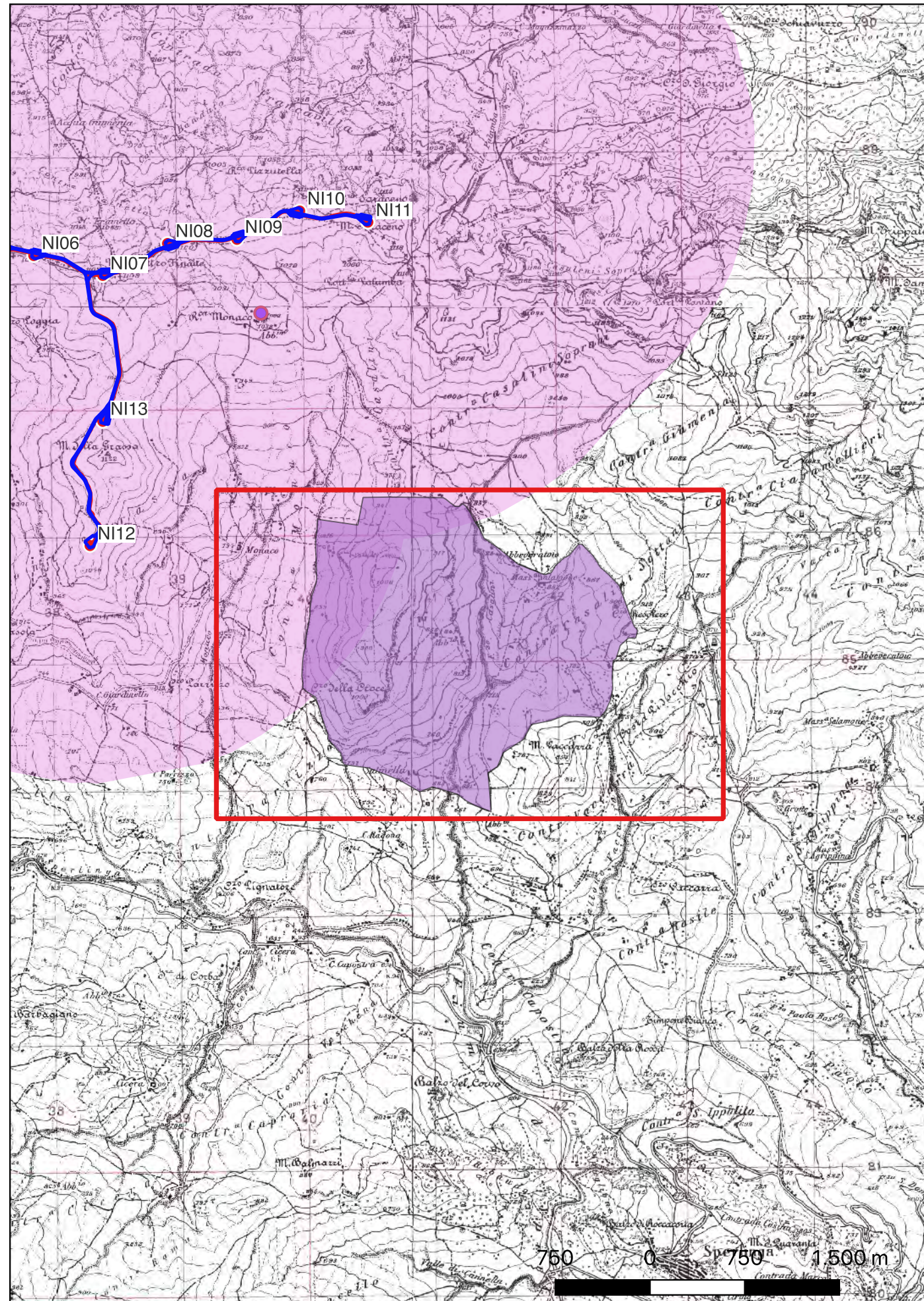
**Rischio relativo:** rischio basso

Lungo le pareti rocciose del piccolo rilievo di Rocca Monaco si conservano i resti di un abituro rupestre, forse utilizzato da un eremita in età altomedievale

VALBRUZZI F. 2017b. Geografia e paesaggio storico della Sicilia interna: la civiltà rupestre negli Erei settentrionali tra tutela territoriale e identità culturale, in CAMMINECI V., PARELLO M. C., RIZZO M. S. (a cura di), La Persistenza della Memoria: Vivere il Paesaggio Storico. Atti delle Giornate Gregoriane, VIII edizione (Agrigento, 27-28 novembre 2015); pp. 101-107. Roma, «L'Herma» di Bretschneider.



## Sito 03 - C.da Casalini-Cozzo della Croce-Grotte della Lonfana (SOPR-EN-ME\_2023\_0037-AKS\_000037\_03)



**Localizzazione:** Nicosia (EN) - [% represent\_value( "PVL - Toponimo/località" ) %],

**Definizione e cronologia:** sito pluristratificato, {}. {Età Tardoantica, Età Medievale},

**Modalità di individuazione**{dati di archivio}

**Distanza dall'opera in progetto:**>1000 metri

**Potenziale:** potenziale alto

**Rischio relativo:** rischio nullo

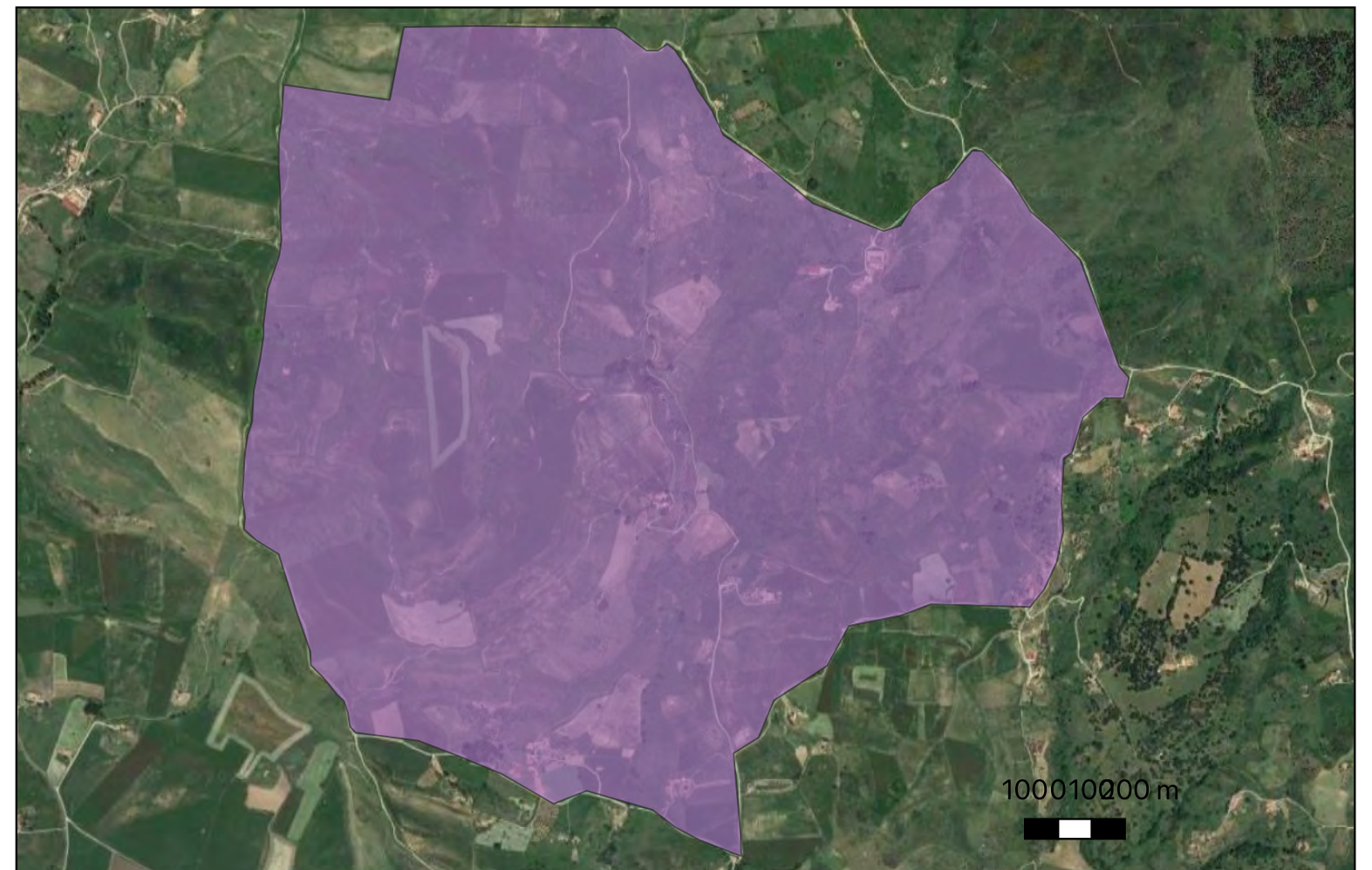
Area di interesse archeologico denominata C.da Casalini-Cozzo della Croce-Grotte della Lonfana comprendente i siti di Cozzo della Croce-Grotte della Lonfana e quello di Costa Pidocchio, entrambi posti sempre a circa 4 km dall'area in progetto. Il primo è costituito da una serie di ipogei che si aprono lungo un costone roccioso che delimita ad Est Cozzo della Croce, aperto verso il sottostante torrente Casalini. L'ipogeo principale è un oratorio paleocristiano, identificato come S. Pietro della Vaccaria. È costituito da un grande ambiente scavato nella roccia con volta a botte, nei pressi del quale si aprono altri ipogei usati come necropoli e caratterizzati da tombe ad arcosolio e tombe sub divo scavate lungo le pareti e su fondo roccioso, oltre che ad una sorgente, nota come Acque della Lonfana. Anche nell'area di Costa Pidocchio sono noti diversi abituri rupestri con ipogei funerari di età tardo romana.

CAMPIONE A. 2003, Nicosia. Itinerari di archeologia rupestre, Leonforte.

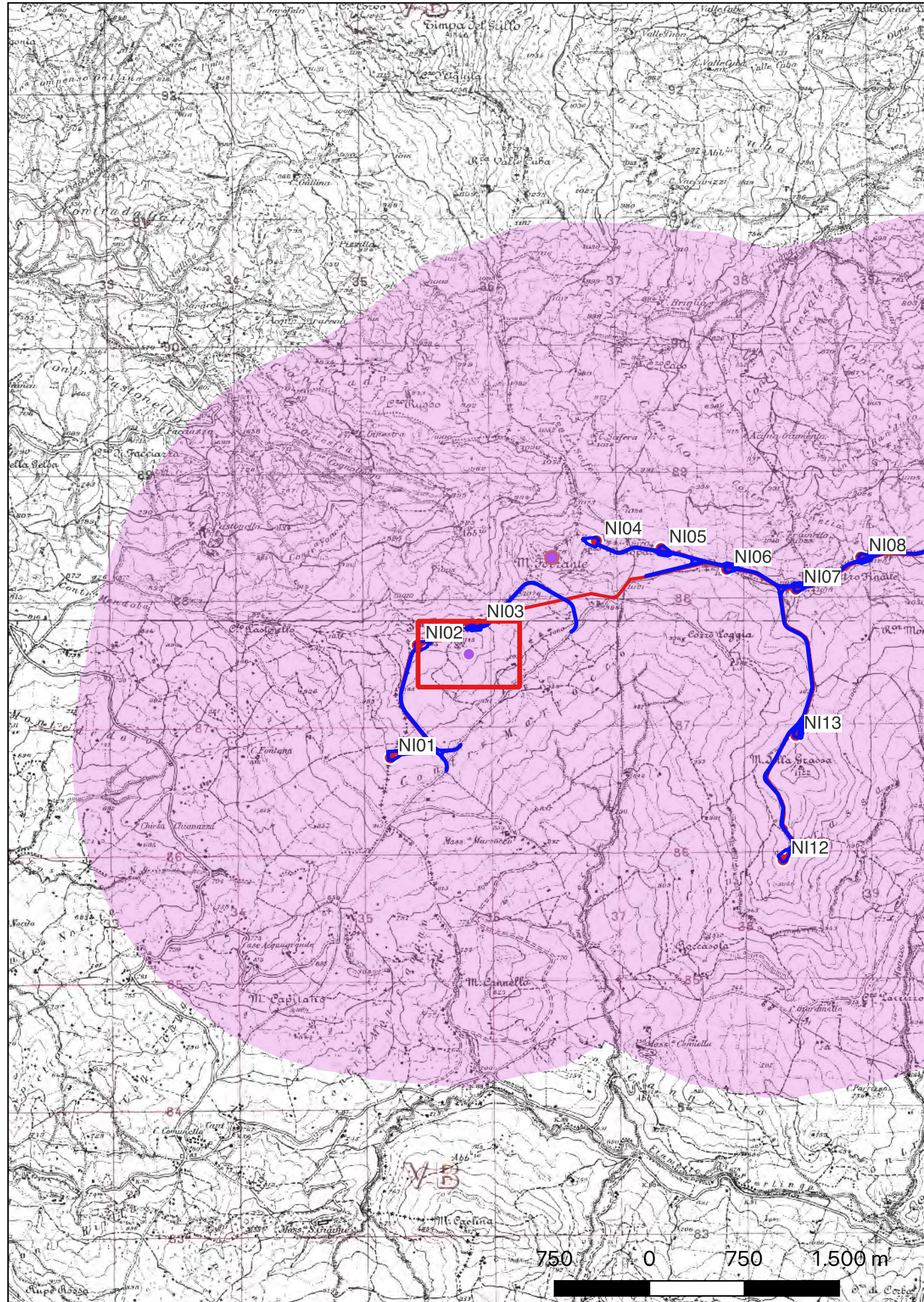
VALBRUZZI F. 2017a. Un contributo all'archeologia dei paesaggi nei Nebrodi meridionali. Centri urbani antichi, viabilità e insediamenti rurali, in MELLUSI G., MOSCHEO R. (a cura di), Kthma Es Aiei: Studi e Ricordi in Memoria di Giacomo Scibona: 491-514. Messina, Società Messinese di Storia Patria.

VALBRUZZI F. 2017b. Geografia e paesaggio storico della Sicilia interna: la civiltà rupestre negli Erei settentrionali tra tutela territoriale e identità culturale, in CAMMINECI V., PARELLO M. C., RIZZO M. S. (a cura di), La Persistenza della Memoria: Vivere il Paesaggio Storico. Atti delle Giornate Gregoriane, VIII edizione (Agrigento, 27-28 novembre 2015): pp. 101-107. Roma, «L'Herma» di Bretschneider.

Piano Territoriale Paesaggistico di Enna.  
Soprintendenza BB.CC.AA. di Enna.



## Sito 04 - Serra Marrocco (SOPR-EN-ME\_2023\_0037-AKS\_000037\_04)



**Localizzazione:** Nicosia (EN) - Serra Marrocco,

**Definizione e cronologia:** anomalia rilevata sul terreno, {}, {Età Contemporanea},

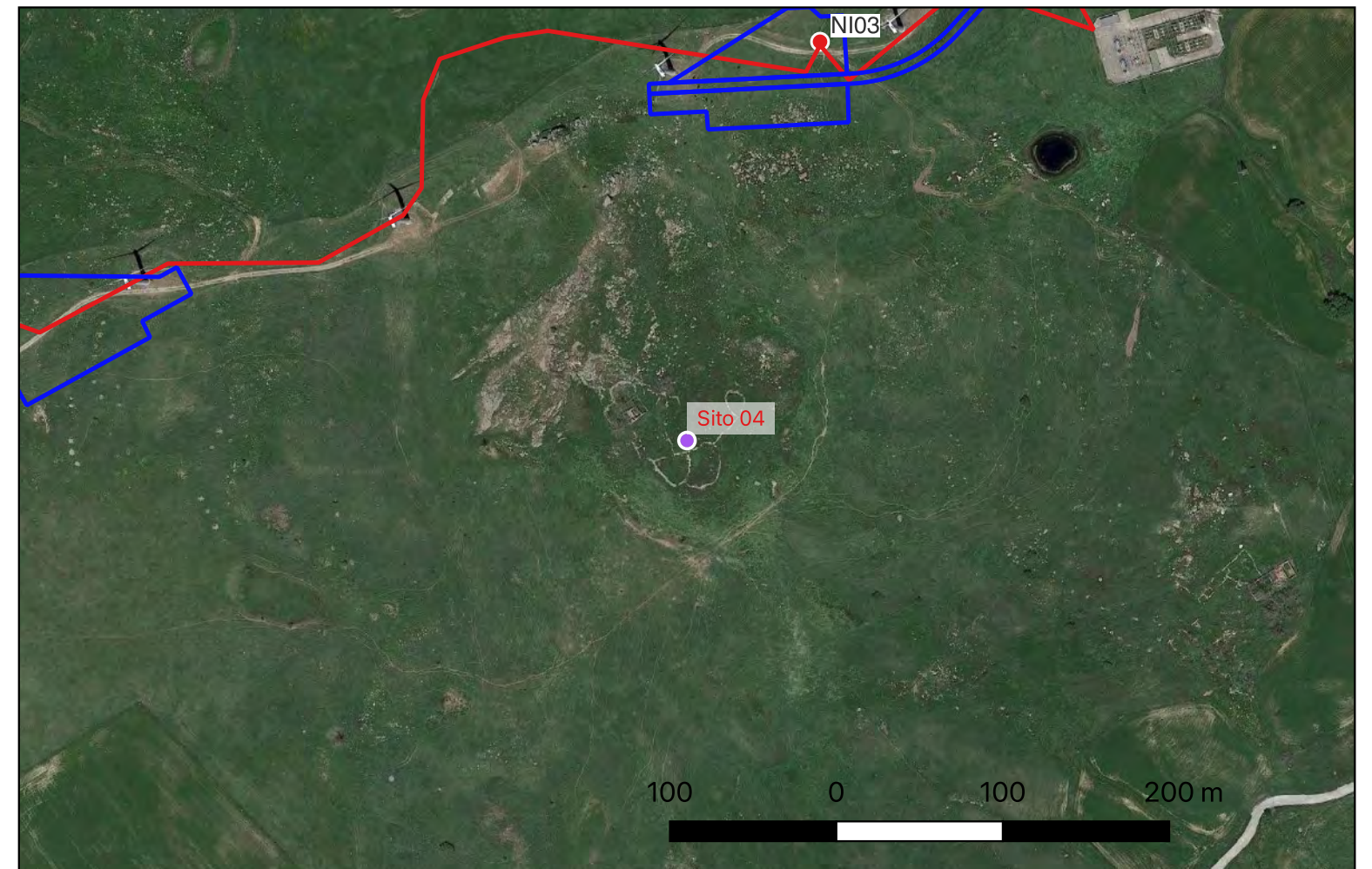
**Modalità di individuazione:** {fotointerpretazione/foto restituzione, ricognizione archeologica/survey }

**Distanza dall'opera in progetto:** 200-500 metri

**Potenziale:** potenziale nullo

**Rischio relativo:** rischio nullo

Recinti in pietrame di forma circolare, ellittica e irregolare individuati nel corso dell'analisi fotogrammetrica. Nel corso del sopralluogo è stato accertato che si tratta di recinti per il ricovero di animali in uso fino a pochi decenni fa (la tipica mannara siciliana).



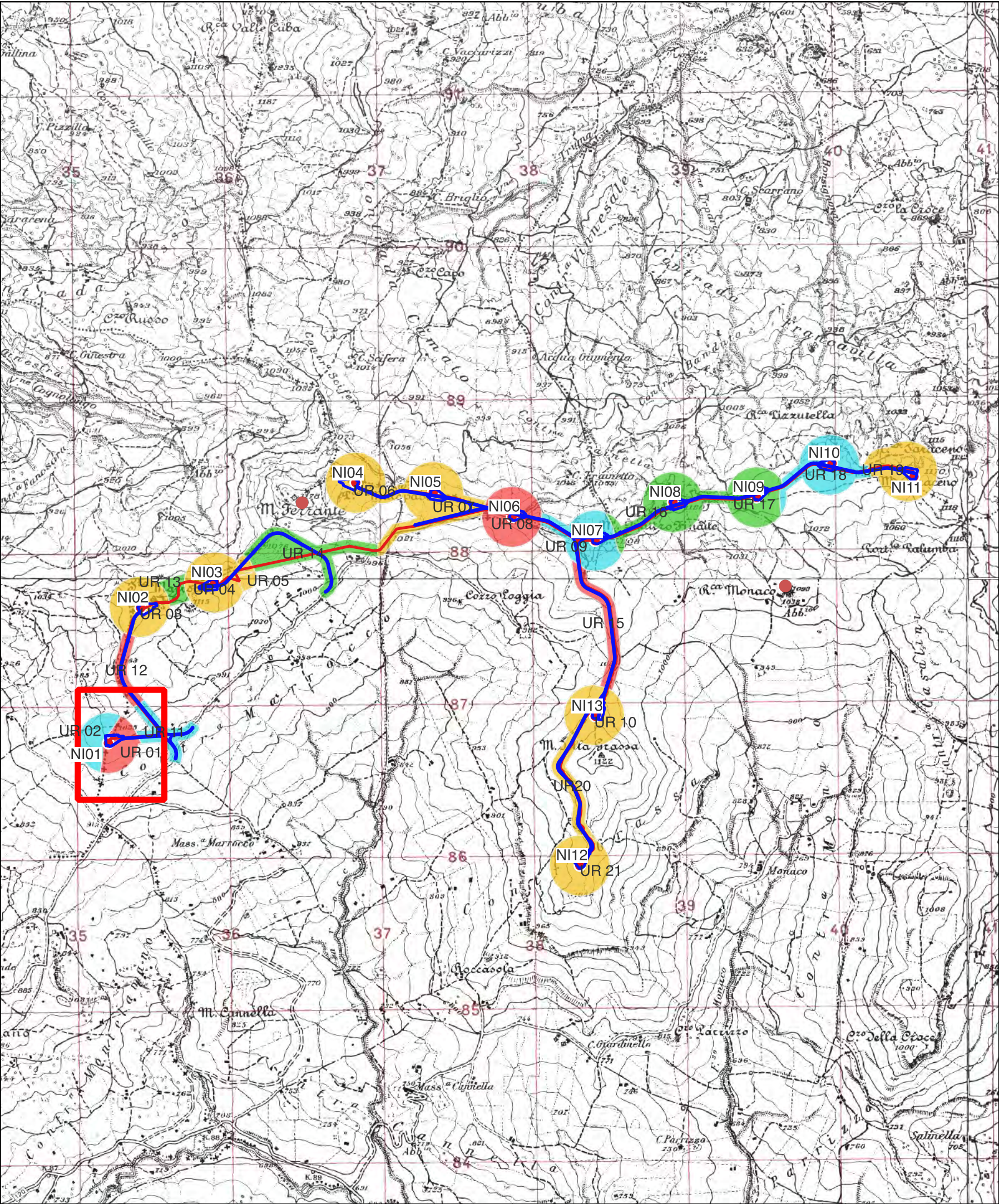
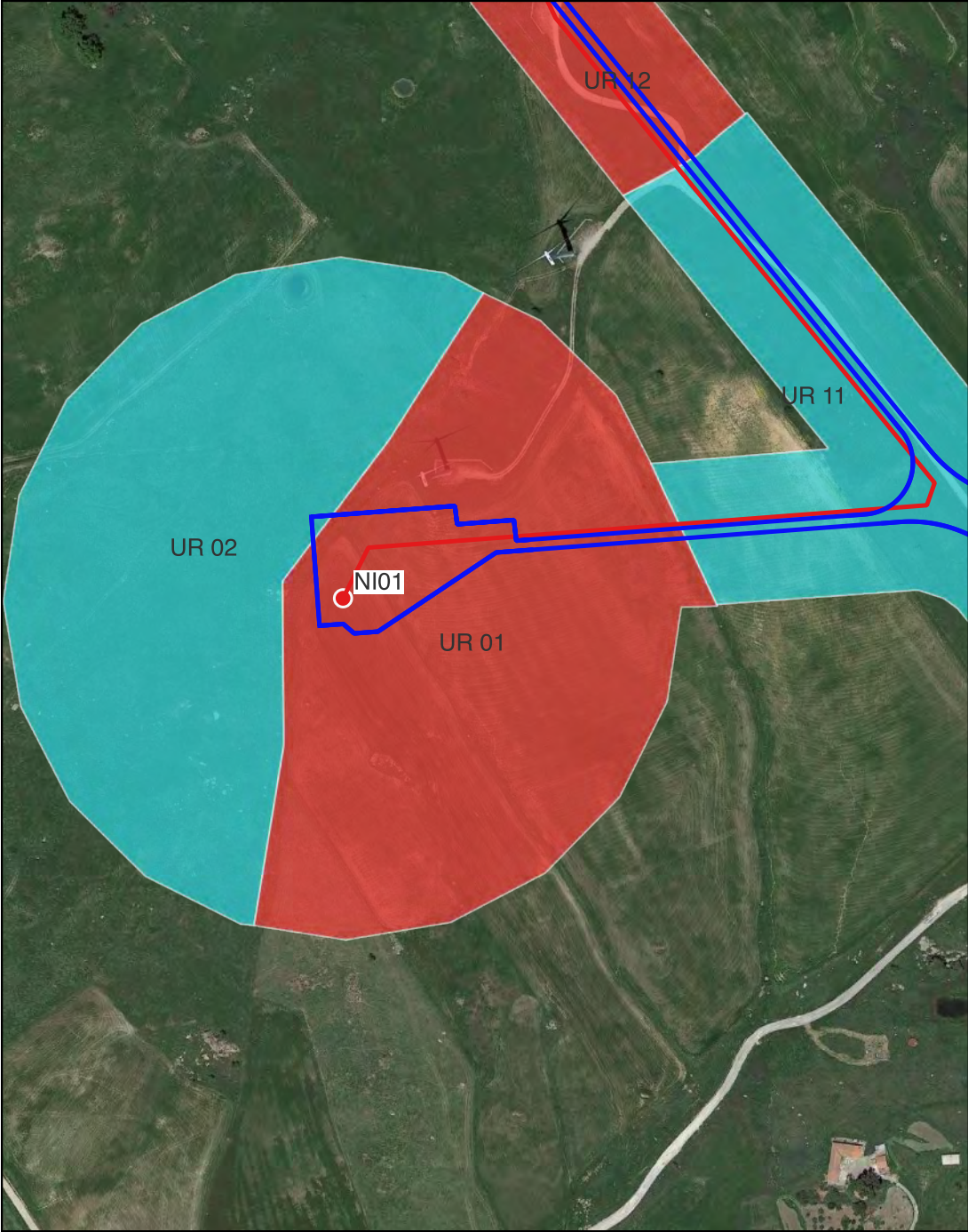
# Ricognizione c9bb273bfdbf42feb3fb36157a3c1976

## Unità di ricognizione 01 - Data 2020/01/14

Visibilità del suolo: 5

**Copertura del suolo:** superficie agricola utilizzata - UR comprendente l'area di installazione dell'aerogeneratore NI01. L'UR in pendenza verso sud-est è delimitata a ovest-nord-ovest da una recinzione che la separa da un campo incolto e a visibilità scarsa e sugli altri lati dai limiti dell'area da ricognire (circa 200 mt intorno agli aerogeneratori). L'UR interessa diversi campi recintati, recentemente arati e coltivati a cereali che presentano uno stato vegetativo tale da consentire un'adeguata visibilità delle superfici (foto nn. 1-7). Nessun elemento archeologico rinvenuto.

**Sintesi geomorfologica:** Suoli a tessitura argillosa



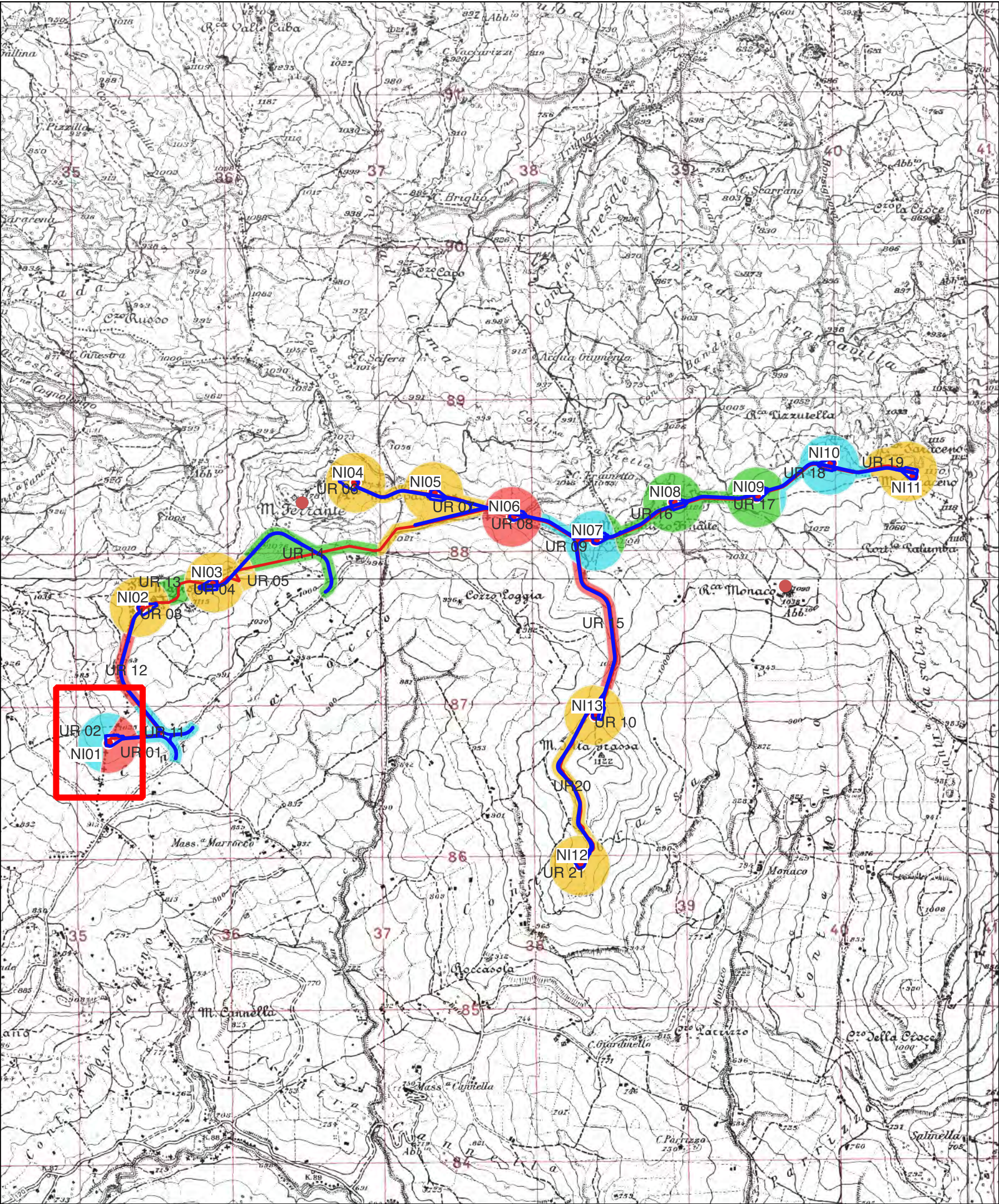
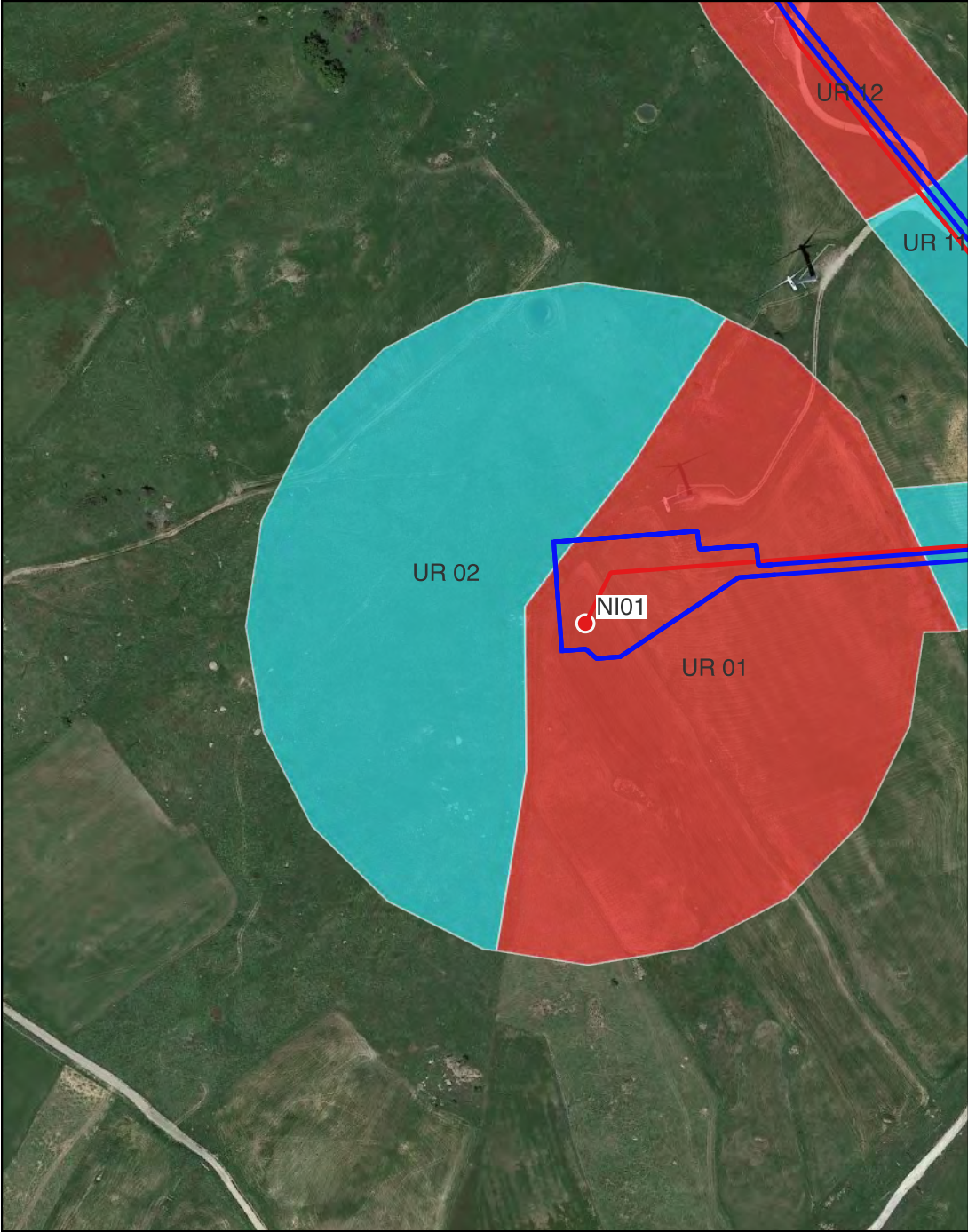
# Ricognizione c9bb273bfdbf42feb3fb36157a3c1976

## Unità di ricognizione 02 - Data 2020/01/14

Visibilità del suolo: 3

**Copertura del suolo:** superficie boscata e ambiente seminaturale - UR in pendenza verso sud-ovest e ubicata lungo le pendici nord-occidentale del crinale sede dell'aerogeneratore NI01. È attraversata dalla pista di cantiere esistente e delimitata a est-nord-est da una recinzione che la separa dall'UR01 e sugli altri lati dai limiti dell'area da ricognire (circa 200 mt intorno agli aerogeneratori). La presenza di una fitta vegetazione non ne consente un'adeguata visibilità (foto nn. 8-9).

**Sintesi geomorfologica:** Suoli a tessitura argillosa.



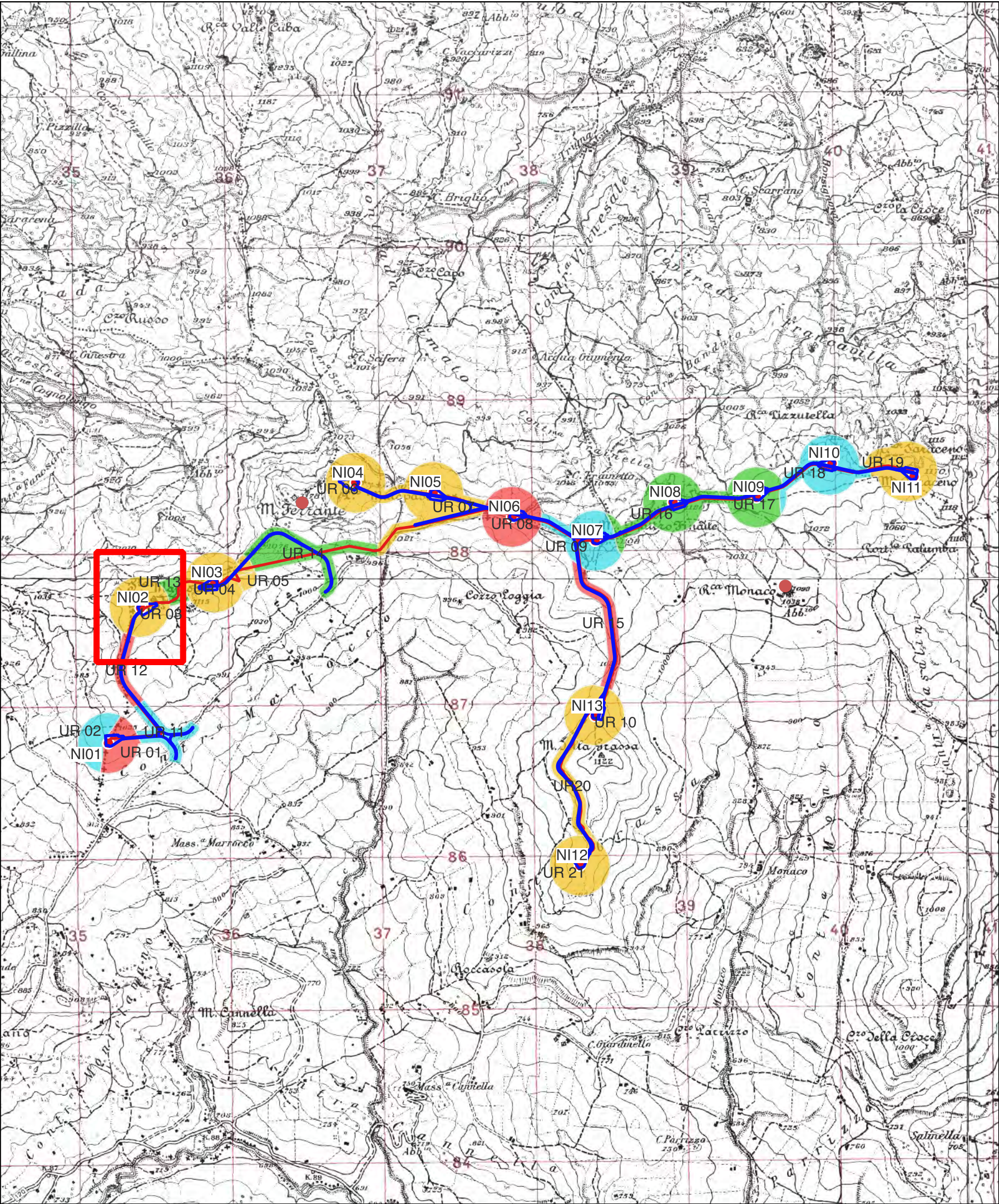
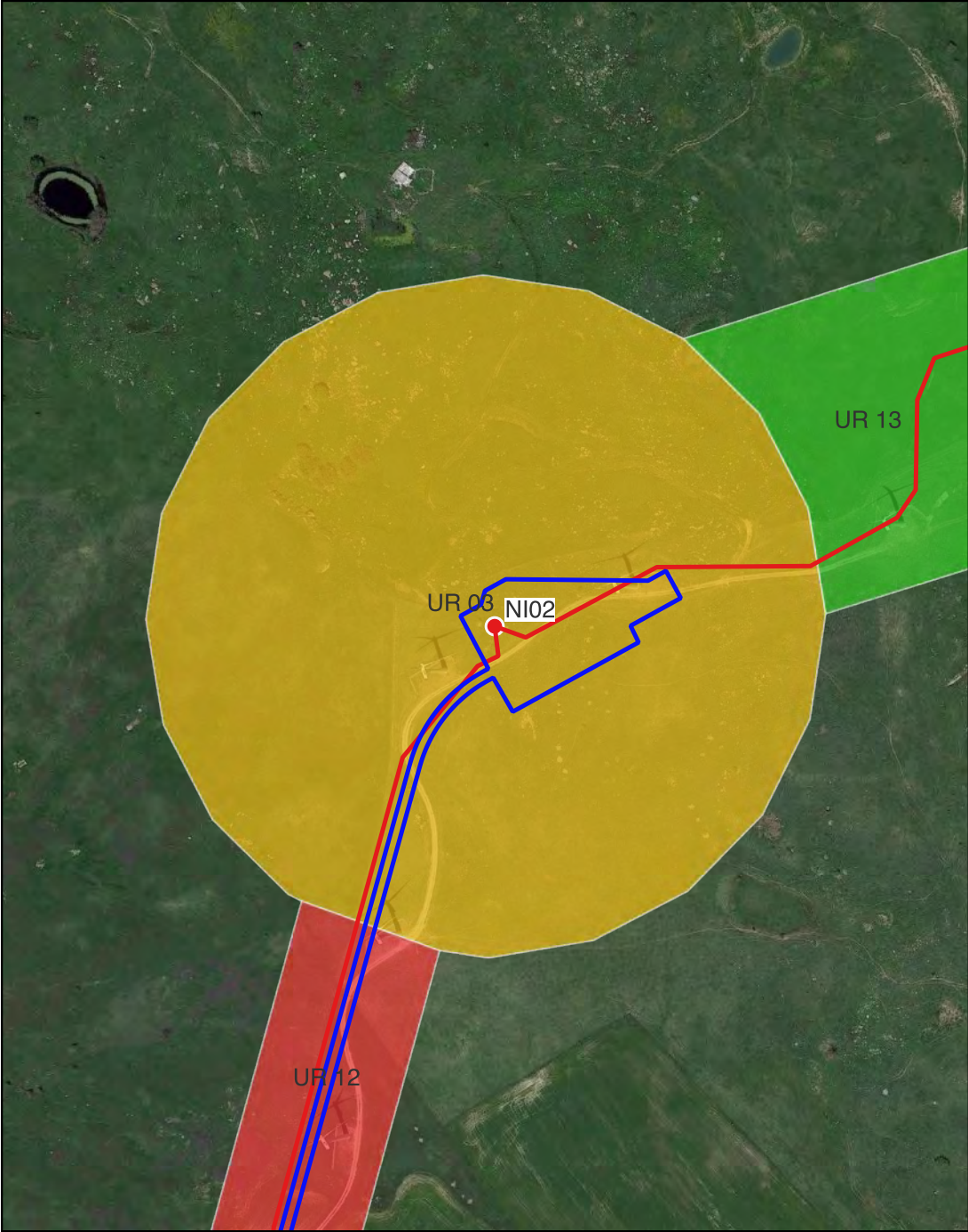
# Ricognizione c9bb273bfdbf42feb3fb36157a3c1976

## Unità di ricognizione 03 - Data 2023/06/14

Visibilità del suolo: 4

Copertura del suolo: superficie boscata e ambiente seminaturale - UR comprendente il crinale sede dell'aerogeneratore NI02 e le sue pendici orientali e occidentali. è attraversata dalla pista di cantiere esistente e delimitata su tutti i lati dai limiti dell'area da ricognire (circa 200 mt intorno agli aerogeneratori) (foto nn. 10-15). Nessun elemento archeologico rinvenuto.

Sintesi geomorfologica: Suoli a tessitura argillosa.





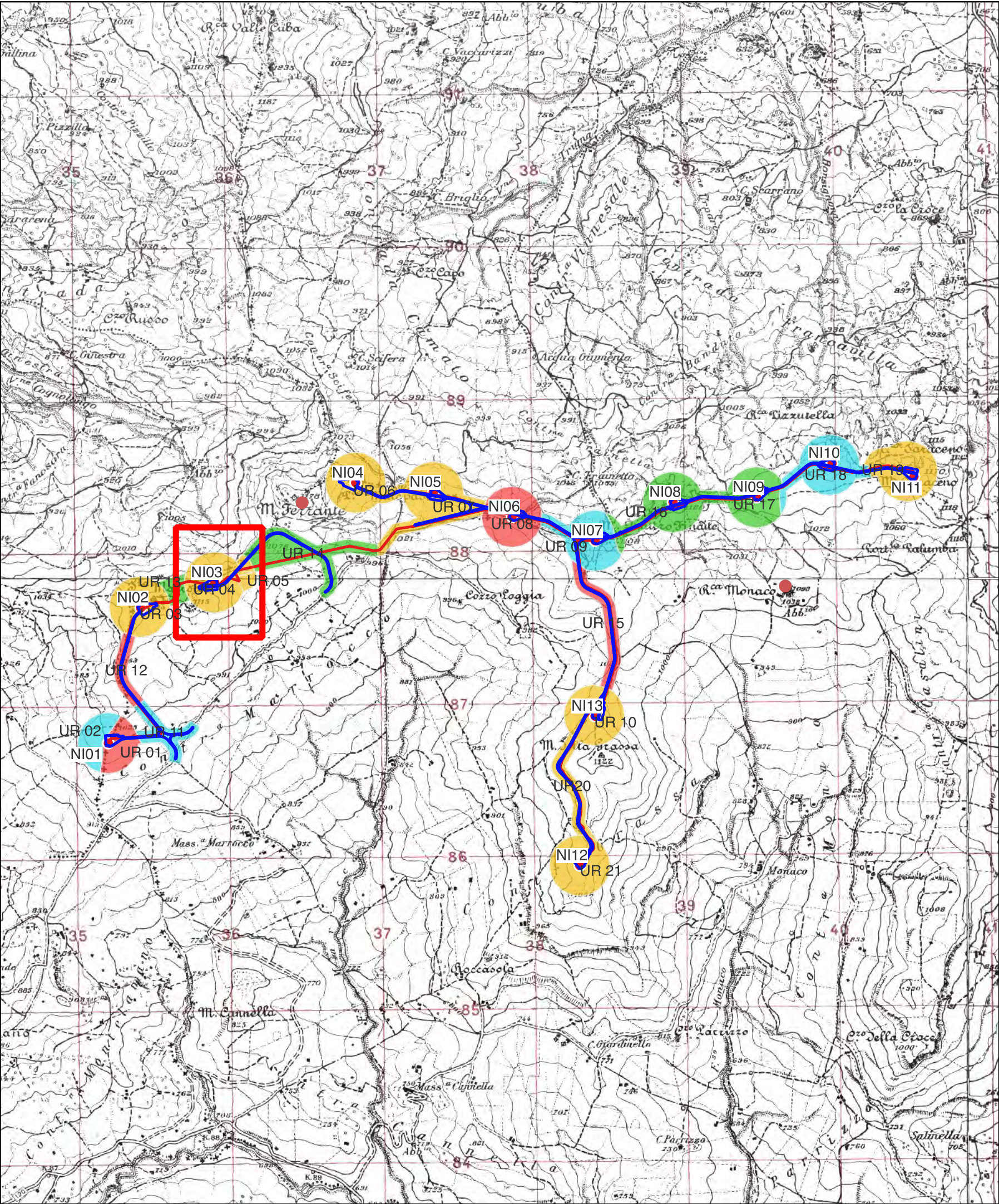
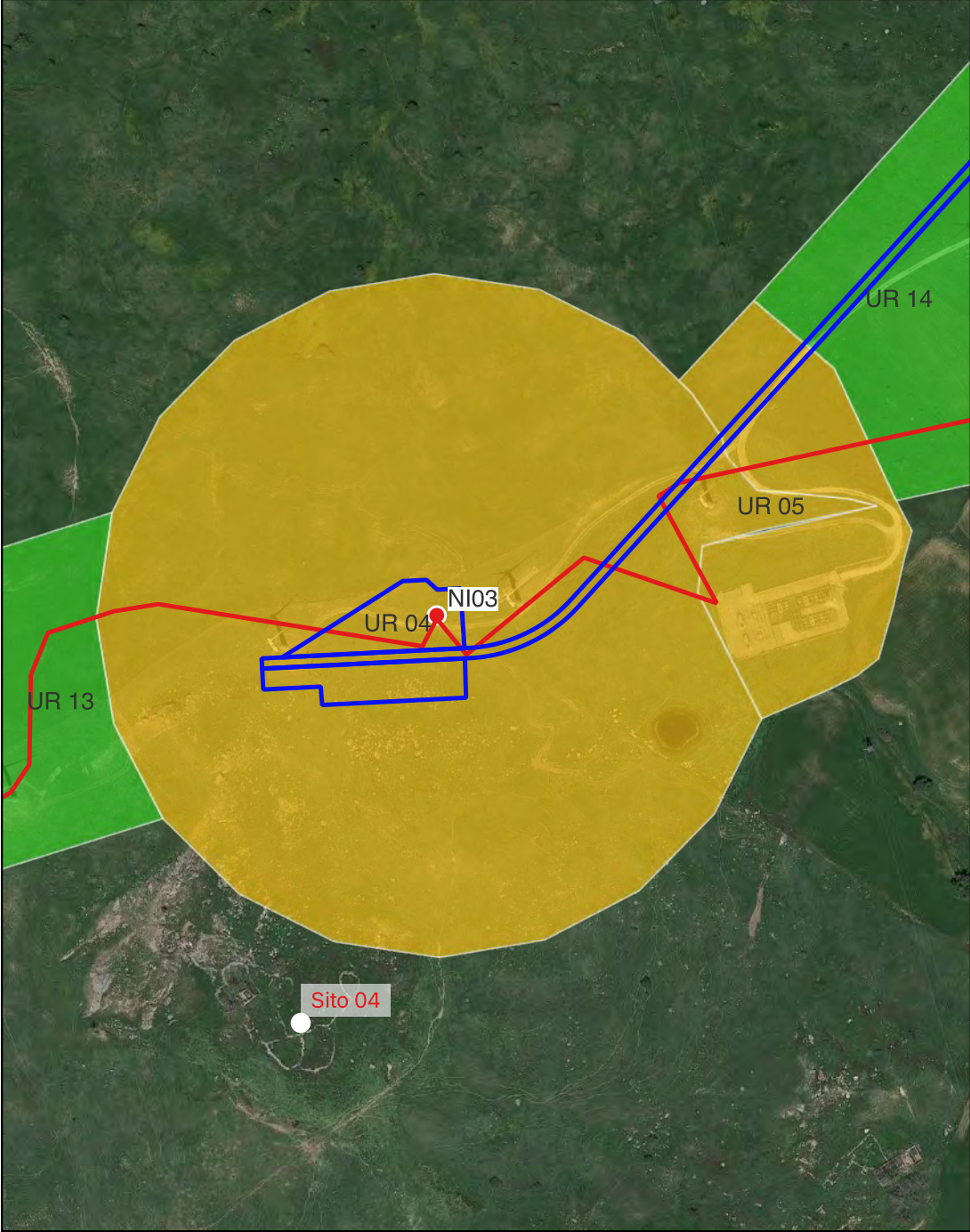
# Ricognizione c9bb273bfdbf42feb3fb36157a3c1976

## Unità di ricognizione 04 - Data 2020/01/14

Visibilità del suolo: 4

Copertura del suolo: superficie artificiale - UR comprendente il crinale sede dell'aerogeneratore NI03 e le sue pendici sud-orientali e nord-occidentali. è attraversata dalla pista di cantiere esistente e delimitata su tutti i lati dai limiti dell'area da ricognire (circa 200 mt intorno agli aerogeneratori) (foto nn. 16-20). Nessun elemento archeologico rinvenuto.

Sintesi geomorfologica: Suoli a tessitura argillosa.



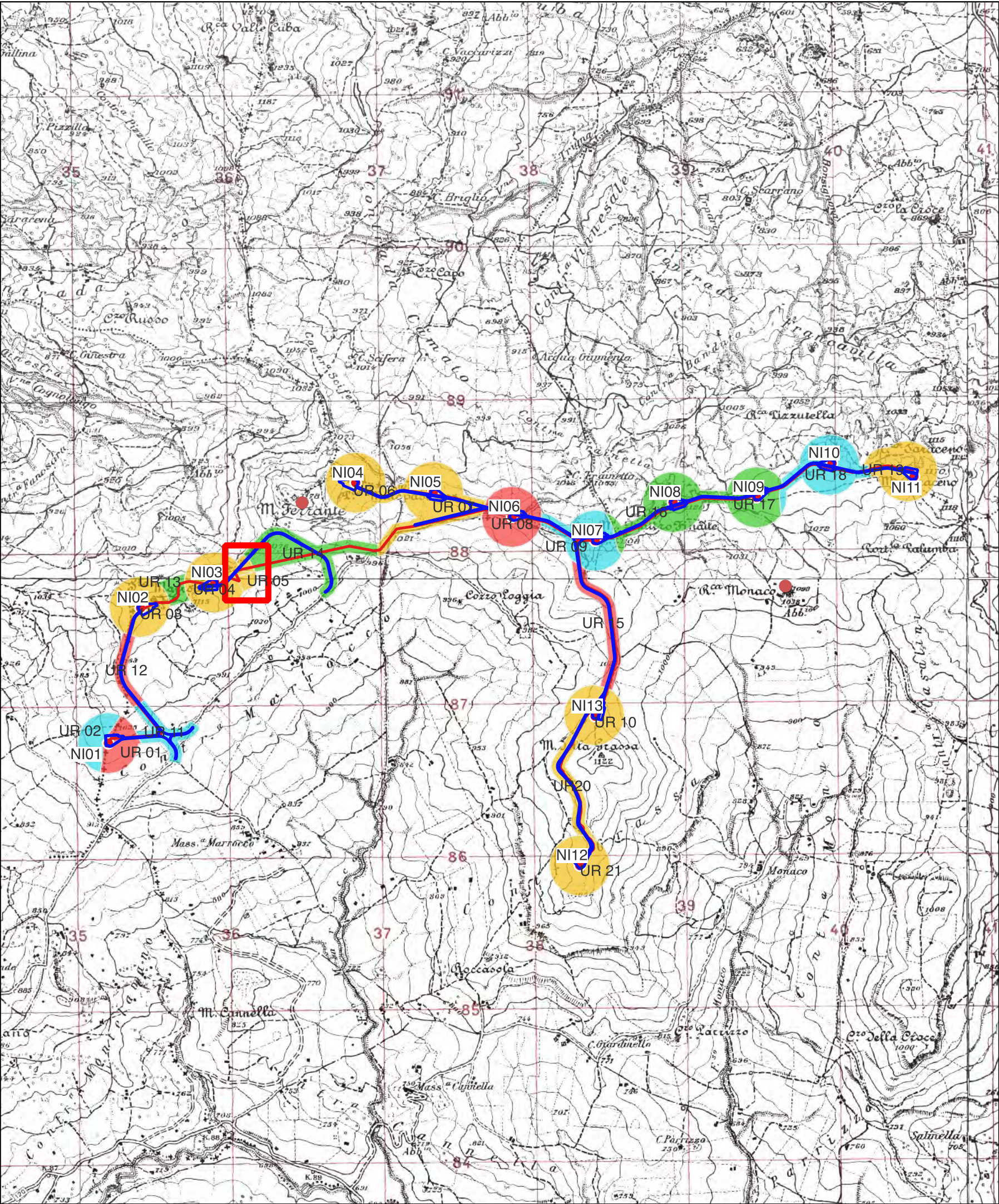
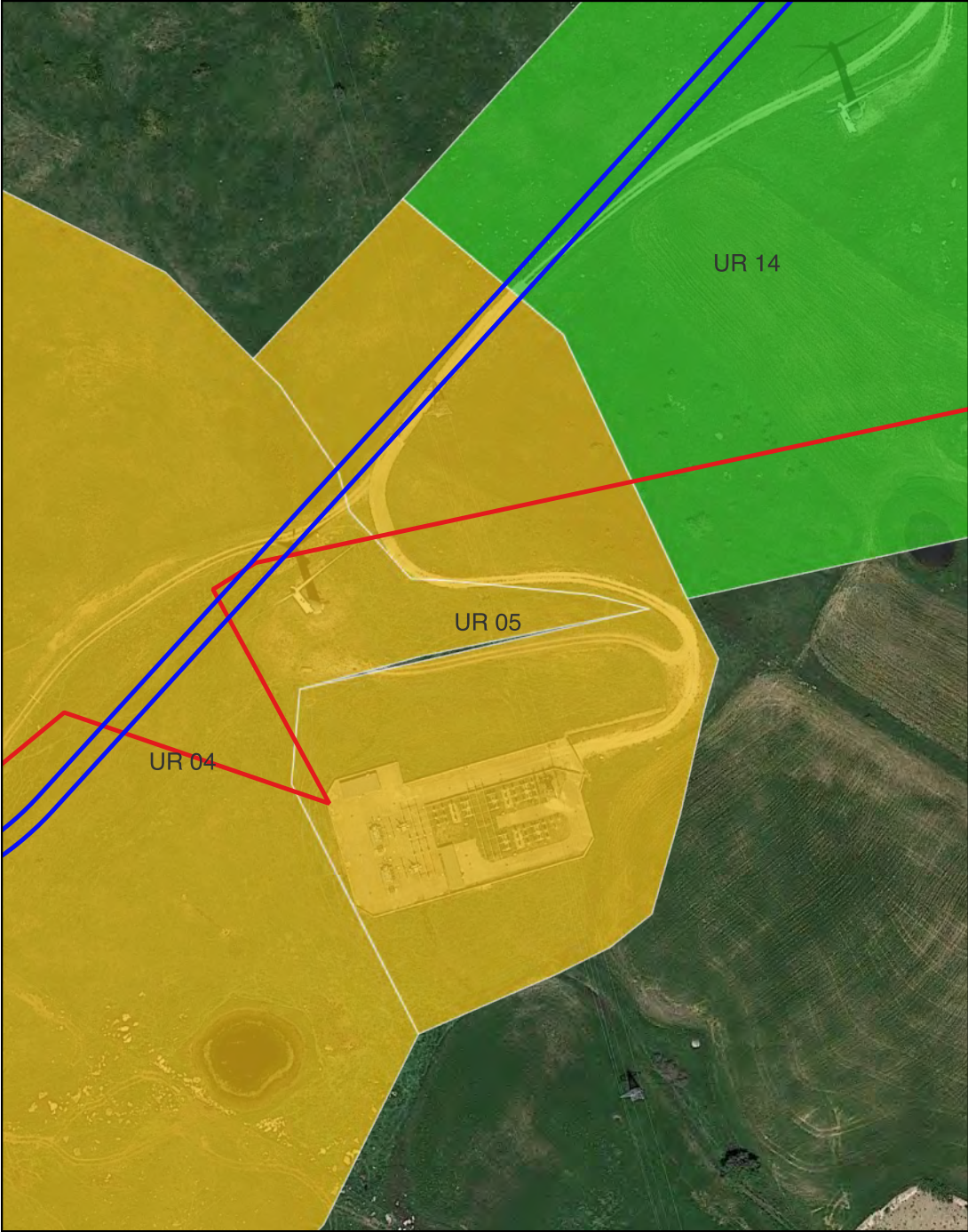
# Ricognizione c9bb273bfdbf42feb3fb36157a3c1976

## Unità di ricognizione 05 - Data 2020/01/21

Visibilità del suolo: 4

Copertura del suolo: superficie agricola utilizzata - UR comprendente l'area intorno alla Centrale Elettrica Terna "Serra Marrocco" ubicata nelle pendici nord-orientale dell'omonima altura. L'indagine ha riguardato i suoli presenti intorno all'area già edificata (foto n. 21). Nessun elemento archeologico rinvenuto.

Sintesi geomorfologica: Suoli a tessitura argillosa.



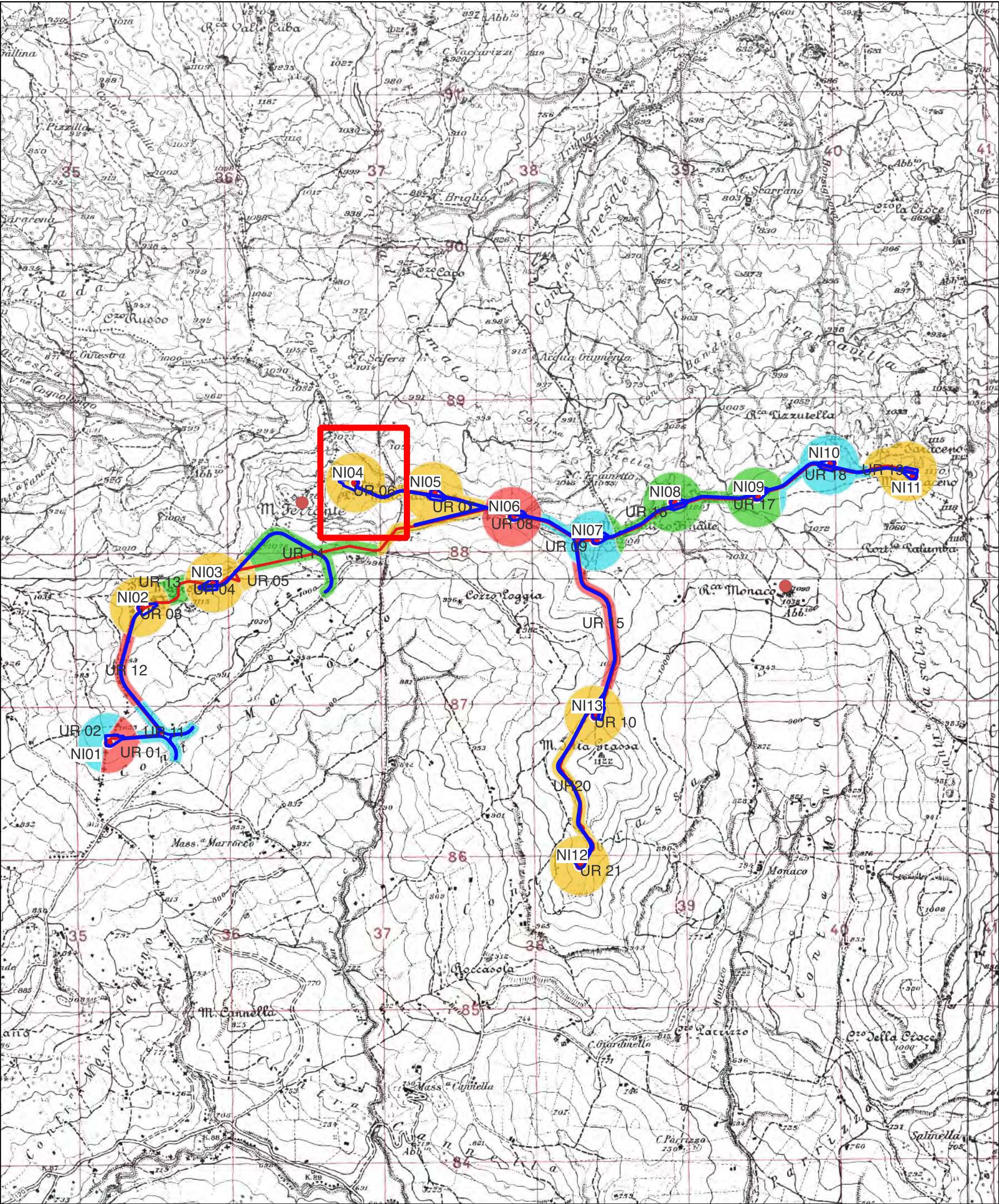
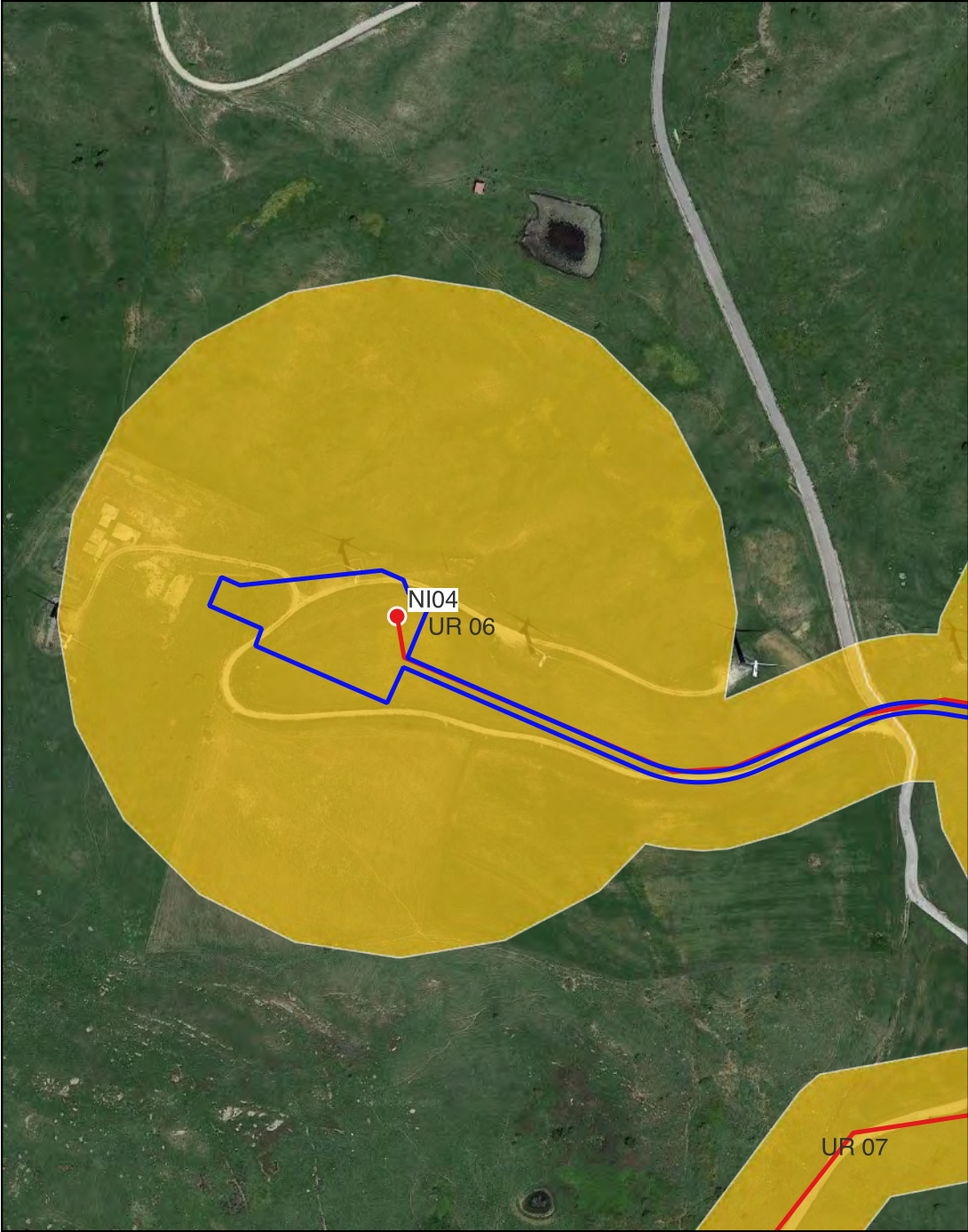
# Ricognizione c9bb273bfdbf42feb3fb36157a3c1976

## Unità di ricognizione 06 - Data 2020/01/14

Visibilità del suolo: 4

**Copertura del suolo:** superficie agricola utilizzata - UR comprendente il crinale immediatamente a est di Monte Ferrante e sede dell'aerogeneratore NI04. è attraversata dalla pista di cantiere esistente e delimitata su tutti i lati dai limiti dell'area da ricognire (circa 200 mt intorno agli aerogeneratori) (foto nn. 22-24). Nessun elemento archeologico rinvenuto.

**Sintesi geomorfologica:** Suoli a tessitura argillosa.



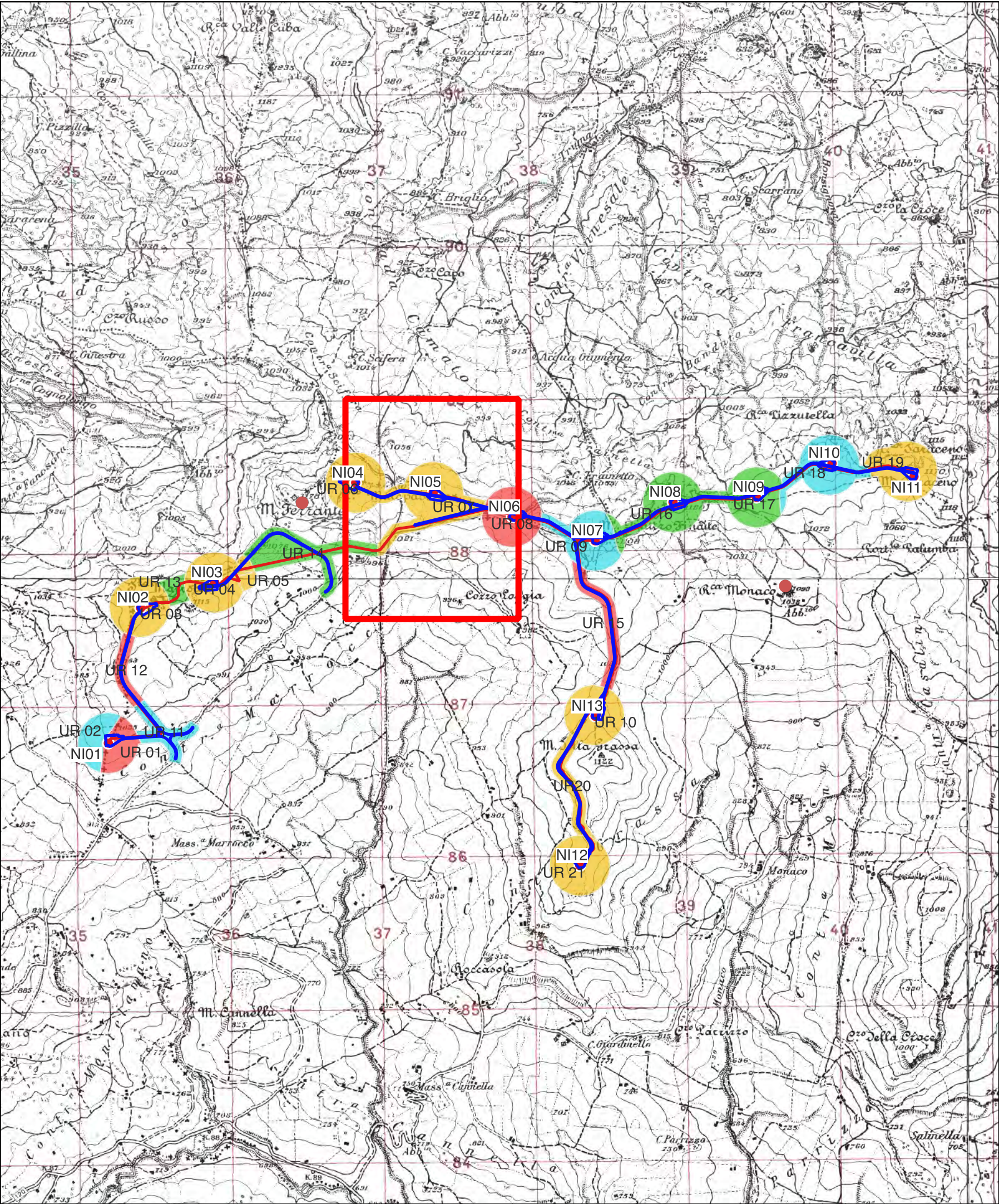
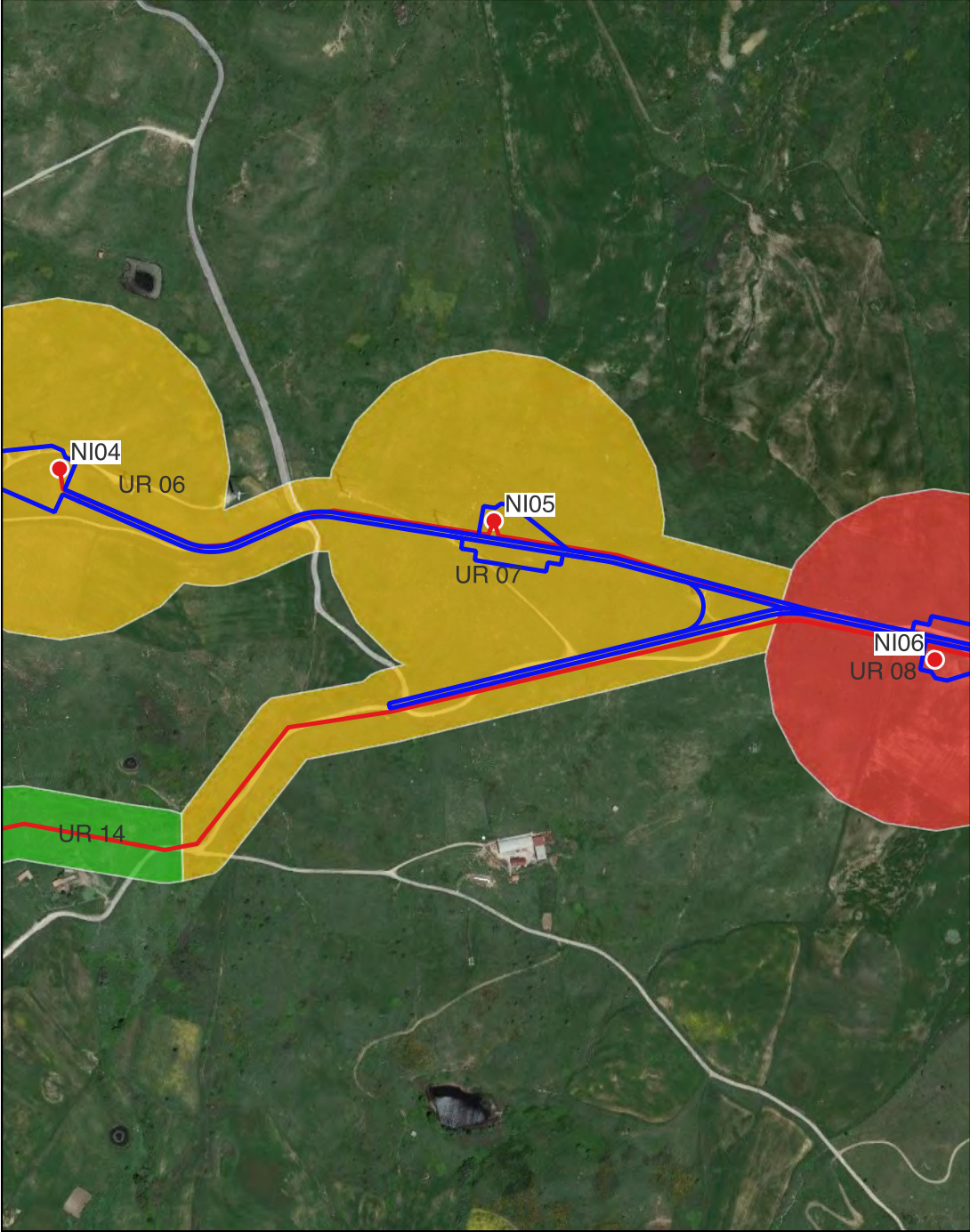
# Ricognizione c9bb273bfdbf42feb3fb36157a3c1976

## Unità di ricognizione 07 - Data 2020/01/15

Visibilità del suolo: 4

Copertura del suolo: superficie boscata e ambiente seminaturale - UR comprendente il crinale sede dell'aerogeneratore NI05 e le sue pendici sud-orientali e nord-occidentali. è attraversata dalla pista di cantiere esistente e delimitata su tutti i lati dai limiti dell'area da ricognire (circa 200 mt intorno agli aerogeneratori) (foto nn. 25-27). Nessun elemento archeologico rinvenuto.

Sintesi geomorfologica: Suoli a tessitura argillosa.



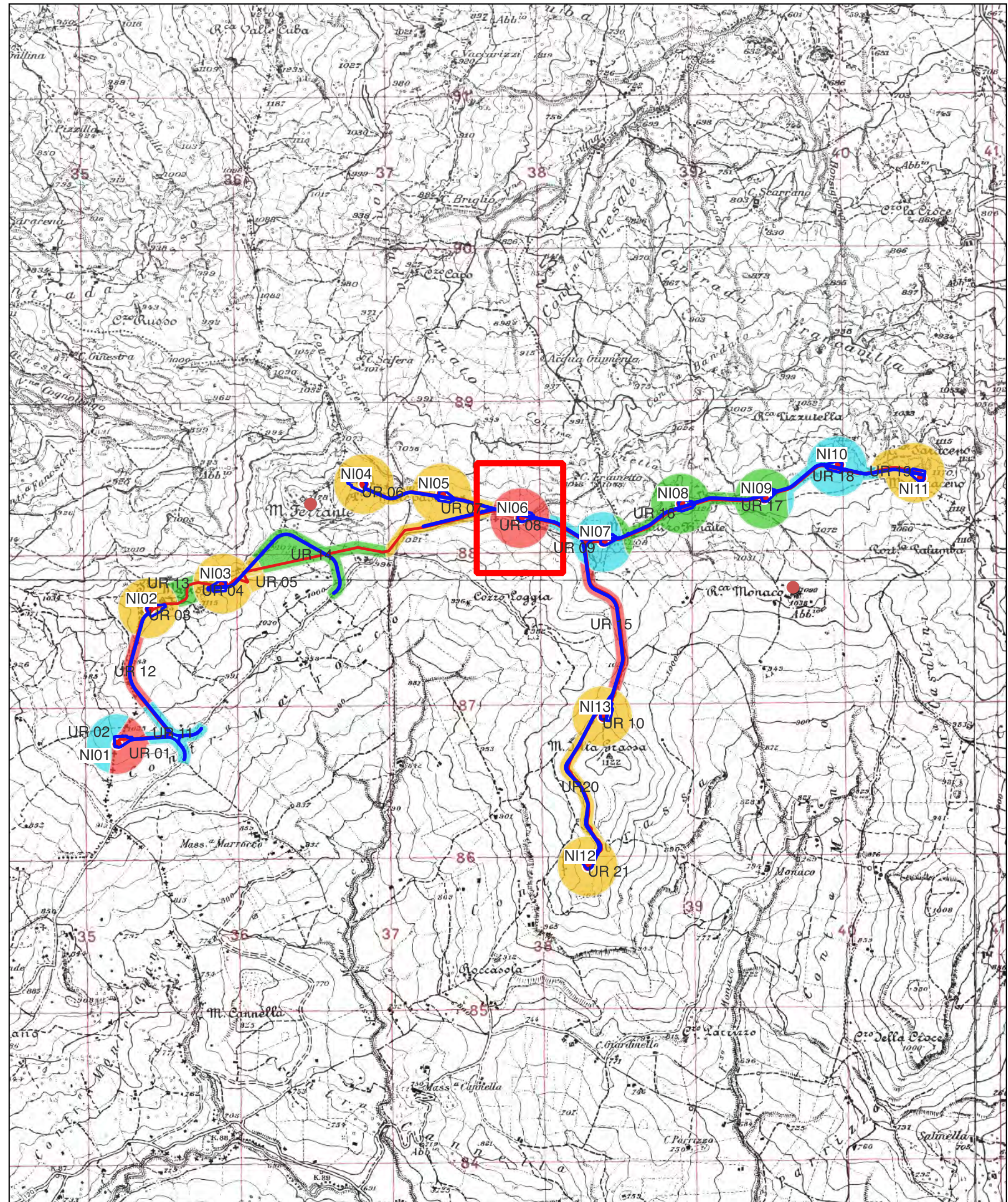
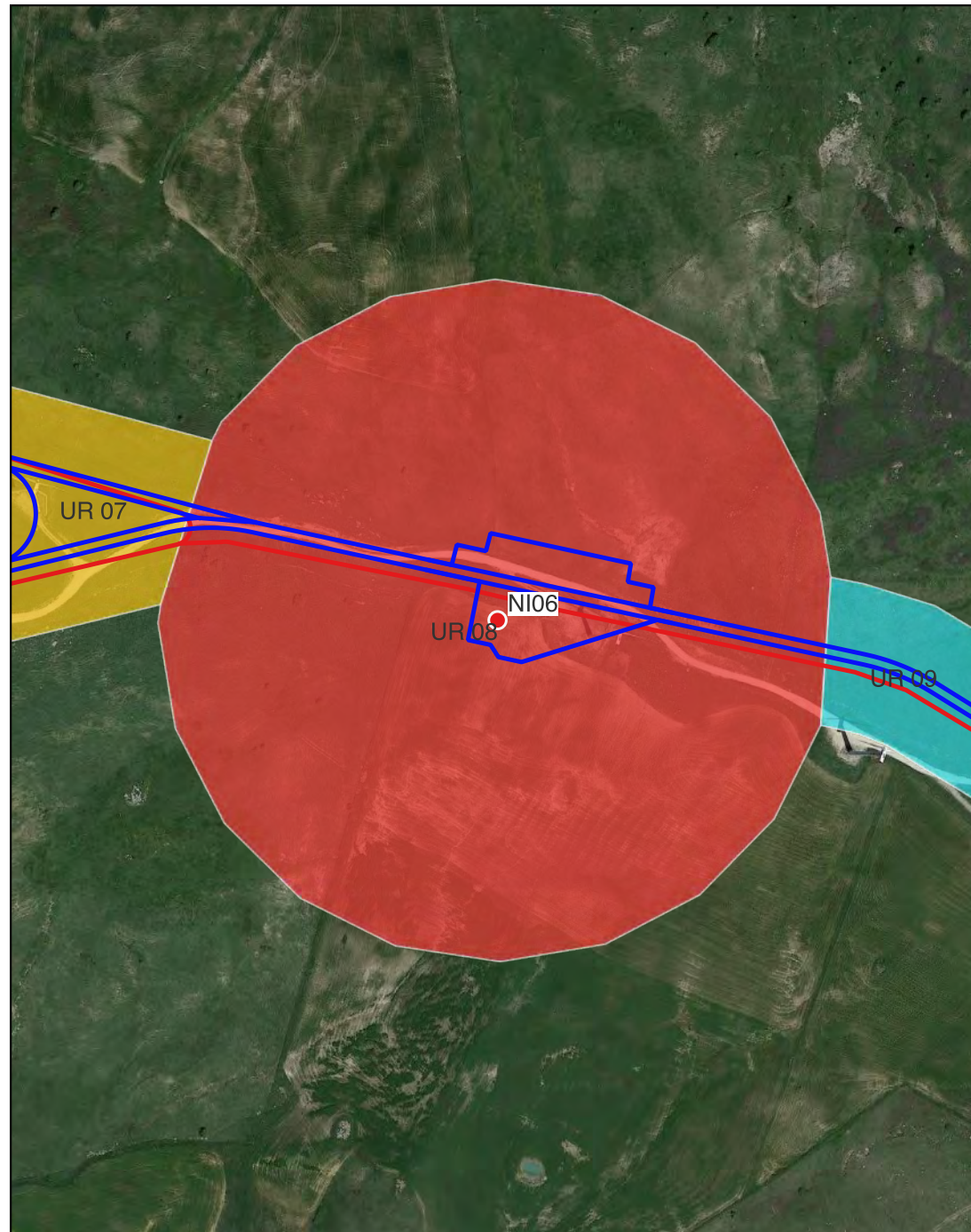
# Ricognizione c9bb273bfdbf42feb3fb36157a3c1976

## Unità di ricognizione 08 - Data 2020/01/15

Visibilità del suolo: 5

**Copertura del suolo:** superficie agricola utilizzata - UR comprendente il crinale sede dell'aerogeneratore NI06 e le sue pendici sud-orientali e nord-occidentali. è attraversata dalla pista di cantiere esistente e delimitata su tutti i lati dai limiti dell'area da ricognire (circa 200 mt intorno agli aerogeneratori) (foto nn. 28-31). Nessun elemento archeologico rinvenuto.

**Sintesi geomorfologica:** Suoli a tessitura argillosa.



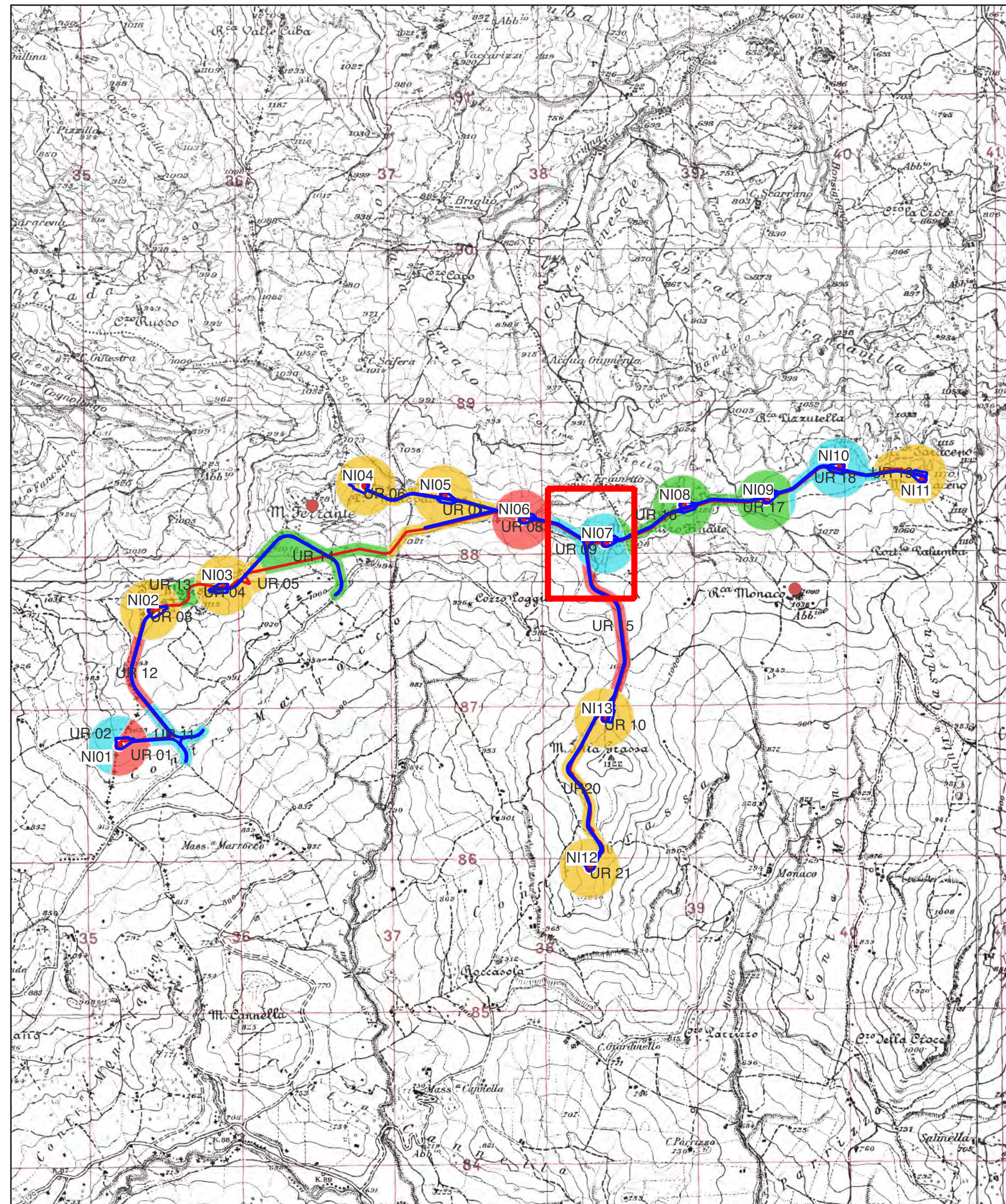
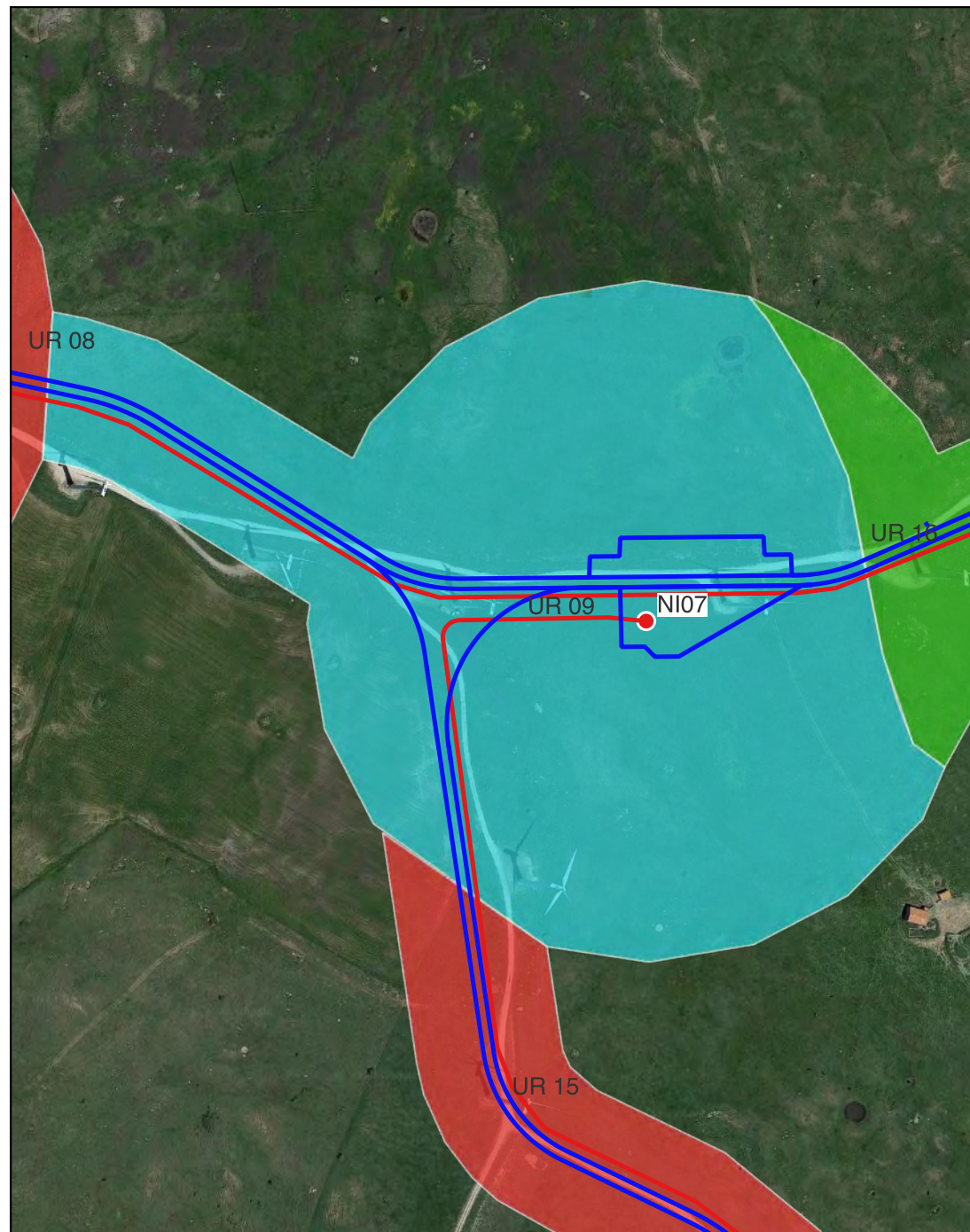
# Ricognizione c9bb273bfdbf42feb3fb36157a3c1976

## Unità di ricognizione 09 - Data 2020/01/15

Visibilità del suolo: 3

**Copertura del suolo:** superficie agricola utilizzata - UR comprendente il crinale sede dell'aerogeneratore NI07 e le sue pendici sud-orientali e nord-occidentali. è attraversata dalla pista di cantiere esistente e delimitata su tutti i lati dai limiti dell'area da ricognire (circa 200 mt intorno agli aerogeneratori). La presenza di una fitta vegetazione non ne consente un'adeguata visibilità (foto nn. 32-36).

**Sintesi geomorfologica:** Suoli a tessitura argillosa.



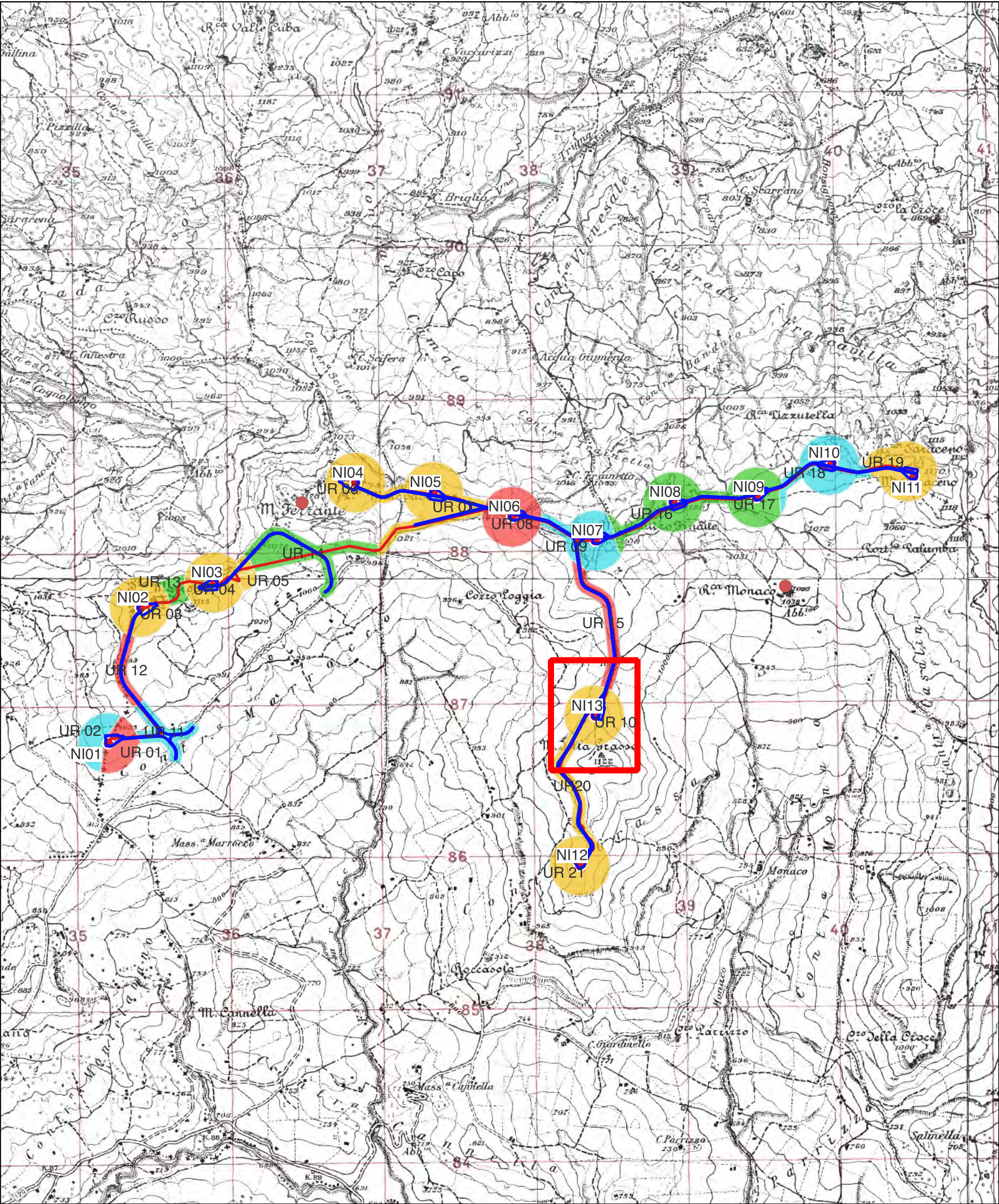
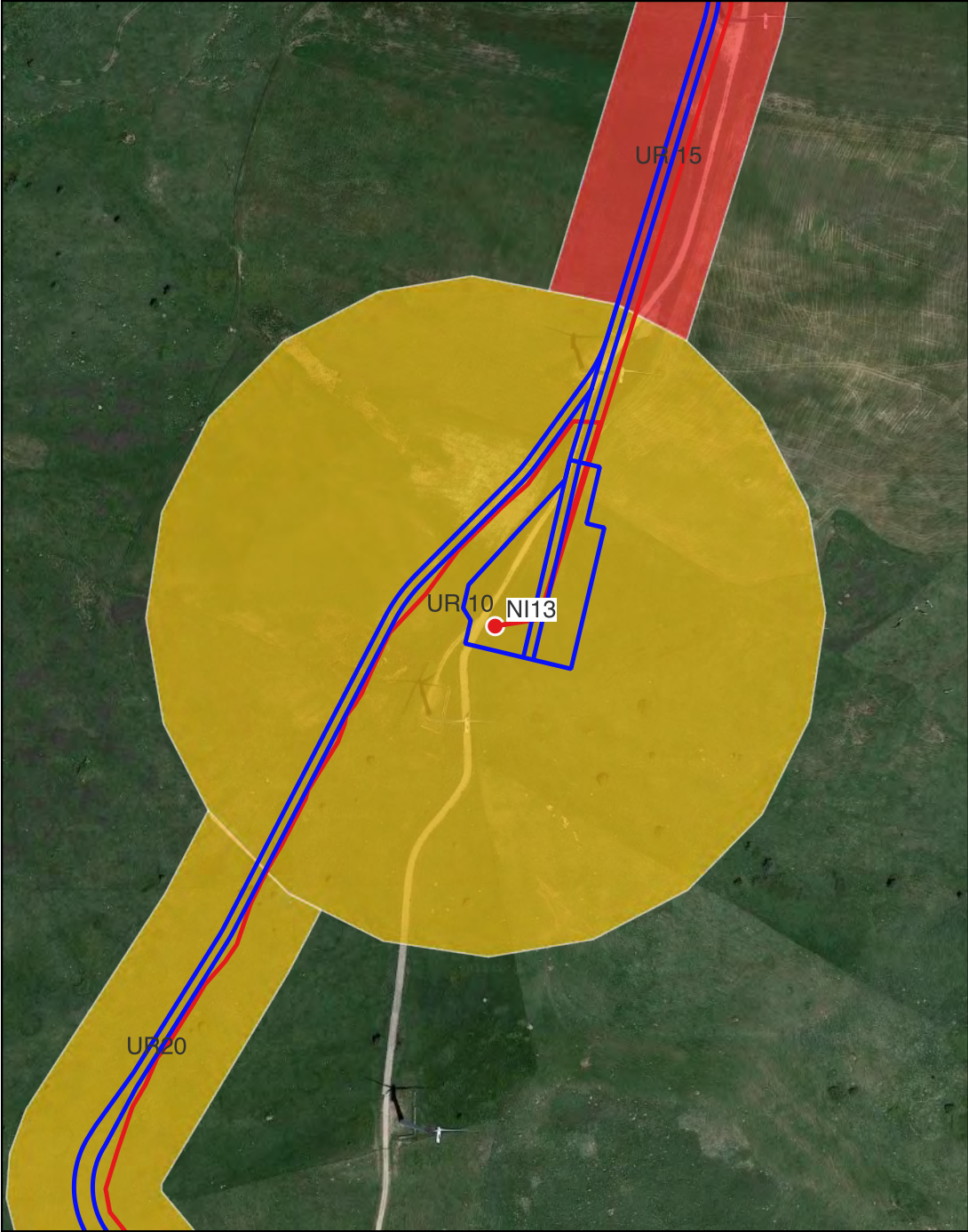
# Ricognizione c9bb273bfdbf42feb3fb36157a3c1976

## Unità di ricognizione 10 - Data 2020/01/15

Visibilità del suolo: 4

Copertura del suolo: superficie boscata e ambiente seminaturale - UR comprendente il crinale sede dell'aerogeneratore N13 e le sue pendici orientali e occidentali. è attraversata dalla pista di cantiere esistente e delimitata su tutti i lati dai limiti dell'area da ricognire (circa 200 mt intorno agli aerogeneratori). Nessun elemento archeologico rinvenuto (foto nn. 37-39).

Sintesi geomorfologica: Suoli a tessitura argillosa.



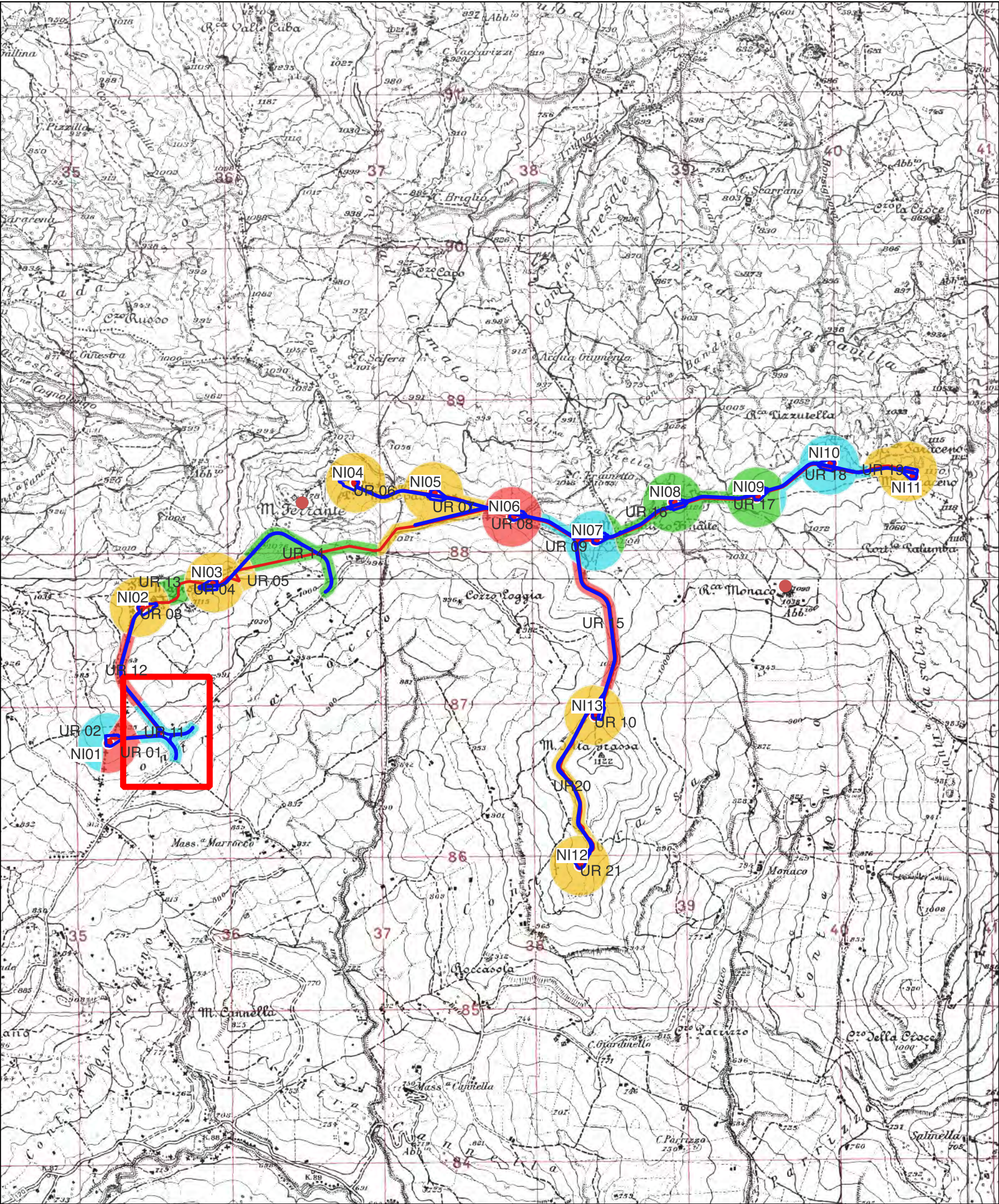
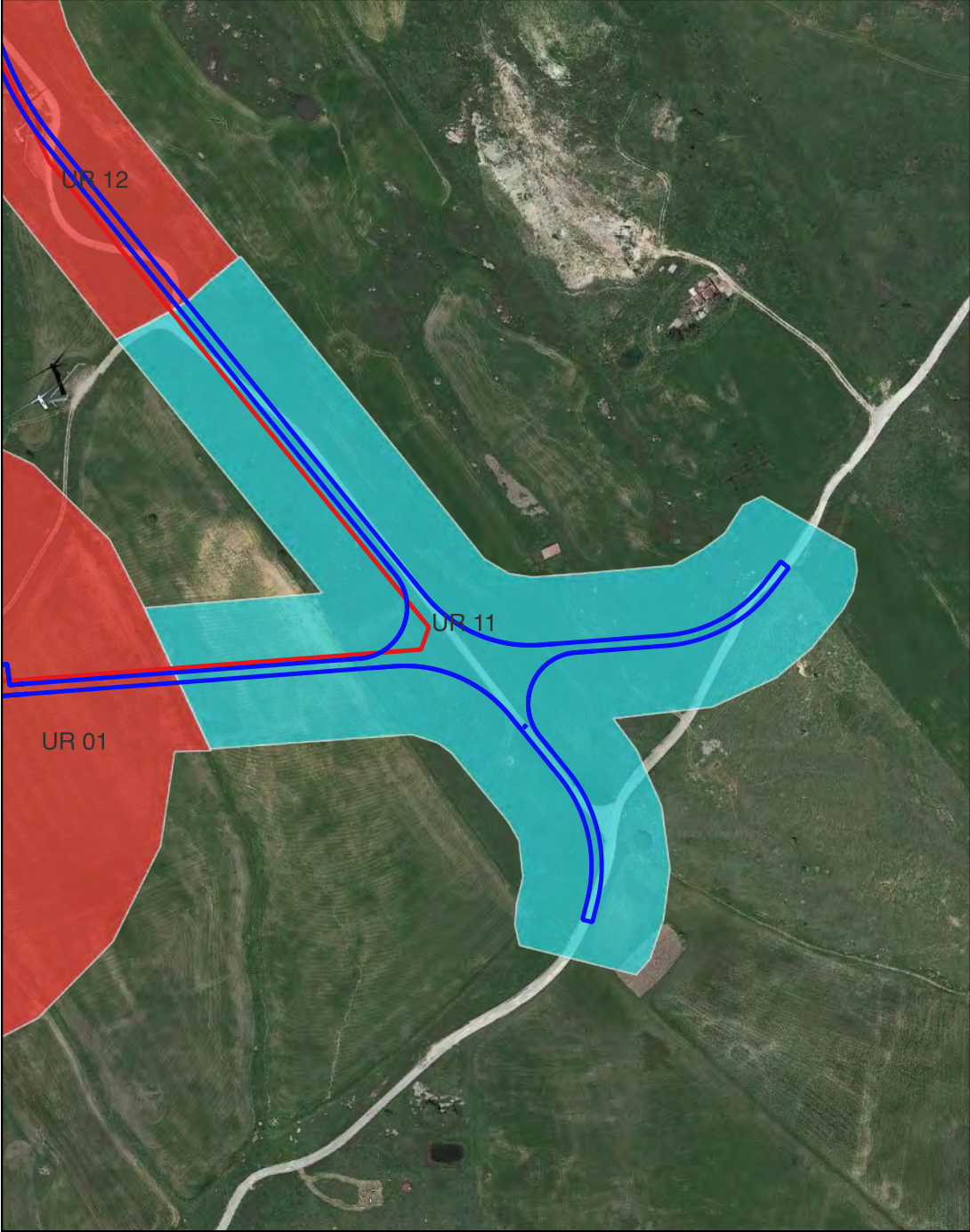
# Ricognizione c9bb273bfdbf42feb3fb36157a3c1976

## Unità di ricognizione 11 - Data 2020/05/28

Visibilità del suolo: 3

Copertura del suolo: superficie agricola utilizzata - UR comprendente parte delle strade di accesso agli aerogeneratori NI01 e NI02. è attraversata dalla pista di cantiere esistente e delimitata su tutti i lati dai limiti dell'area da ricognire. La presenza di una fitta vegetazione non ne consente un'adeguata visibilità (foto nn. 40-41).

Sintesi geomorfologica: Suoli a tessitura argillosa.





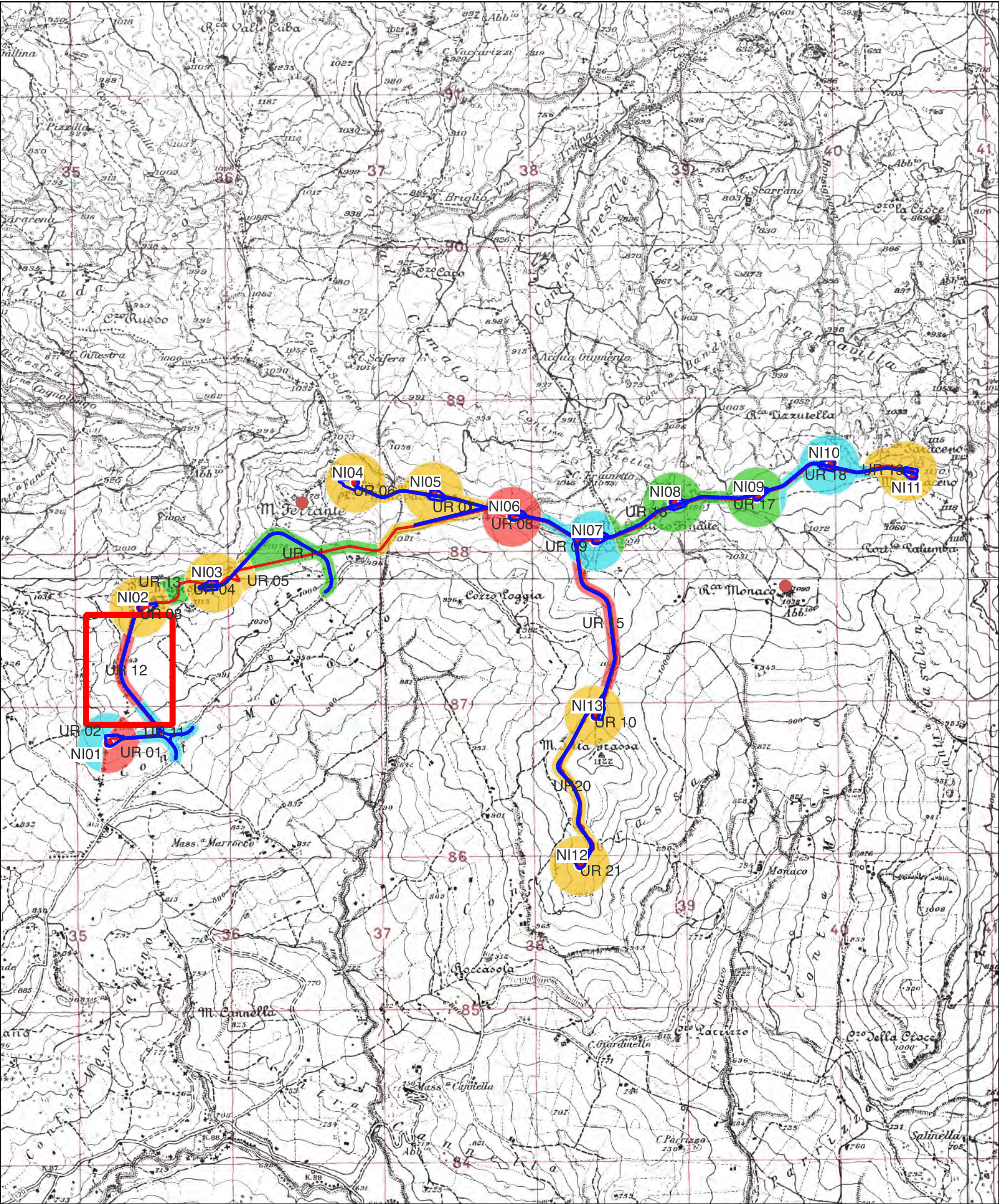
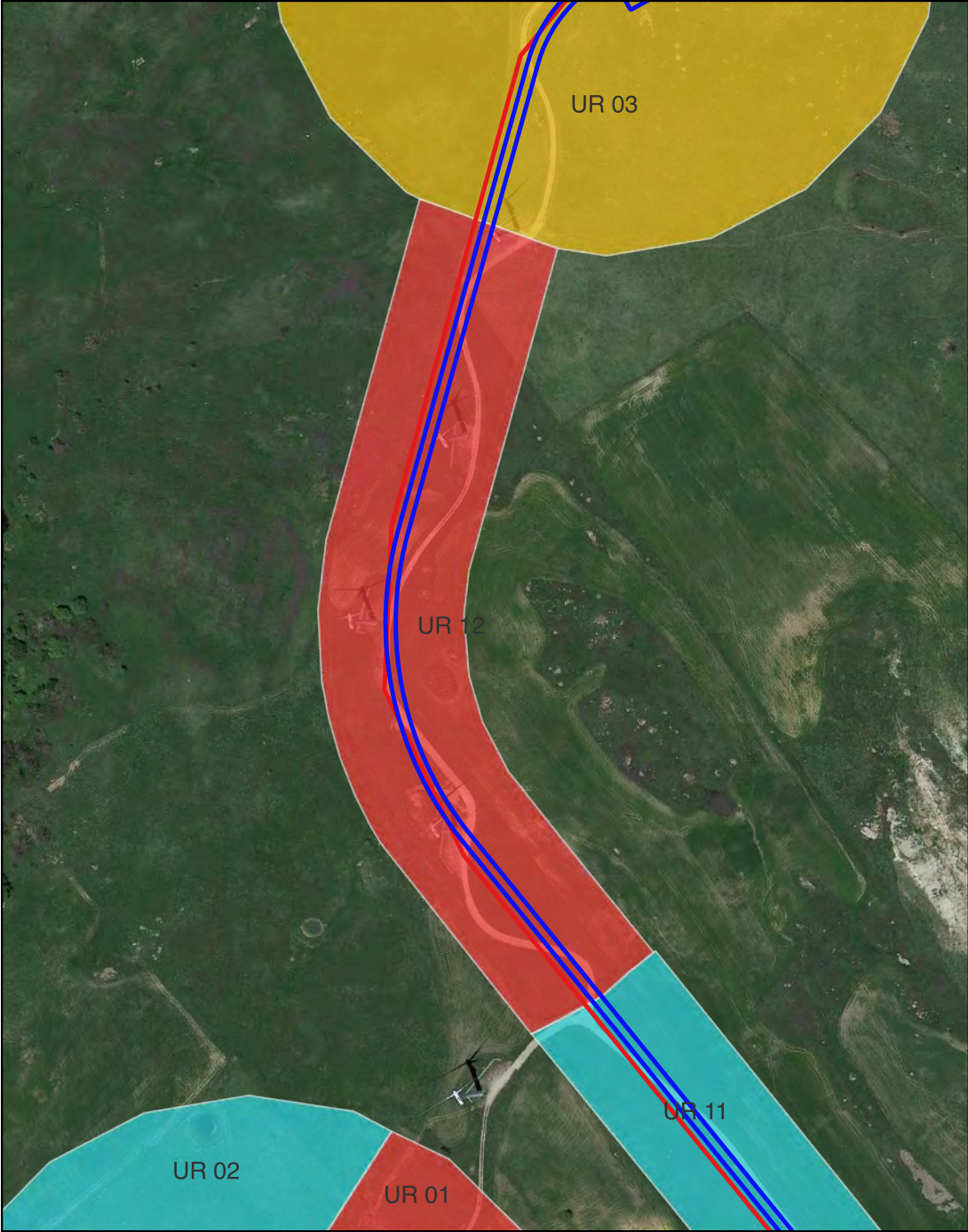
# Ricognizione c9bb273bfdbf42feb3fb36157a3c1976

## Unità di ricognizione 12 - Data 2020/01/14

Visibilità del suolo: 5

Copertura del suolo: superficie agricola utilizzata - UR comprendente parte delle strade di accesso all'aerogeneratore NI02. è attraversata dalla pista di cantiere esistente e delimitata su tutti i lati dai limiti dell'area da ricognire. Nessun elemento archeologico rinvenuto (foto nn. 42-43).

Sintesi geomorfologica: Suoli a tessitura argillosa.



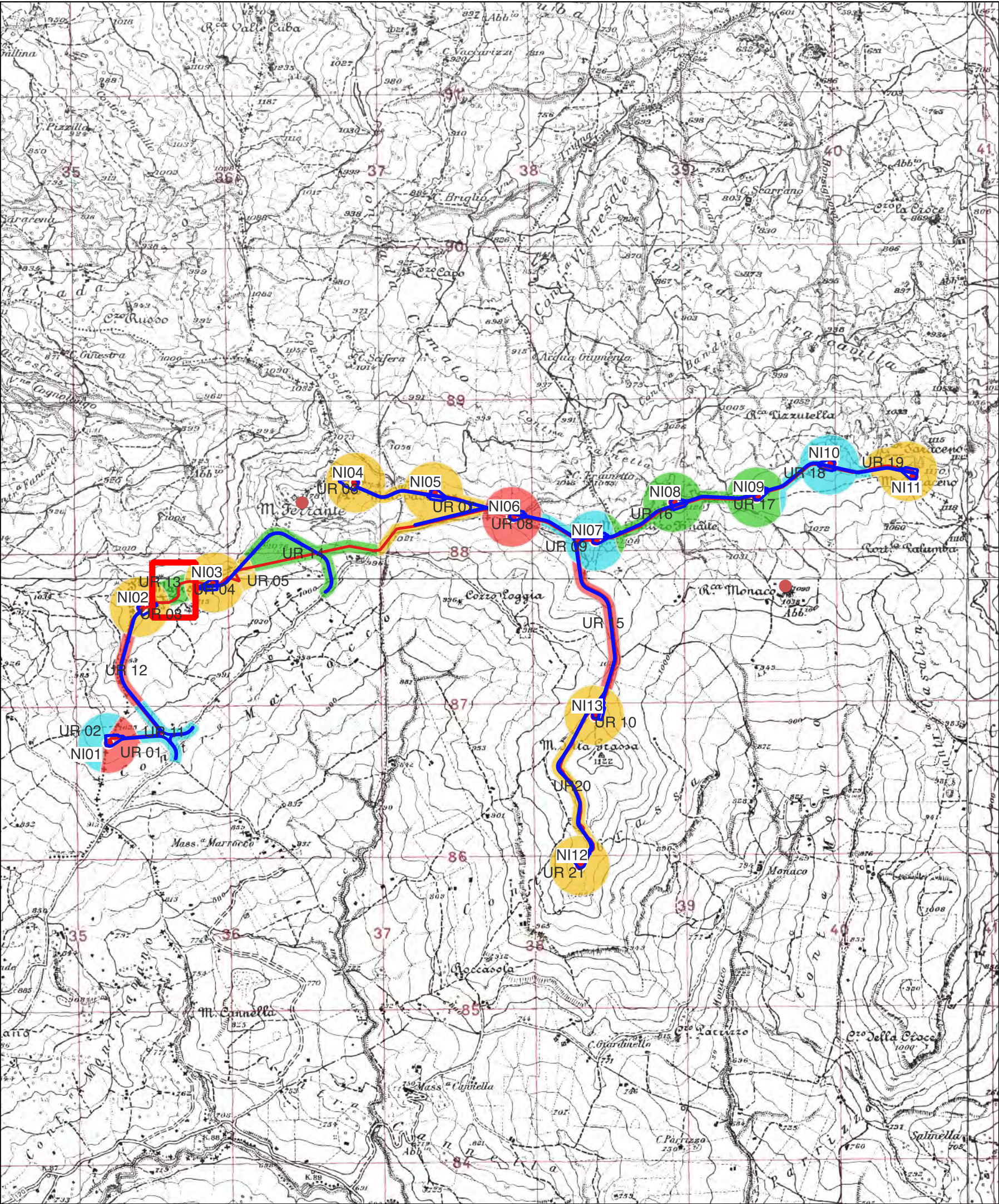
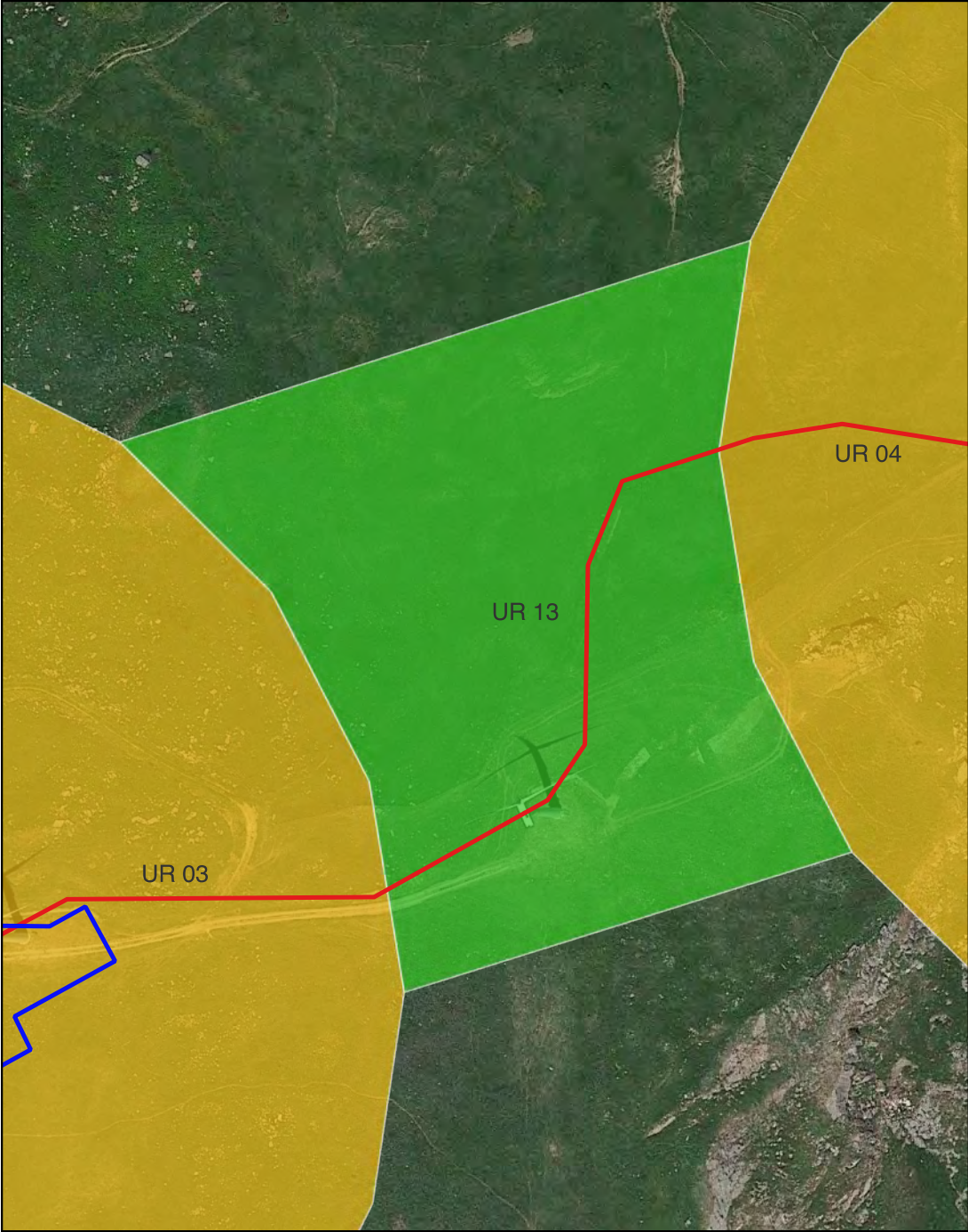
# Ricognizione c9bb273bfdbf42feb3fb36157a3c1976

## Unità di ricognizione 13 - Data 2020/05/28

Visibilità del suolo: 2

**Copertura del suolo:** superficie boscata e ambiente seminaturale - UR comprendente l'area di passaggio del cavidotto interrato che collegherà gli aerogeneratori NI02 e NI03 che attraversa le pendici nord-occidentali di Serra Marocco. La presenza di una fitta vegetazione non ne consente un'adeguata visibilità (foto n. 44).

**Sintesi geomorfologica:** Suoli a tessitura argillosa.



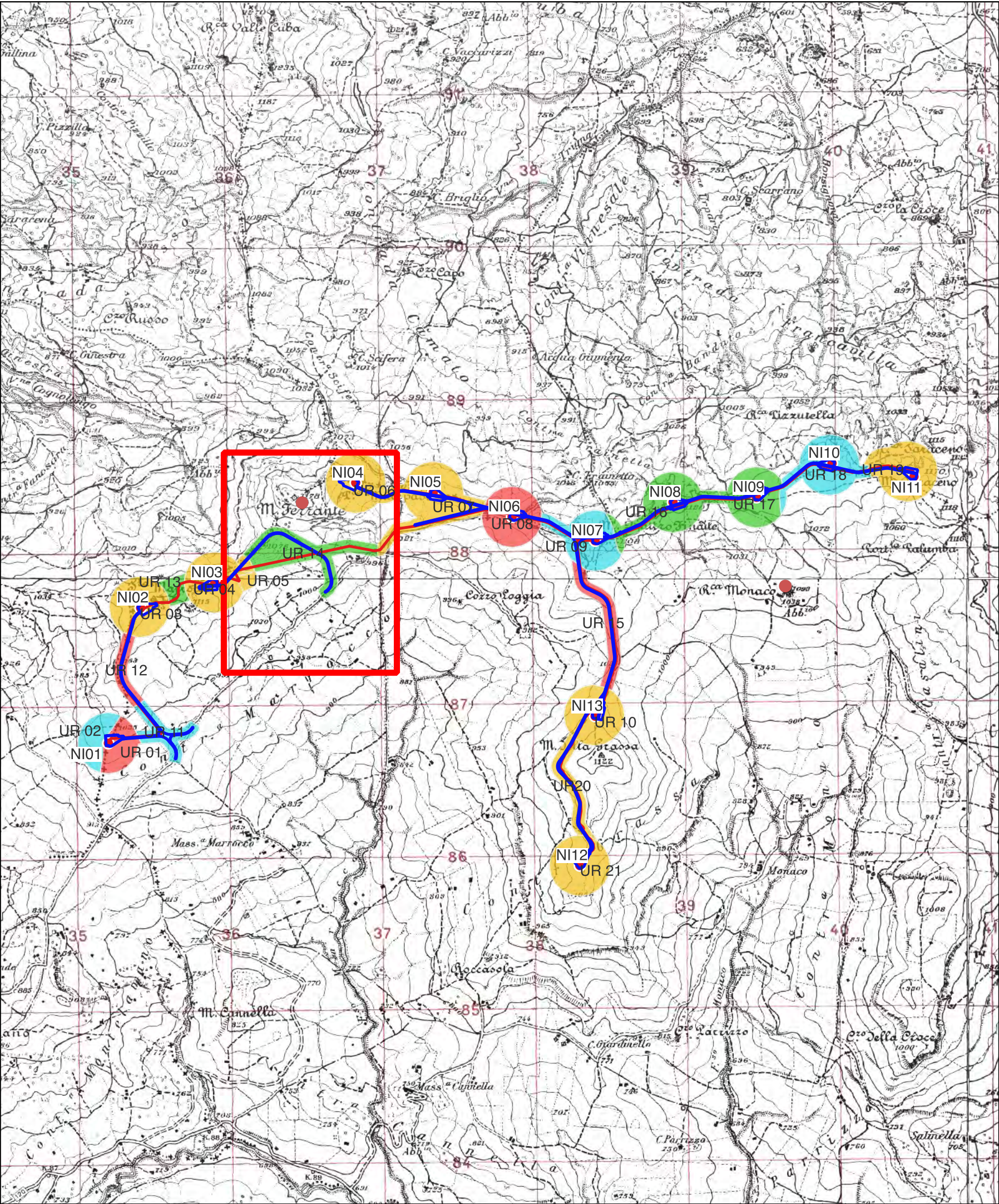
# Ricognizione c9bb273bfdbf42feb3fb36157a3c1976

## Unità di ricognizione 14 - Data 2020/06/22

Visibilità del suolo: 2

Copertura del suolo: superficie agricola utilizzata - UR comprendente parte delle strade di accesso all'aerogeneratore NI03. è attraversata dalla pista di cantiere esistente e delimitata su tutti i lati dai limiti dell'area da ricognire. La presenza di una fitta vegetazione non ne consente un'adeguata visibilità (foto n. 45).

Sintesi geomorfologica: Suoli a tessitura argillosa.



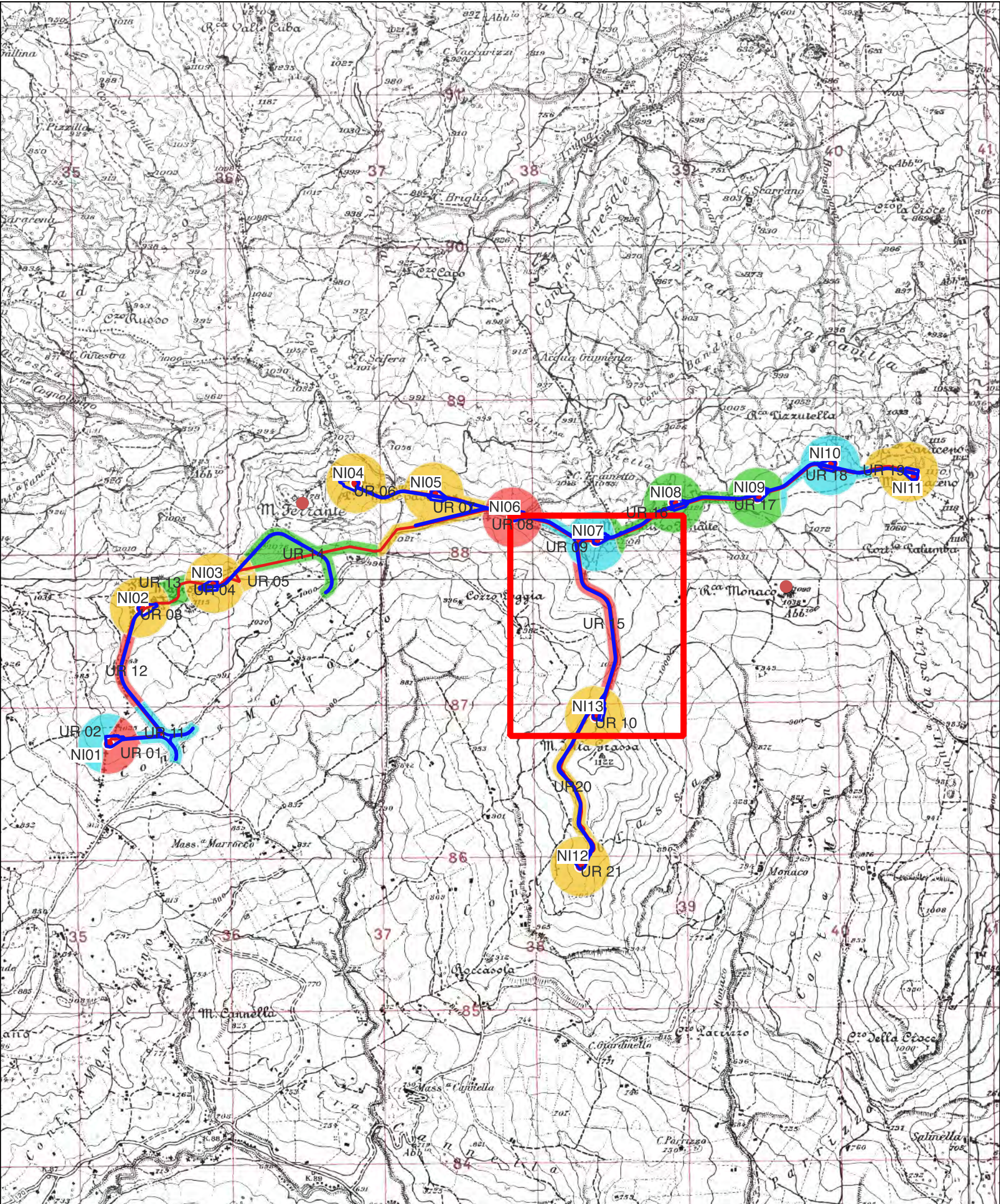
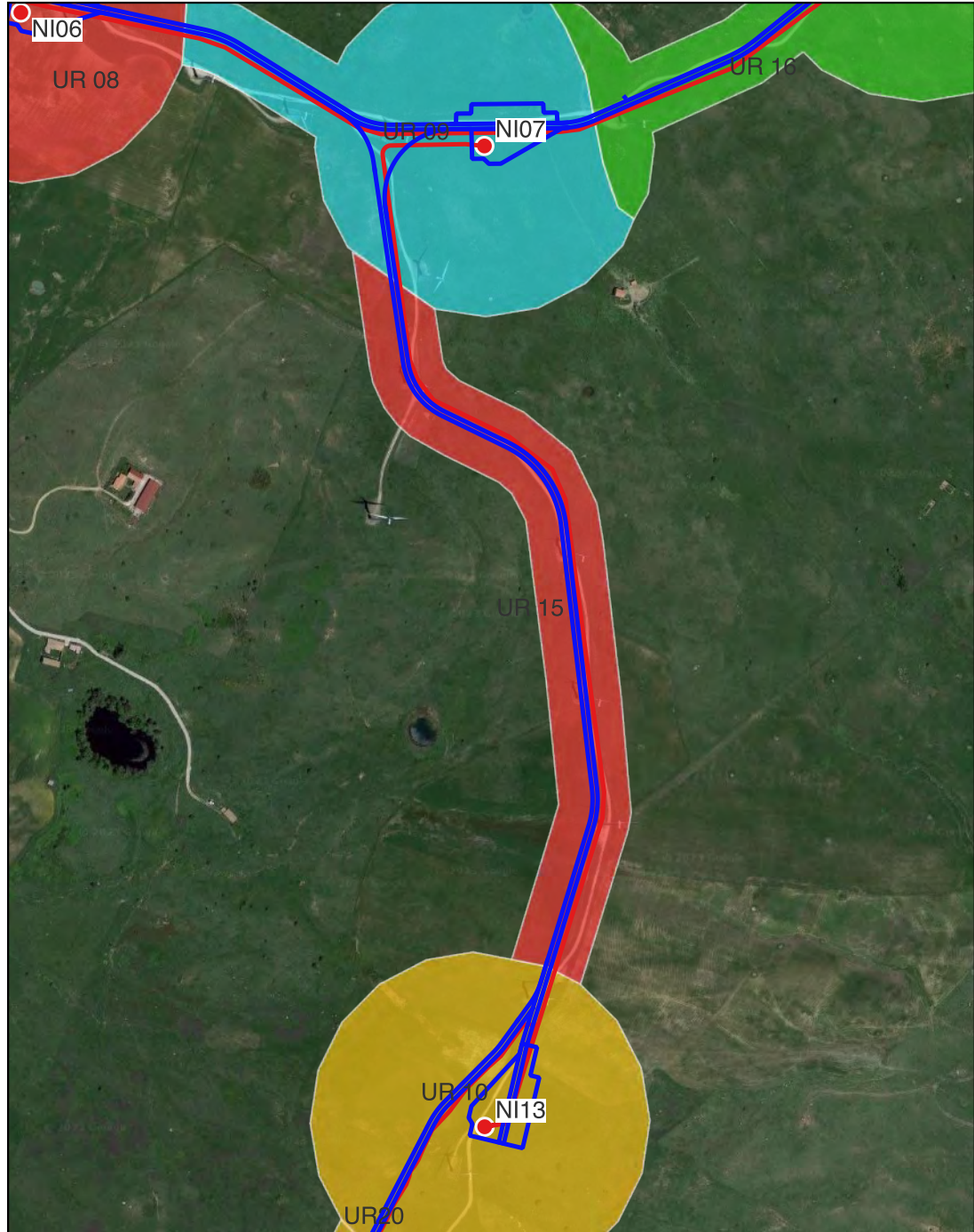
# Ricognizione c9bb273bfdbf42feb3fb36157a3c1976

## Unità di ricognizione 15 - Data 2020/01/15

Visibilità del suolo: 5

Copertura del suolo: superficie agricola utilizzata - UR comprendente parte della strada che dall'aerogeneratore NI07 porta all'aerogeneratore NI13. è attraversata dalla pista di cantiere esistente e delimitata su tutti i lati dai limiti dell'area da ricognire. Nessun elemento archeologico rinvenuto (foto nn. 46-48).

Sintesi geomorfologica: Suoli a tessitura argillosa.



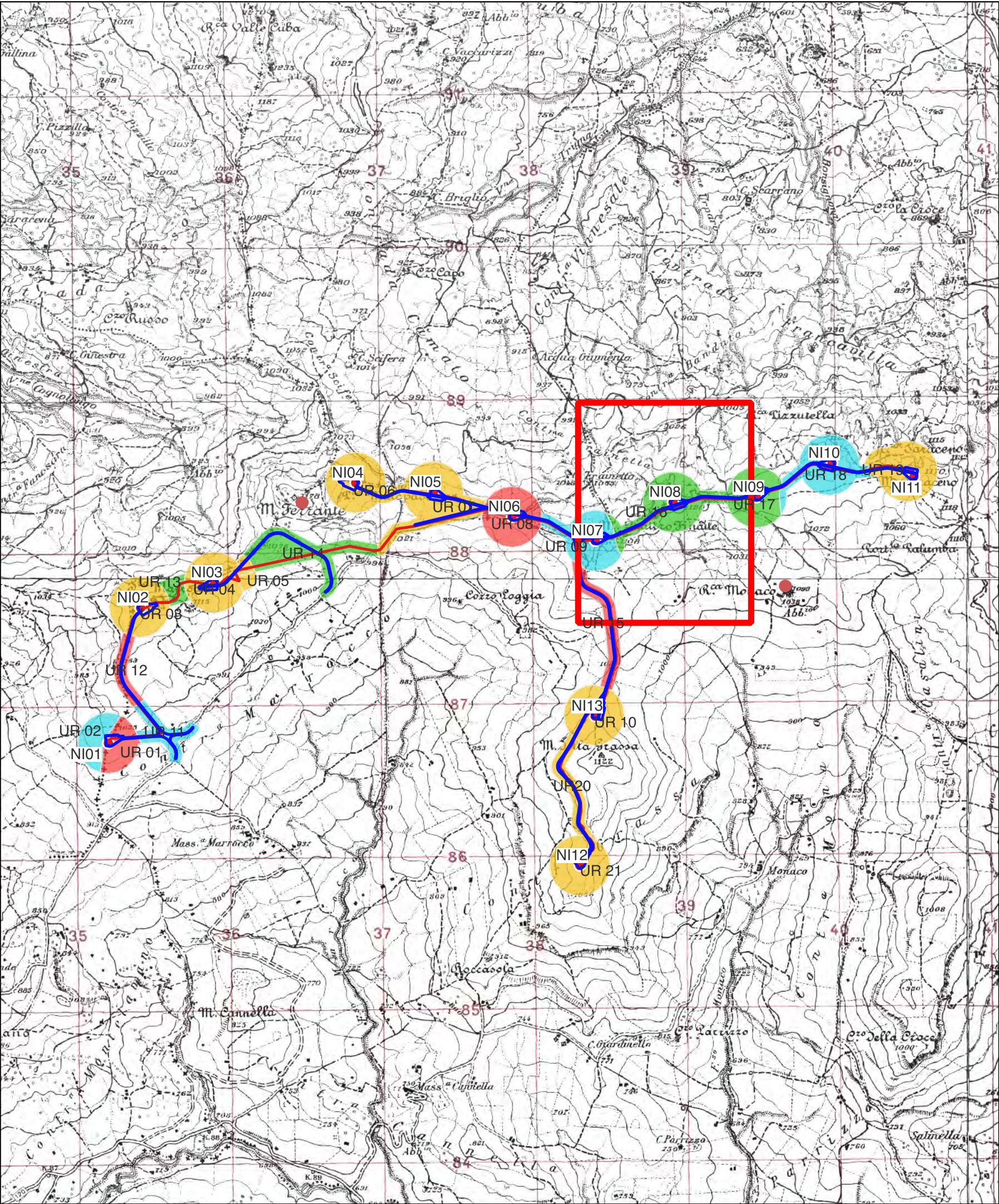
# Ricognizione c9bb273bfdbf42feb3fb36157a3c1976

## Unità di ricognizione 16 - Data 2020/05/28

Visibilità del suolo: 2

Copertura del suolo: superficie agricola utilizzata - UR comprendente parte delle strade di accesso all'aerogeneratore NI08 e la relativa piazzola di installazione. è attraversata dalla pista di cantiere esistente e delimitata su tutti i lati dai limiti dell'area da ricognire. La presenza di una fitta vegetazione non ne consente un'adeguata visibilità (foto nn. 49-52).

Sintesi geomorfologica: Suoli a tessitura argillosa.



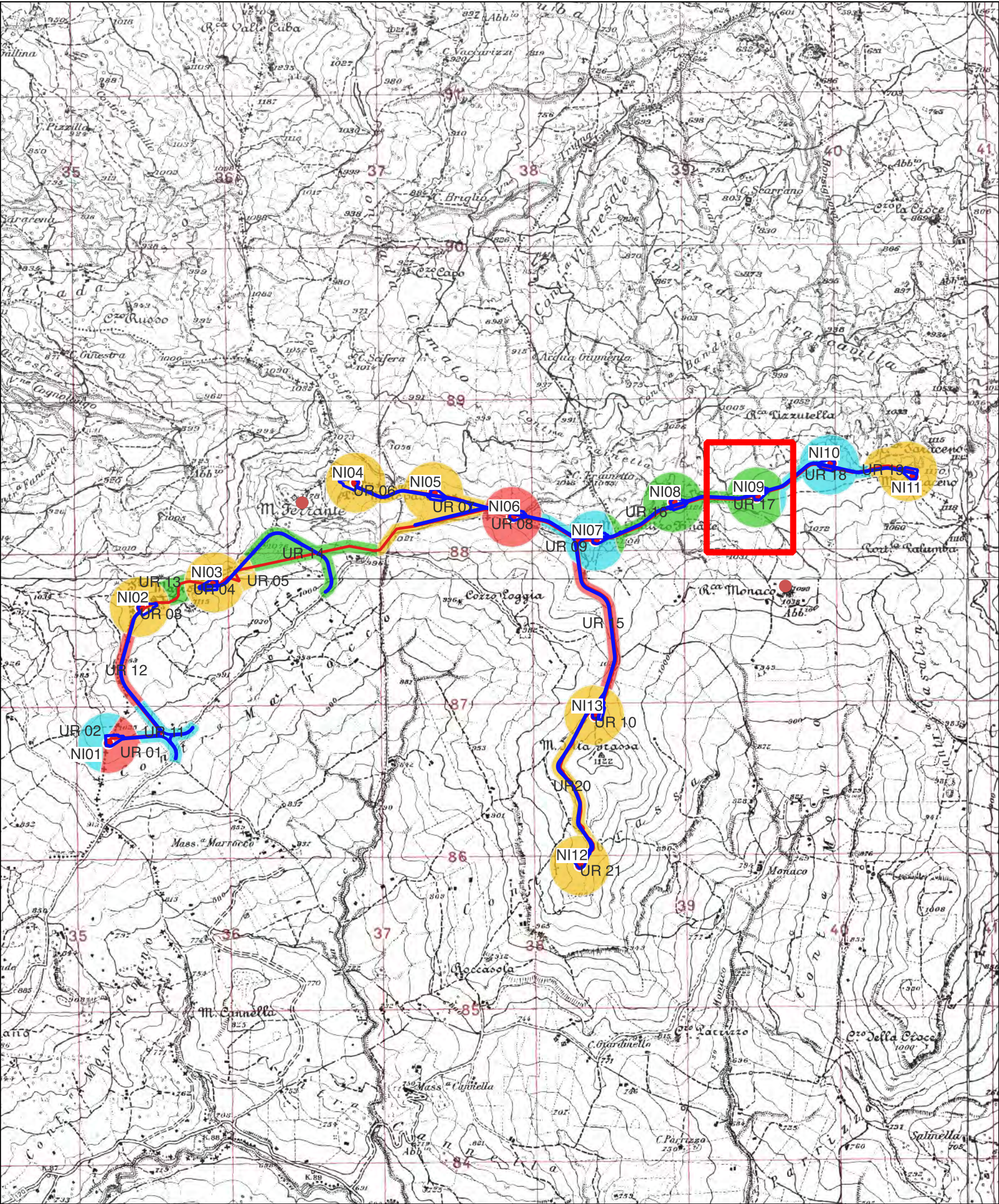
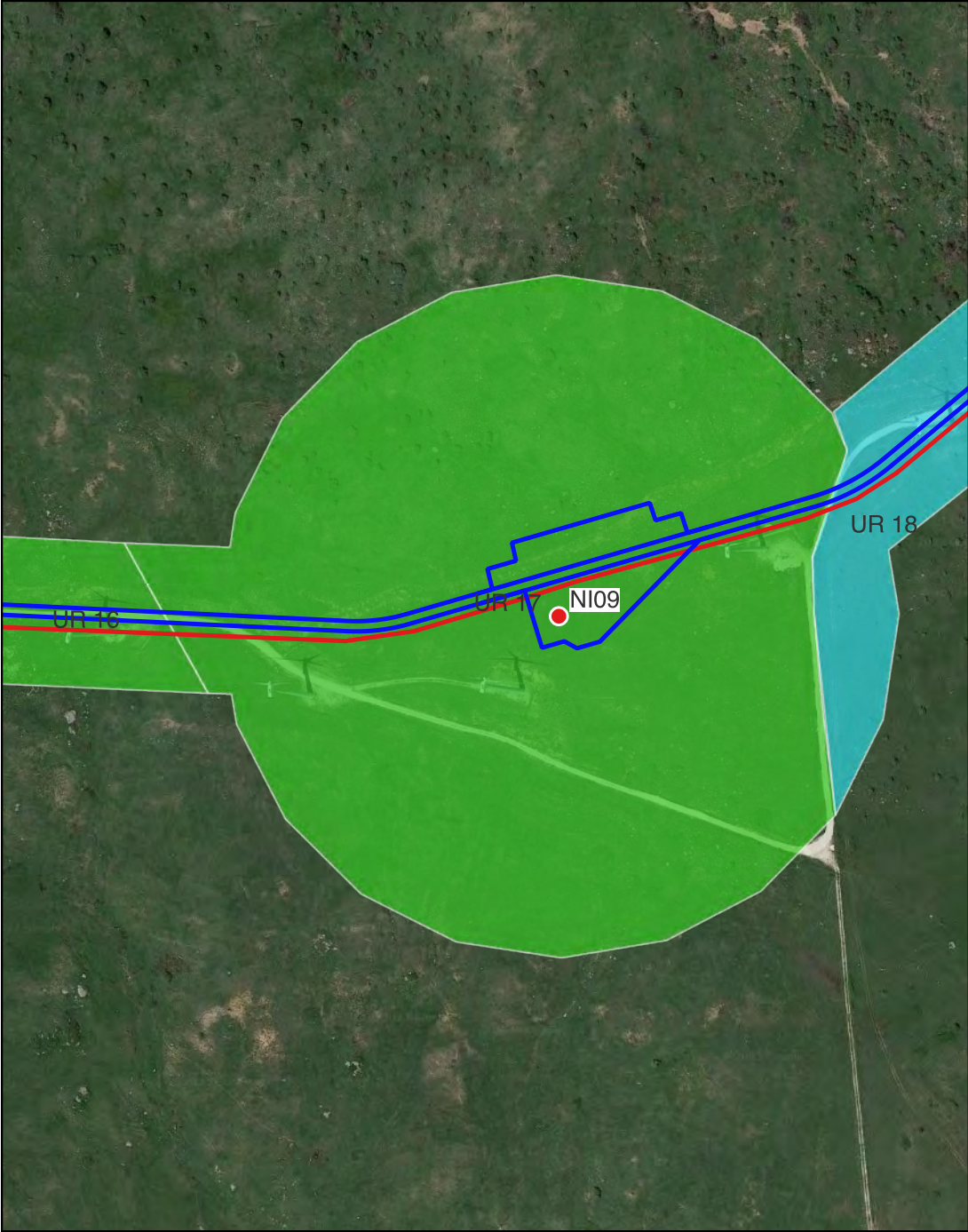
# Ricognizione c9bb273bfdbf42feb3fb36157a3c1976

## Unità di ricognizione 17 - Data 2020/05/28

Visibilità del suolo: 2

Copertura del suolo: superficie agricola utilizzata - UR comprendente parte delle strade di accesso all'aerogeneratore NI09 e la relativa piazzola di installazione. è attraversata dalla pista di cantiere esistente e delimitata su tutti i lati dai limiti dell'area da ricognire. La presenza di una fitta vegetazione non ne consente un'adeguata visibilità (foto nn. 53-54).

Sintesi geomorfologica: Suoli a tessitura argillosa.



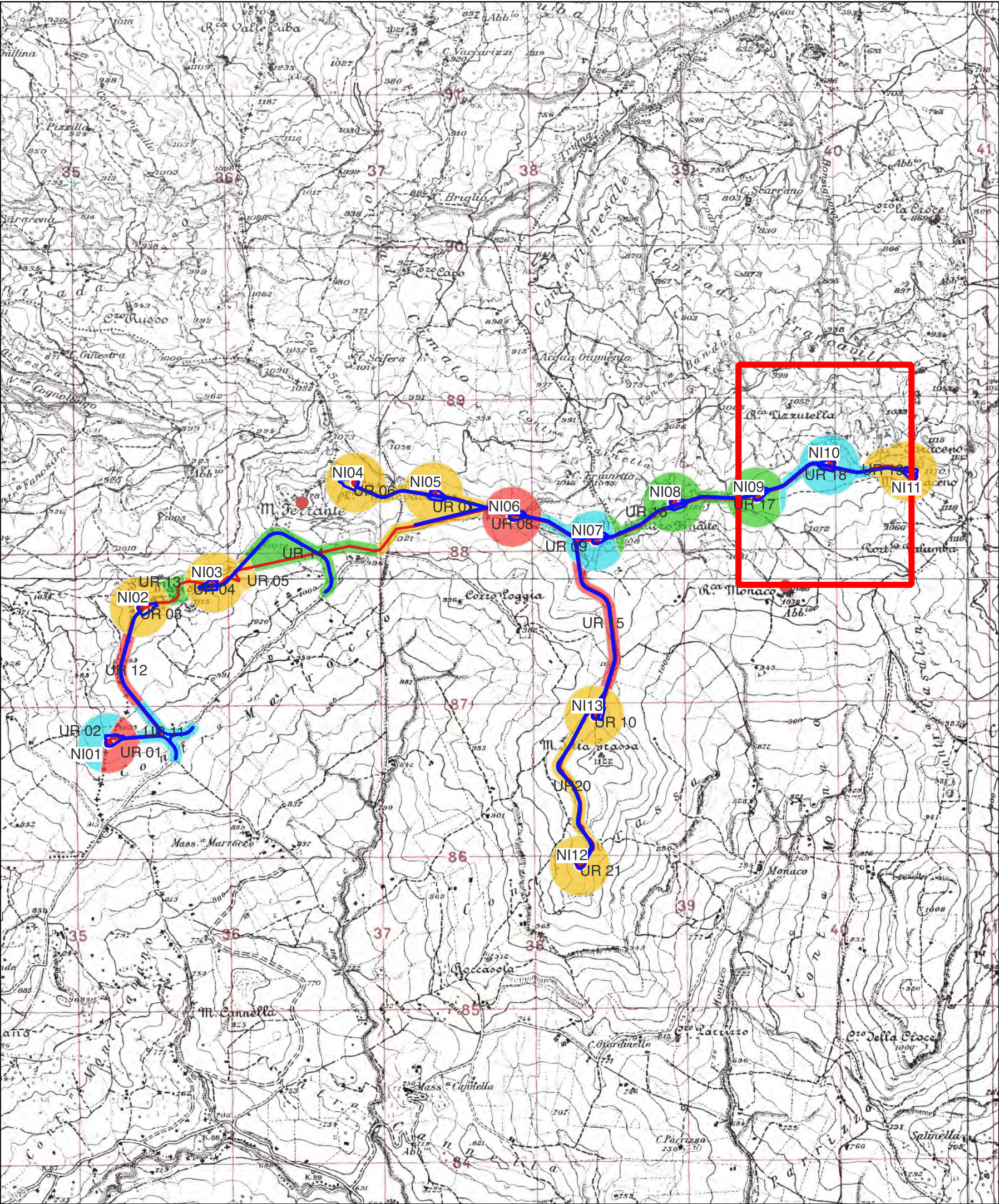
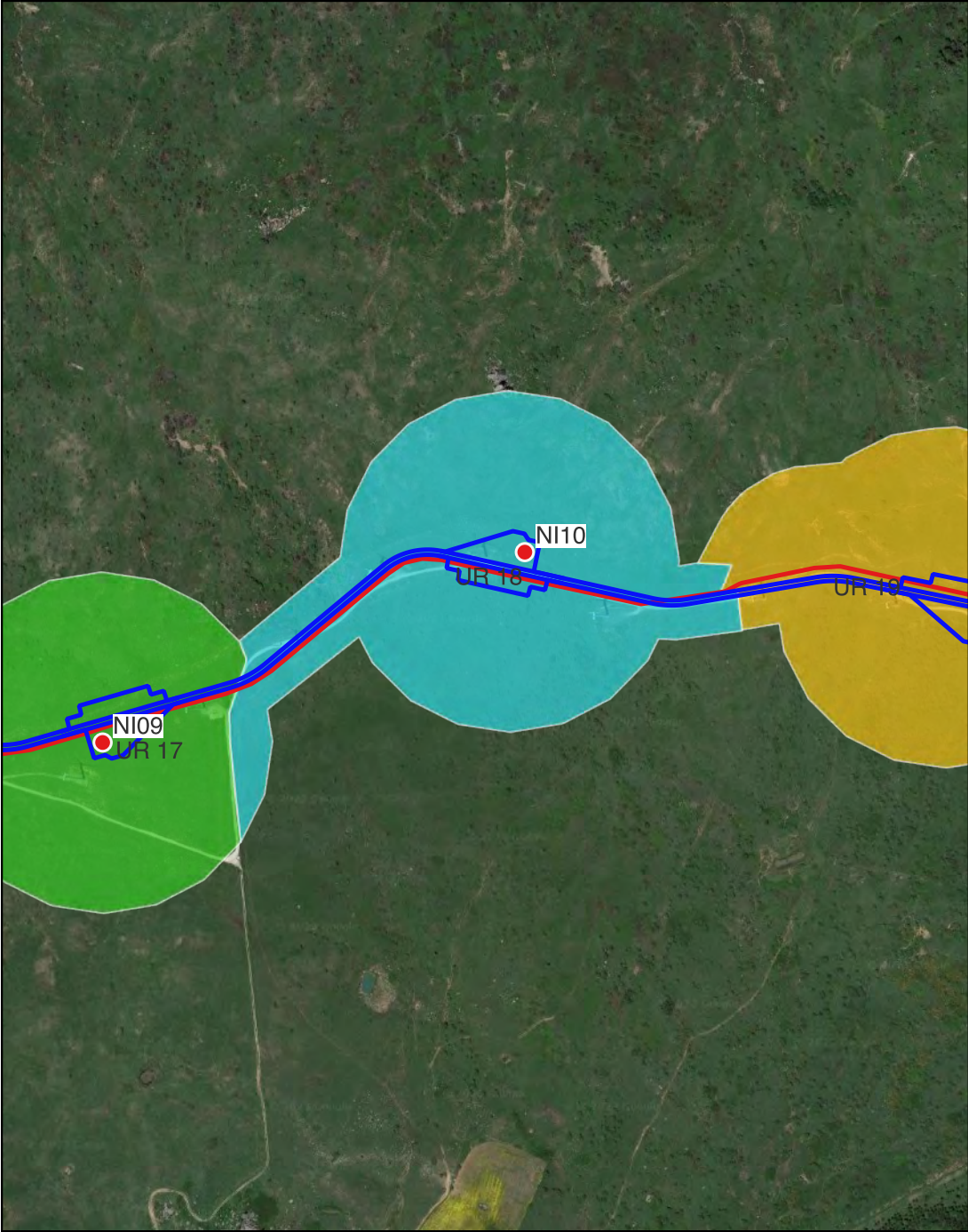
# Ricognizione c9bb273bfdbf42feb3fb36157a3c1976

## Unità di ricognizione 18 - Data 2020/05/28

Visibilità del suolo: 3

Copertura del suolo: superficie agricola utilizzata - UR comprendente parte delle strade di accesso all'aerogeneratore NI10 e la relativa piazzola di installazione. è attraversata dalla pista di cantiere esistente e delimitata su tutti i lati dai limiti dell'area da ricognire. La presenza di una fitta vegetazione non ne consente un'adeguata visibilità (foto nn. 55-57).

Sintesi geomorfologica: Suoli a tessitura argillosa.



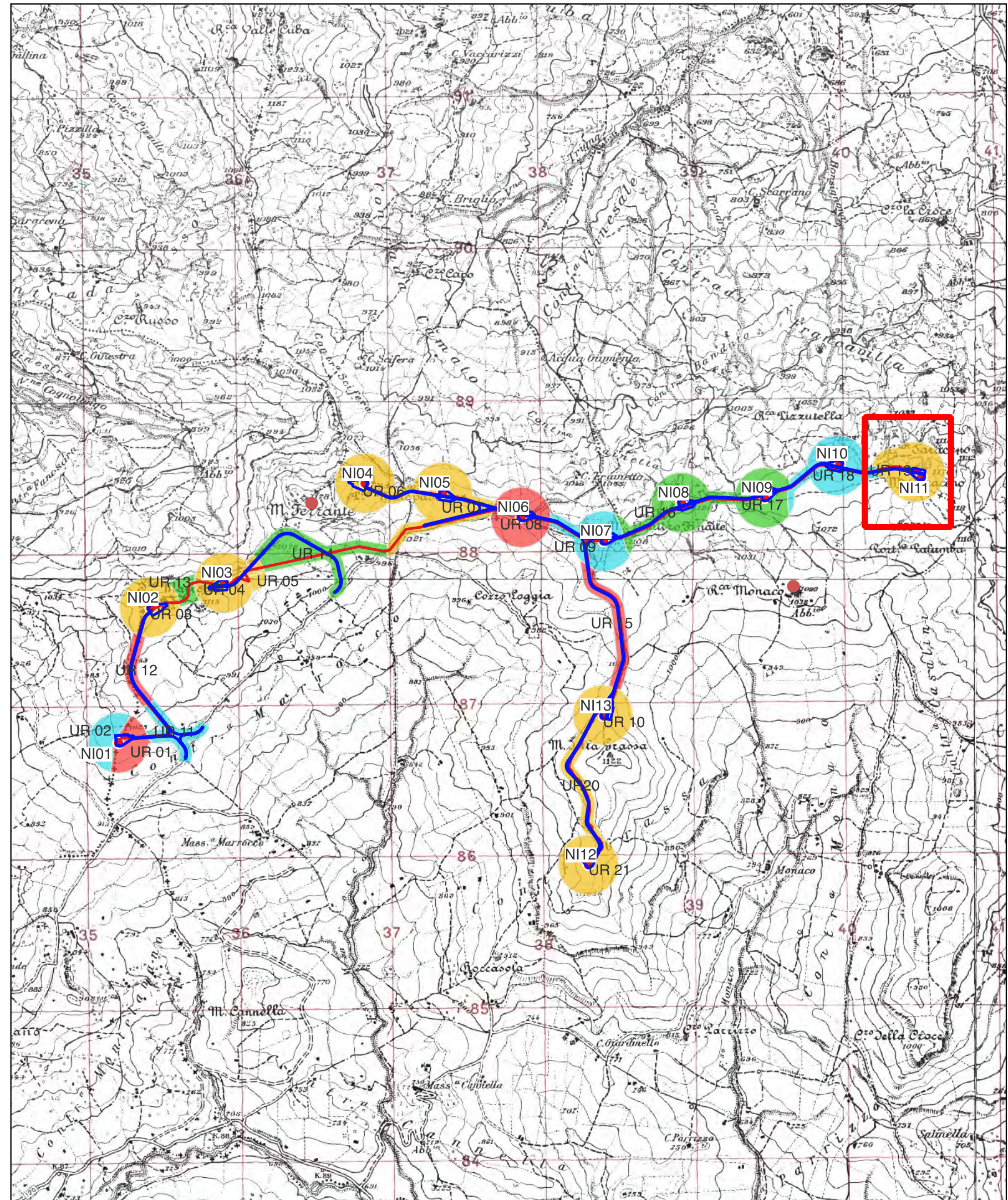
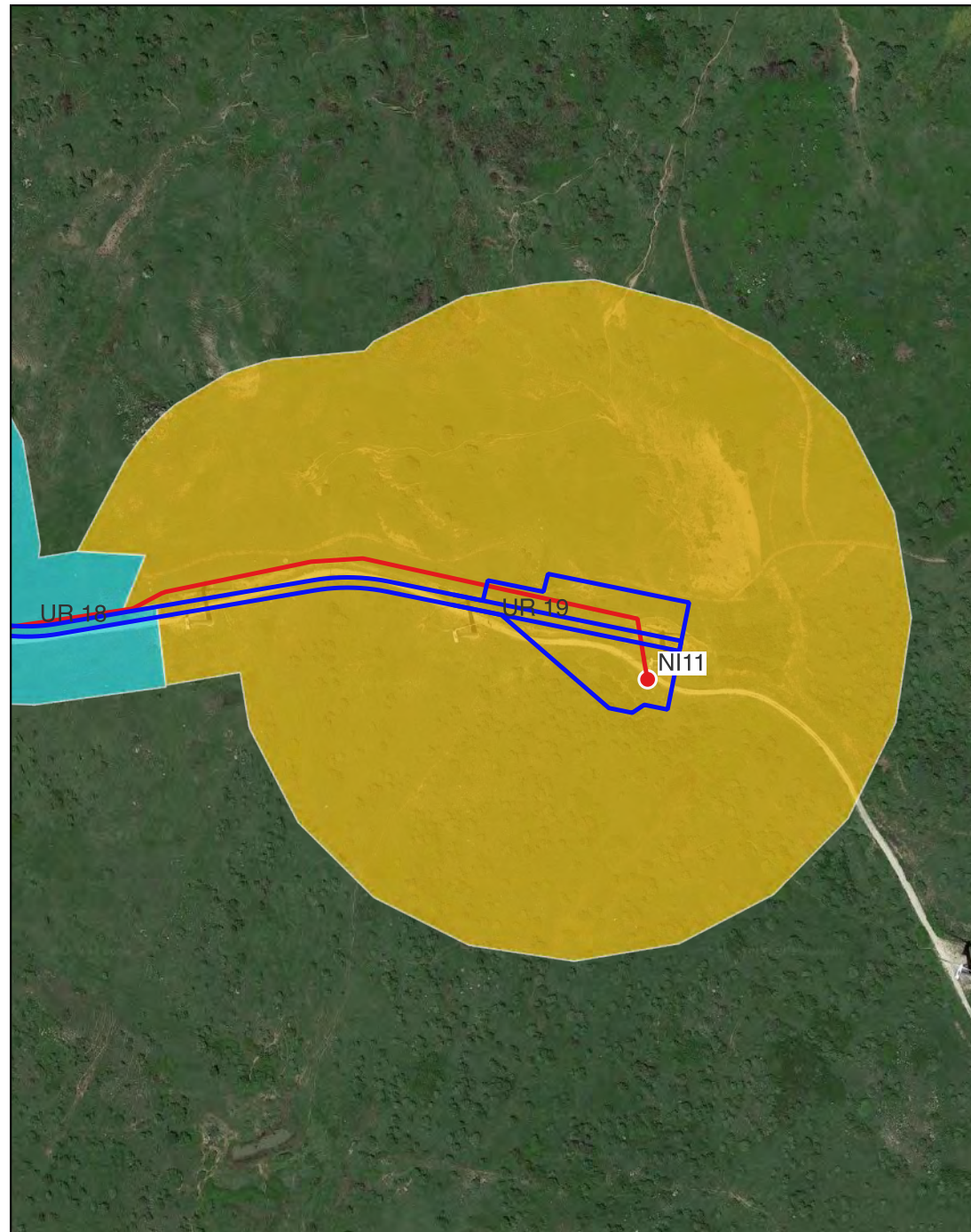
# Ricognizione c9bb273bfdbf42feb3fb36157a3c1976

## Unità di ricognizione 19 - Data 2020/05/28

Visibilità del suolo: 4

**Copertura del suolo:** superficie agricola utilizzata - UR comprendente parte delle strade di accesso all'aerogeneratore NI11 e la relativa piazzola di installazione. è attraversata dalla pista di cantiere esistente e delimitata su tutti i lati dai limiti dell'area da ricognire. Nessun elemento archeologico rinvenuto (foto nn. 58-60).

**Sintesi geomorfologica:** Suoli a tessitura argillosa.





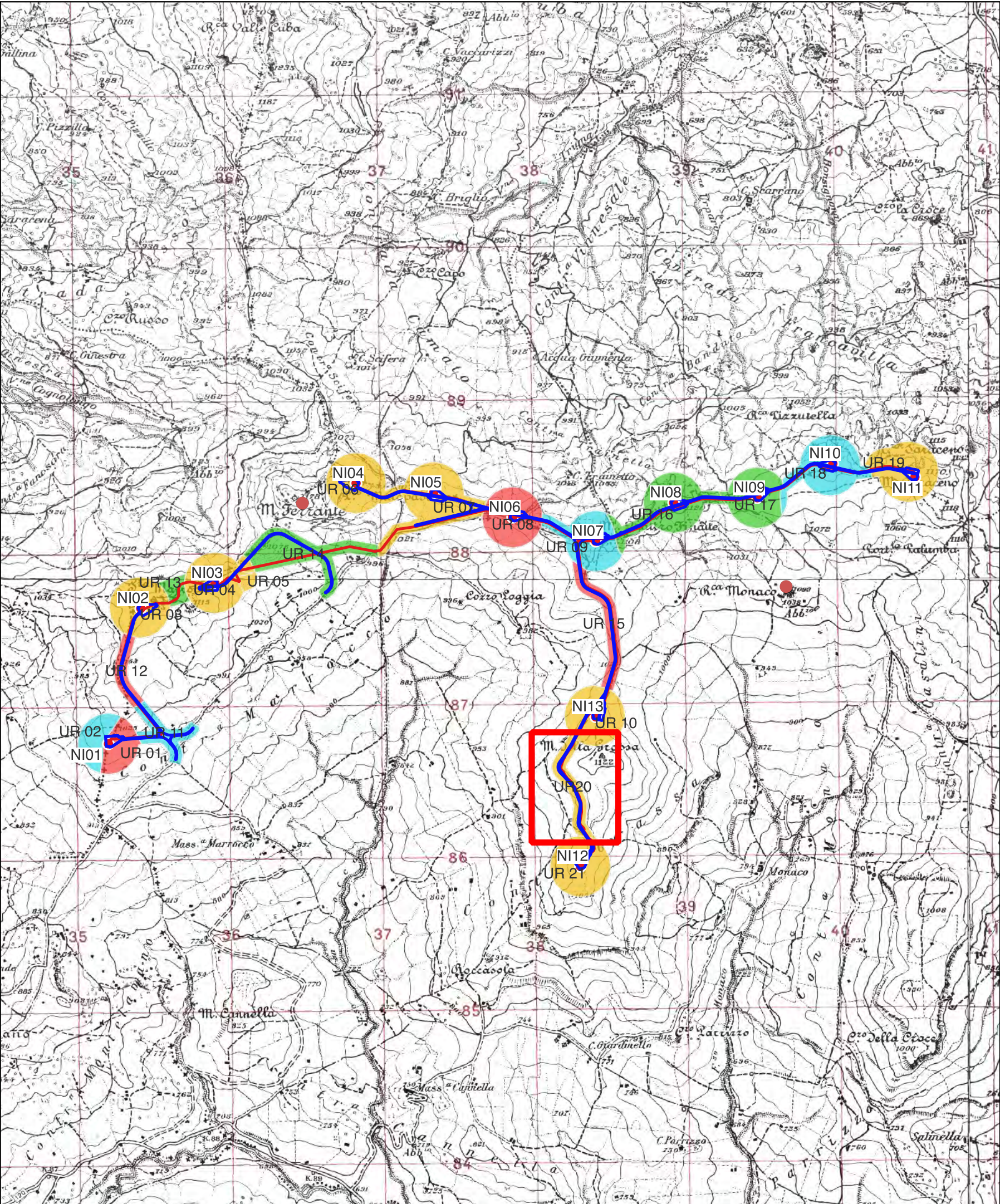
# Ricognizione c9bb273bfdbf42feb3fb36157a3c1976

## Unità di ricognizione 20 - Data 2023/07/31

Visibilità del suolo: 4

**Copertura del suolo:** superficie agricola utilizzata - UR comprendente l'area di passaggio del cavidotto interrato e della strada di accesso che collegherà gli aerogeneratori NI12 e NI13 che attraversa le pendici sud-occidentali di Monte della Grassa. La vegetazione presente consente una media visibilità della superficie del suolo (foto nn. 61-62). Nessun elemento archeologico rinvenuto.

**Sintesi geomorfologica:** Suoli a tessitura argillosa.



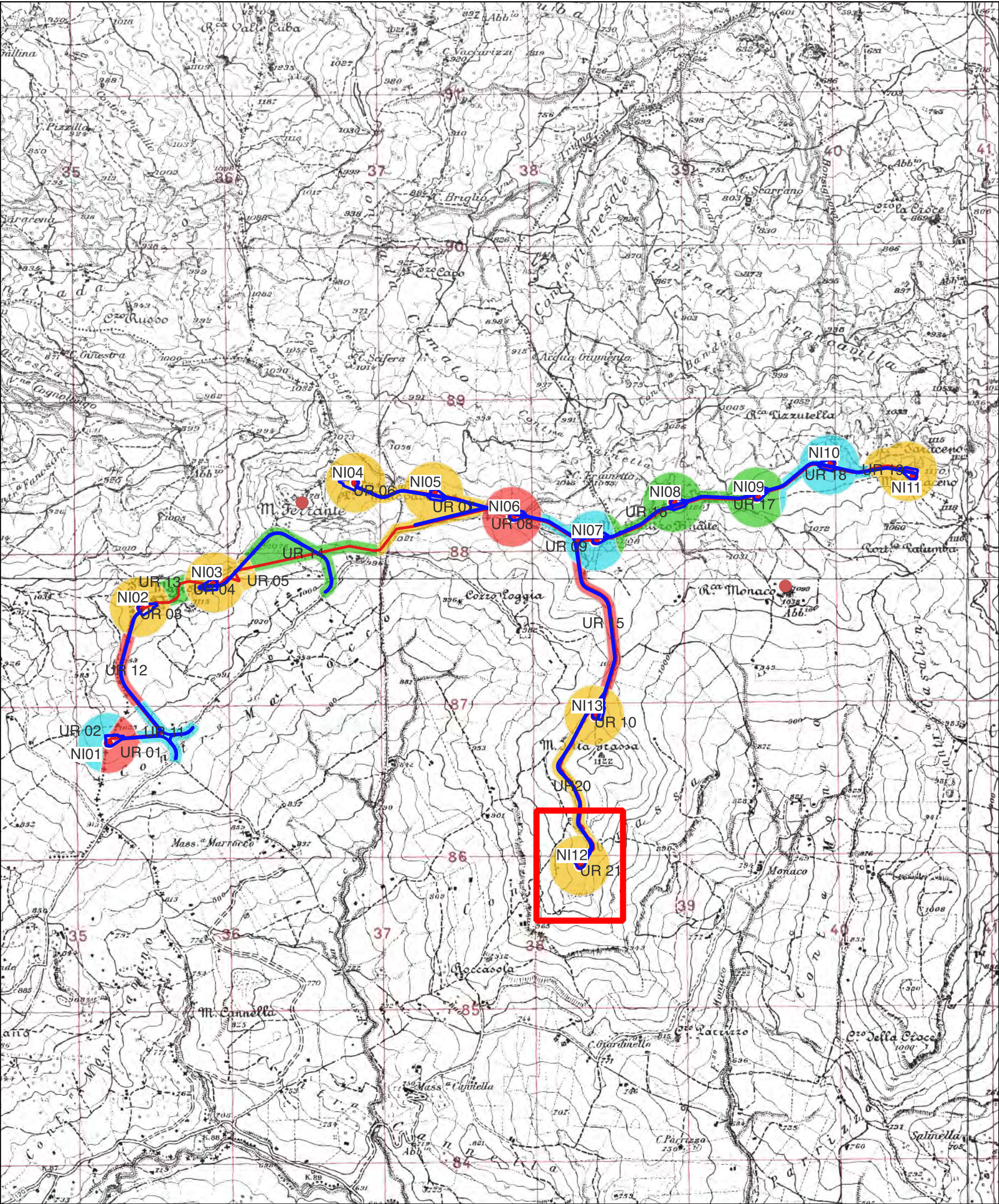
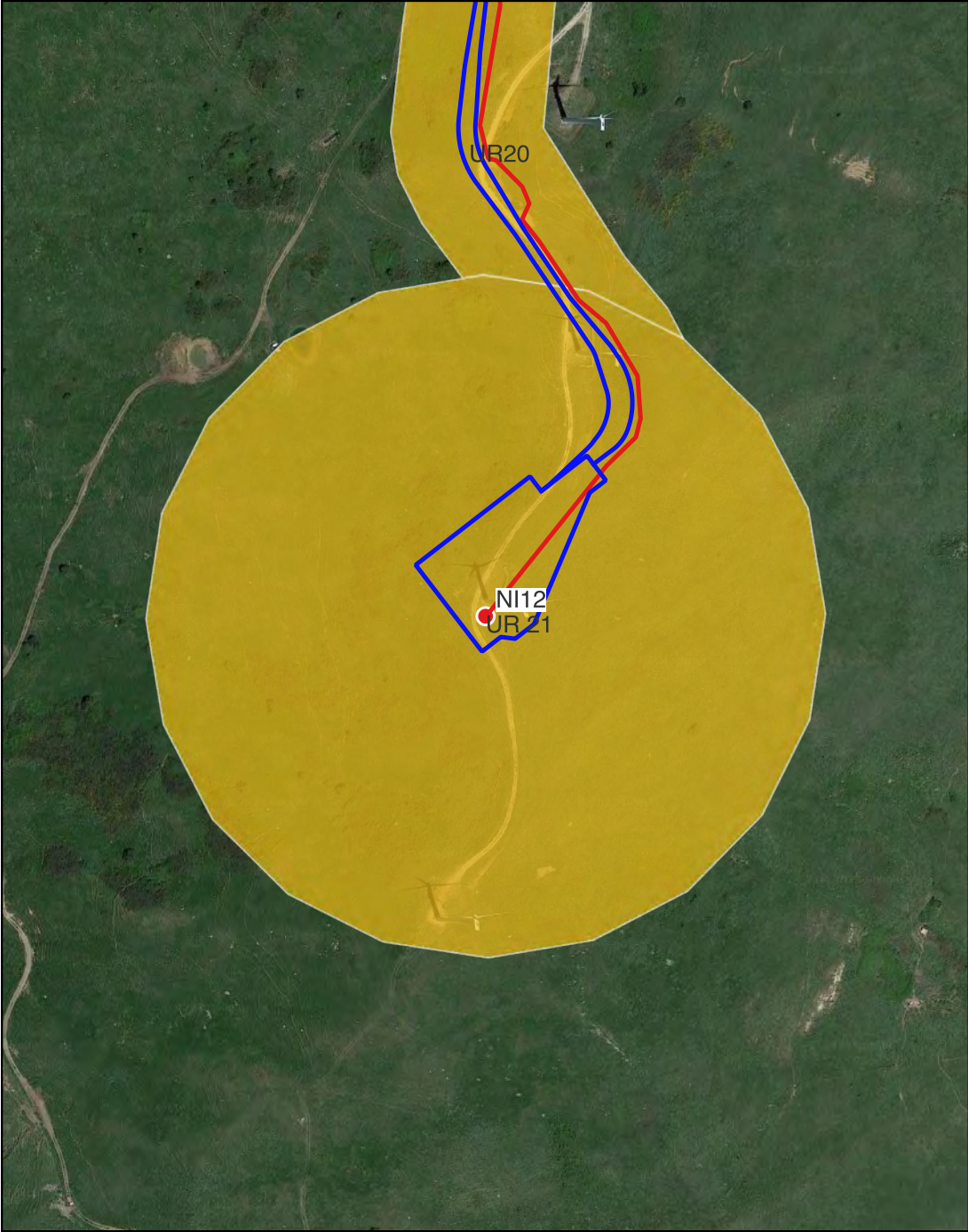
# Ricognizione c9bb273bfdbf42feb3fb36157a3c1976

## Unità di ricognizione 21 - Data 2023/07/31

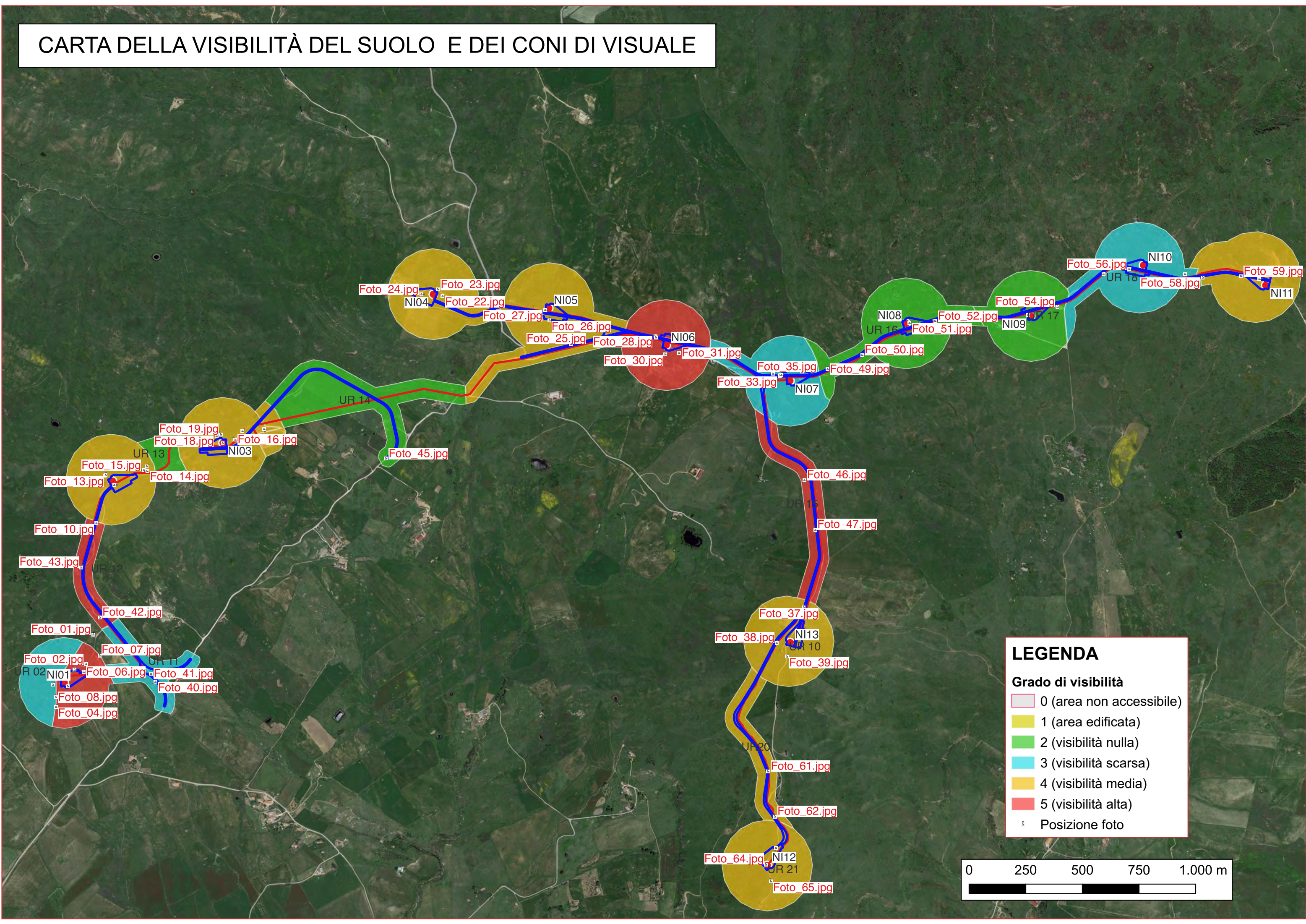
Visibilità del suolo: 4

Copertura del suolo: superficie boscata e ambiente seminaturale - UR comprendente parte delle strade di accesso all'aerogeneratore NI12 e la relativa piazzola di installazione. L'UR è attraversata dalla pista di cantiere esistente e delimitata su tutti i lati dai limiti dell'area da ricognire. Nessun elemento archeologico rinvenuto (foto nn. 63-65).

Sintesi geomorfologica: Suoli a tessitura argillosa.



# CARTA DELLA VISIBILITÀ DEL SUOLO E DEI CONI DI VISUALE

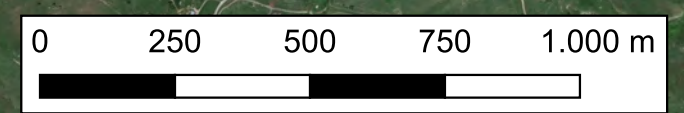


### LEGENDA

**Grado di visibilità**

- 0 (area non accessibile)
- 1 (area edificata)
- 2 (visibilità nulla)
- 3 (visibilità scarsa)
- 4 (visibilità media)
- 5 (visibilità alta)

☐ Posizione foto



# CARTA DEL POTENZIALE - SOPR-EN-ME\_2023\_0037-AKS\_0000037 - area 01

## potenziale non valutabile - affidabilità buona

Per l'area 01 comprendente l'UR 02 (buffer aerogeneratore NI12) il potenziale archeologico è di grado non valutabile in quanto la fitta vegetazione presente non ha consentito un'adeguata visibilità della superficie dei suoli (Circ. 53.2022 MIC).

### LEGENDA

VRP - Carta del potenziale

WTG 


Cavidotti 


Piazzole e strade 


VRP\_multipolygon

potenziale alto 

potenziale medio 

potenziale basso 


potenziale nullo 


potenziale non valutabile 


MOSI\_multipolygon (potenziale)

potenziale alto 

potenziale medio 

potenziale basso 


potenziale nullo 


potenziale non valutabile 


MOSI\_multipoint (potenziale)

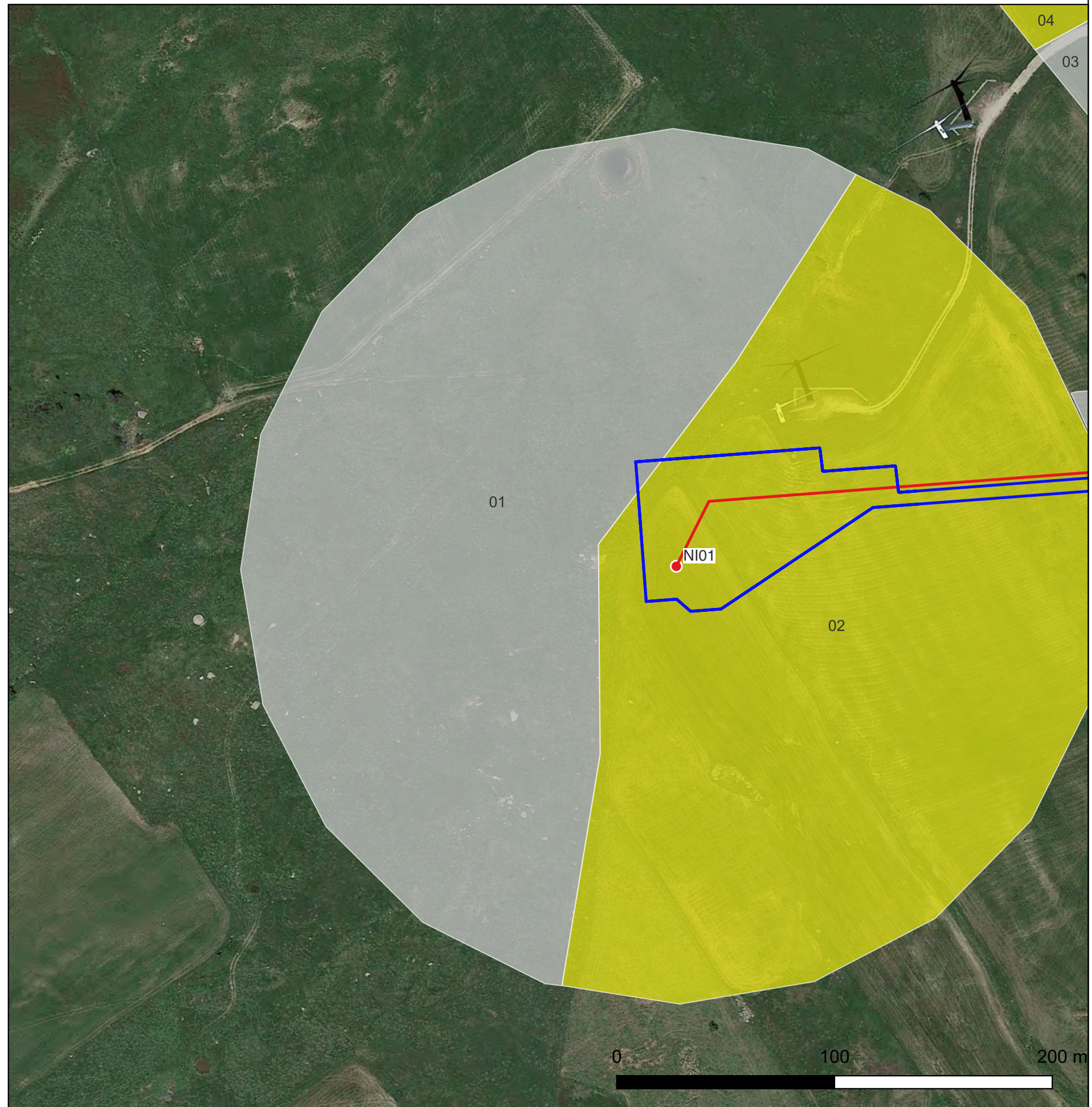
potenziale alto 

potenziale medio 

potenziale basso 

potenziale nullo 

potenziale non valutabile 



# CARTA DEL POTENZIALE - SOPR-EN-ME\_2023\_0037-AKS\_0000037 - area 02

## potenziale basso - affidabilità buona

Per l'area 02 comprendente l'UR 01 (aerogeneratore NI01) il potenziale archeologico è di grado Basso: "aree connotate da scarsi elementi concreti di frequentazione antica" in quanto, in nessuna delle attività svolte, sono emersi elementi indiziari della presenza di resti archeologici.

### LEGENDA

VRP - Carta del potenziale

WTG 


Cavidotti 


Piazzole e strade 


VRP\_multipolygon

potenziale alto 

potenziale medio 

potenziale basso 


potenziale nullo 


potenziale non valutabile 


MOSI\_multipolygon (potenziale)

potenziale alto 

potenziale medio 

potenziale basso 


potenziale nullo 


potenziale non valutabile 


MOSI\_multipoint (potenziale)

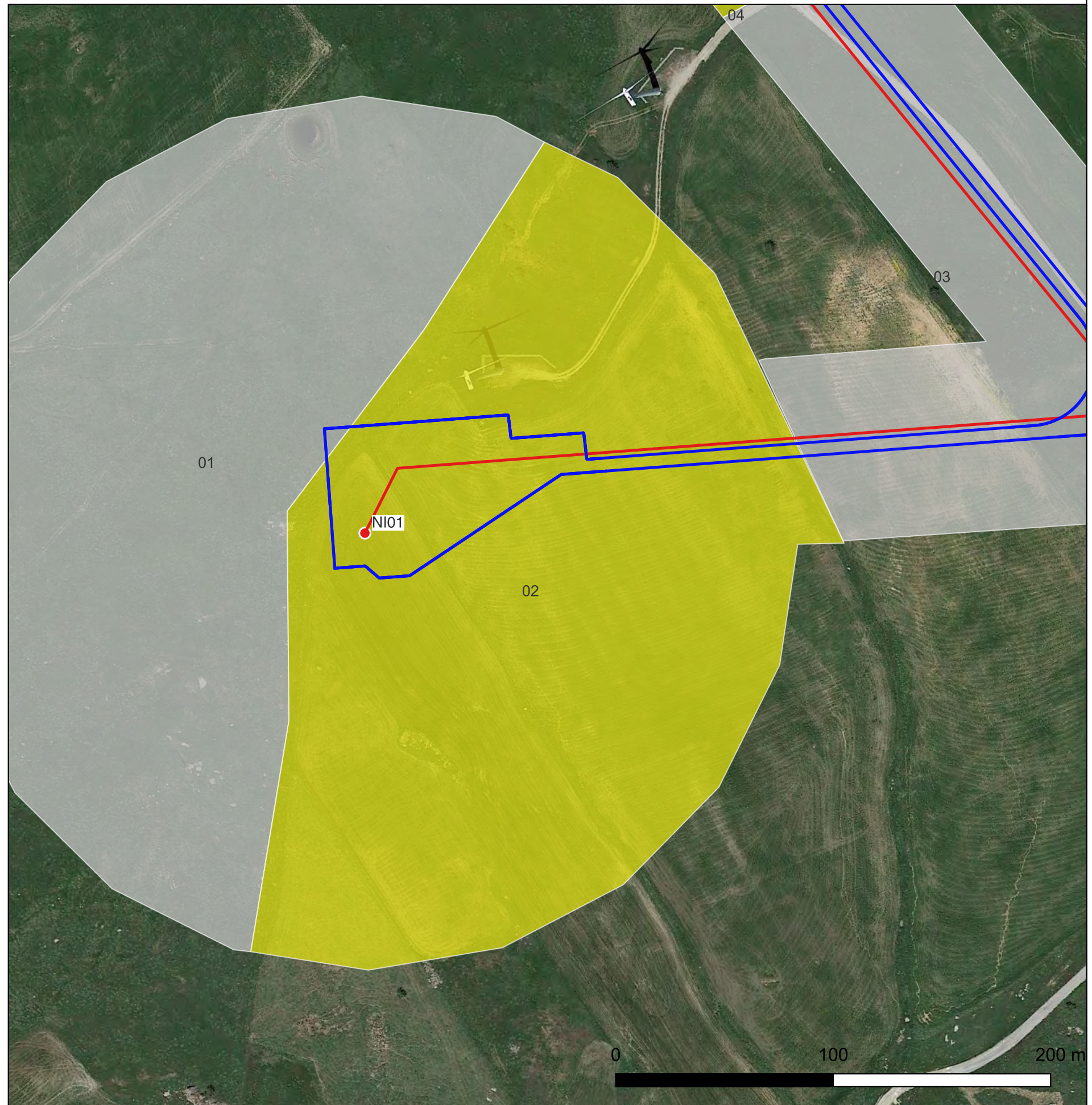
potenziale alto 

potenziale medio 

potenziale basso 

potenziale nullo 

potenziale non valutabile 



# CARTA DEL POTENZIALE - SOPR-EN-ME\_2023\_0037-AKS\_0000037 - area 03

## potenziale non valutabile - affidabilità buona

Per l'area 03 comprendente l'UR 11 (viabilità) il potenziale archeologico è di grado non valutabile in quanto la fitta vegetazione presente non ha consentito un'adeguata visibilità della superficie dei suoli (Circ. 53.2022 MIC).

### LEGENDA

VRP - Carta del potenziale

WTG ●

Cavidotti —

Piazzole e strade —

VRP\_multipolygon

potenziale alto ■

potenziale medio ■

potenziale basso ■

potenziale nullo ■

potenziale non valutabile ■

MOSI\_multipolygon (potenziale)

potenziale alto ■

potenziale medio ■

potenziale basso ■

potenziale nullo ■

potenziale non valutabile ■

MOSI\_multipoint (potenziale)

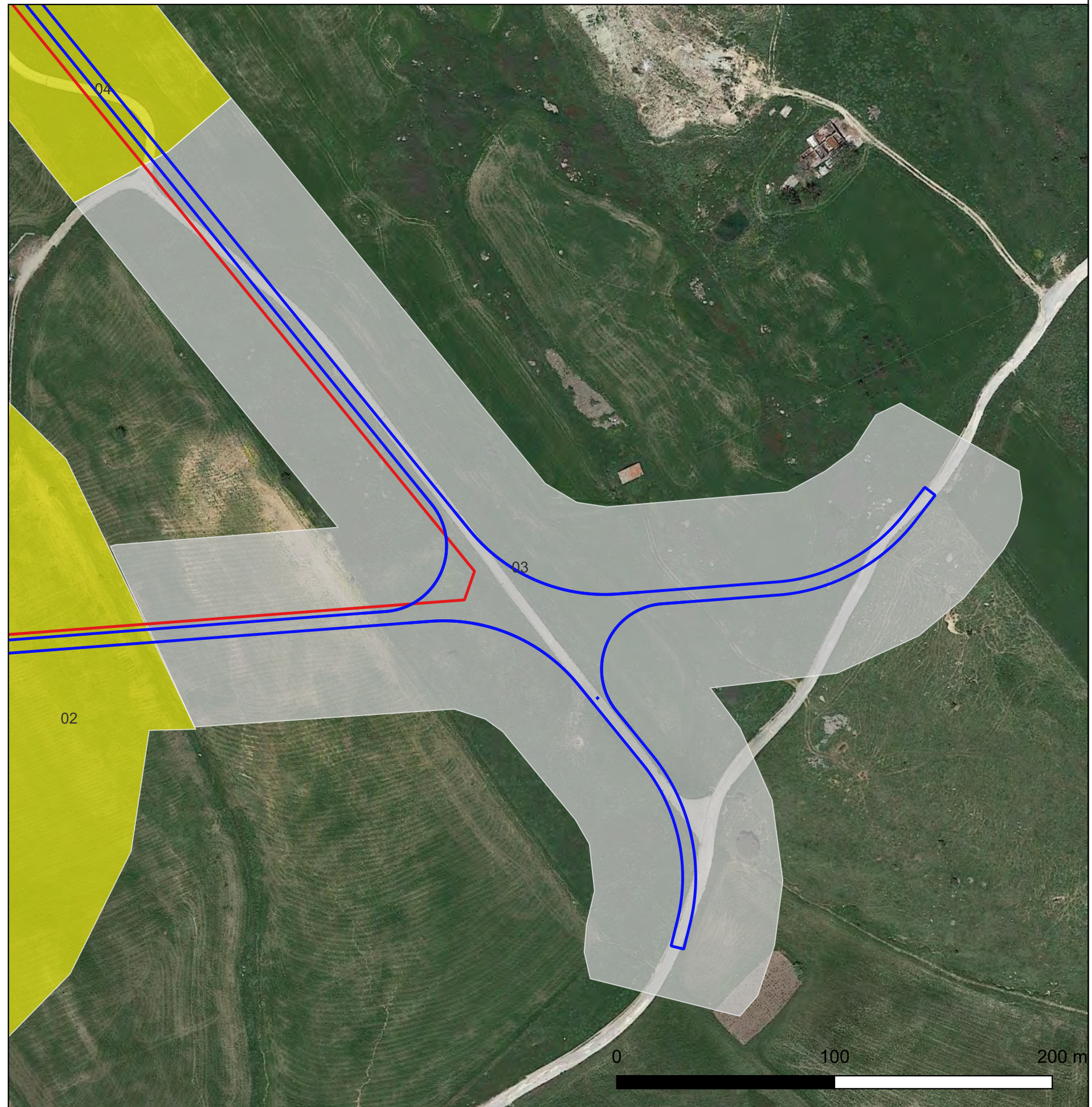
potenziale alto ●

potenziale medio ●

potenziale basso ●

potenziale nullo ●

potenziale non valutabile ●



# CARTA DEL POTENZIALE - SOPR-EN-ME\_2023\_0037-AKS\_0000037 - area 04

## potenziale basso - affidabilità buona


Per l'area 04 comprendente l'UR 03 (aerogeneratore NI02) e l'UR 12 (viabilità e cavidotti) il potenziale archeologico è di grado Basso: "aree connotate da scarsi elementi concreti di frequentazione antica" in quanto, in nessuna delle attività svolte, sono emersi elementi indiziari della presenza di resti archeologici.

### LEGENDA

VRP - Carta del potenziale

WTG 

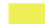
Cavidotti 


Piazzole e strade 

VRP\_multipolygon

potenziale alto 

potenziale medio 

potenziale basso 


potenziale nullo 


potenziale non valutabile 


MOSI\_multipolygon (potenziale)

potenziale alto 

potenziale medio 

potenziale basso 


potenziale nullo 


potenziale non valutabile 


MOSI\_multipoint (potenziale)

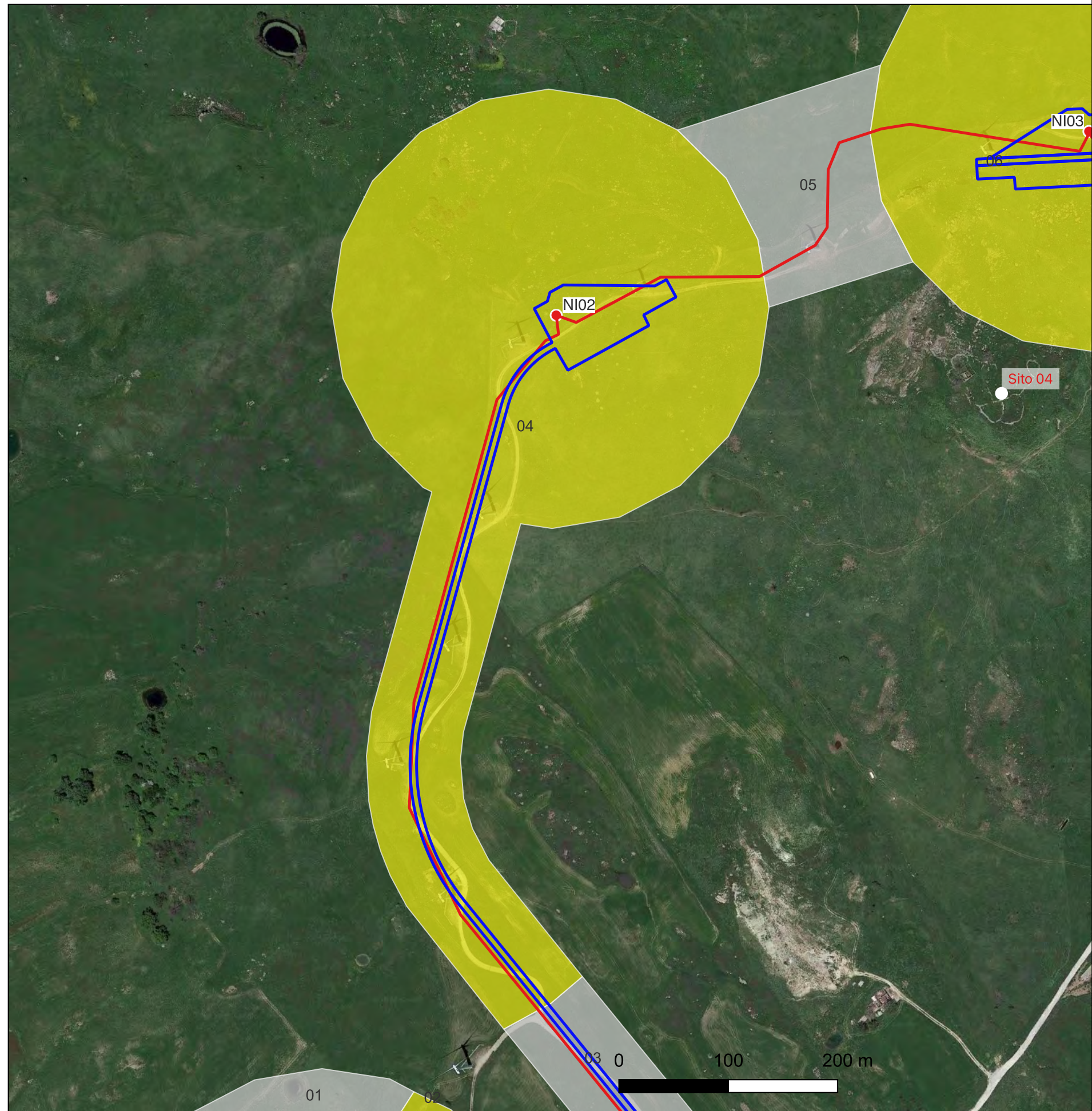
potenziale alto 

potenziale medio 

potenziale basso 

potenziale nullo 

potenziale non valutabile 



# CARTA DEL POTENZIALE - SOPR-EN-ME\_2023\_0037-AKS\_0000037 - area 05

## potenziale non valutabile - affidabilità buona

Per l'area 05 comprendente l'UR 13 (cavidotto) il potenziale archeologico è di grado non valutabile in quanto la fitta vegetazione presente non ha consentito un'adeguata visibilità della superficie dei suoli (Circ. 53.2022 MIC).

### LEGENDA

VRP - Carta del potenziale

WTG ●

Cavidotti —

Piazzole e strade —

VRP\_multipolygon

potenziale alto ■

potenziale medio ■

potenziale basso ■

potenziale nullo ■

potenziale non valutabile ■

MOSI\_multipolygon (potenziale)

potenziale alto ■

potenziale medio ■

potenziale basso ■

potenziale nullo ■

potenziale non valutabile ■

MOSI\_multipoint (potenziale)

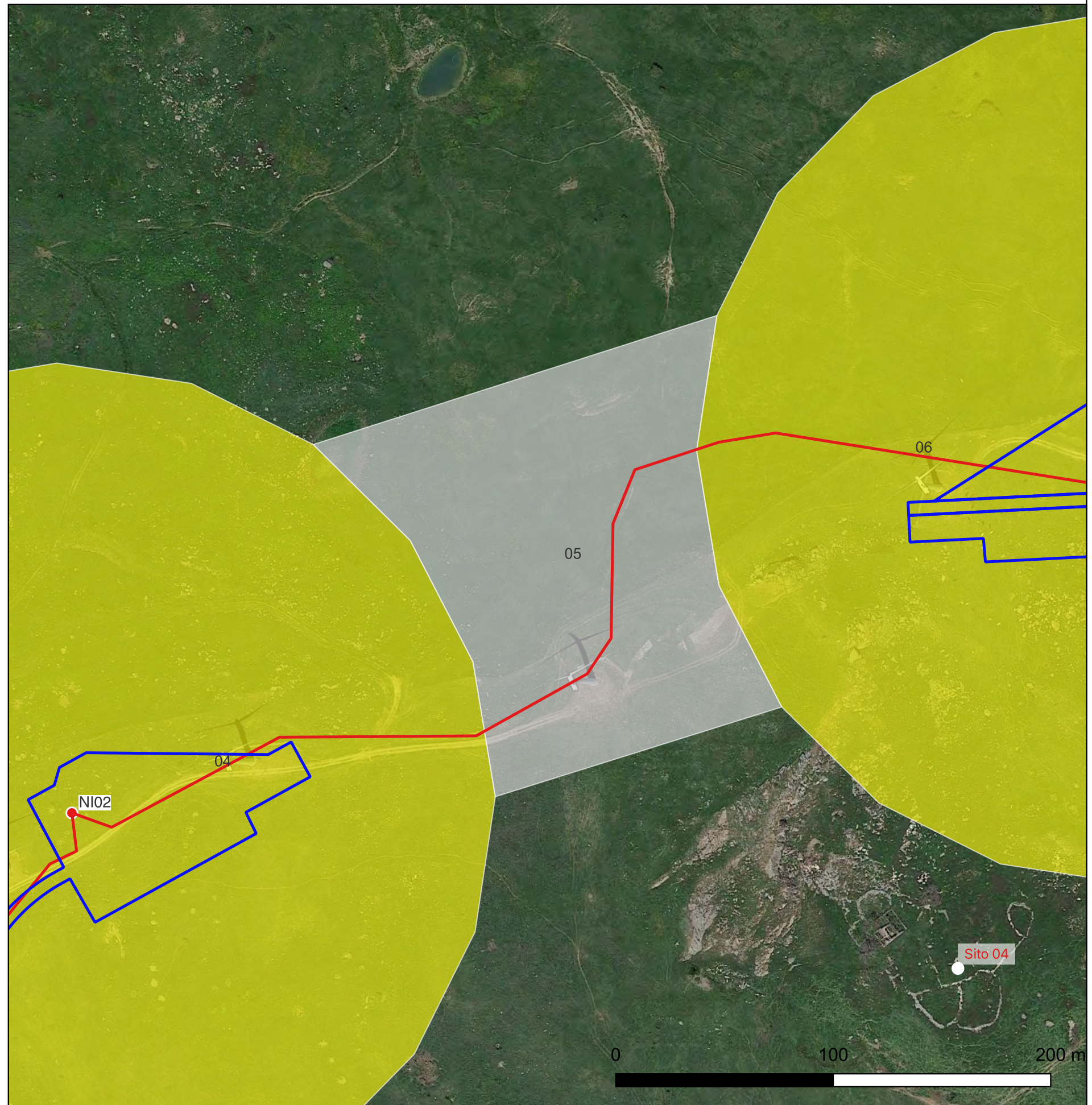
potenziale alto ●

potenziale medio ●

potenziale basso ●

potenziale nullo ●

potenziale non valutabile ●





# CARTA DEL POTENZIALE - SOPR-EN-ME\_2023\_0037-AKS\_0000037 - area 06

## potenziale basso - affidabilità buona

Per l'area 06 comprendente l'UR 04 (aerogeneratore NI03) e l'UR 05 (area sottostazione) il potenziale archeologico è di grado Basso: "aree connotate da scarsi elementi concreti di frequentazione antica" in quanto, in nessuna delle attività svolte, sono emersi elementi indiziari della presenza di resti archeologici.

### LEGENDA

VRP - Carta del potenziale

WTG 


Cavidotti 


Piazzole e strade 


VRP\_multipolygon

potenziale alto 

potenziale medio 

potenziale basso 


potenziale nullo 


potenziale non valutabile 


MOSI\_multipolygon (potenziale)

potenziale alto 

potenziale medio 

potenziale basso 


potenziale nullo 


potenziale non valutabile 


MOSI\_multipoint (potenziale)

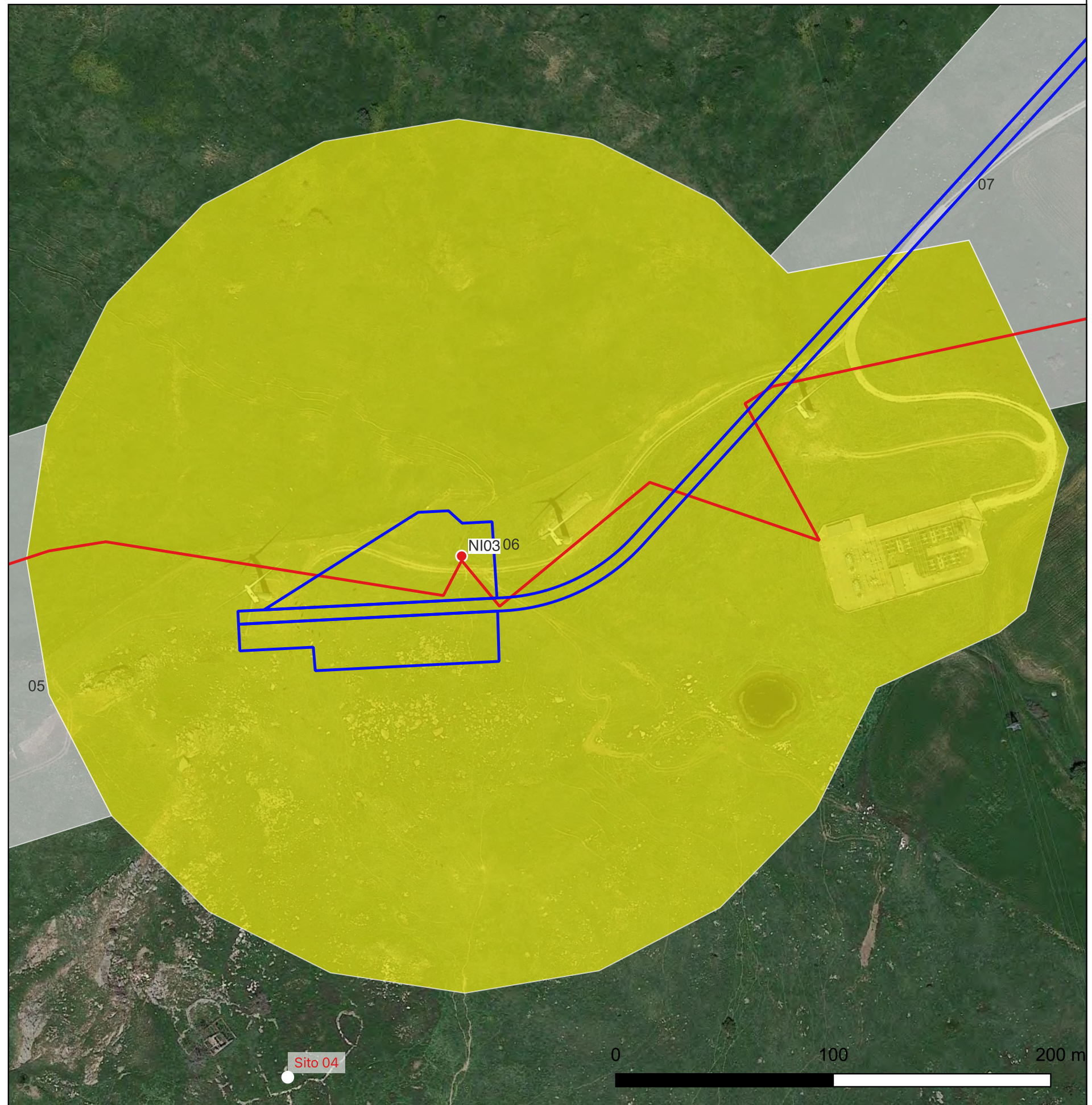
potenziale alto 

potenziale medio 

potenziale basso 

potenziale nullo 

potenziale non valutabile 



# CARTA DEL POTENZIALE - SOPR-EN-ME\_2023\_0037-AKS\_0000037 - area 07

## potenziale non valutabile - affidabilità buona

Per l'area 07 comprendente l'UR 14 (viabilità) il potenziale archeologico è di grado non valutabile in quanto la fitta vegetazione presente non ha consentito un'adeguata visibilità della superficie dei suoli (Circ. 53.2022 MIC).

### LEGENDA


VRP - Carta del potenziale

WTG 

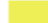
Cavidotti 


Piazzole e strade 

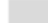
VRP\_multipolygon

potenziale alto 

potenziale medio 

potenziale basso 


potenziale nullo 


potenziale non valutabile 


MOSI\_multipolygon (potenziale)

potenziale alto 

potenziale medio 

potenziale basso 


potenziale nullo 


potenziale non valutabile 

MOSI\_multipoint (potenziale)

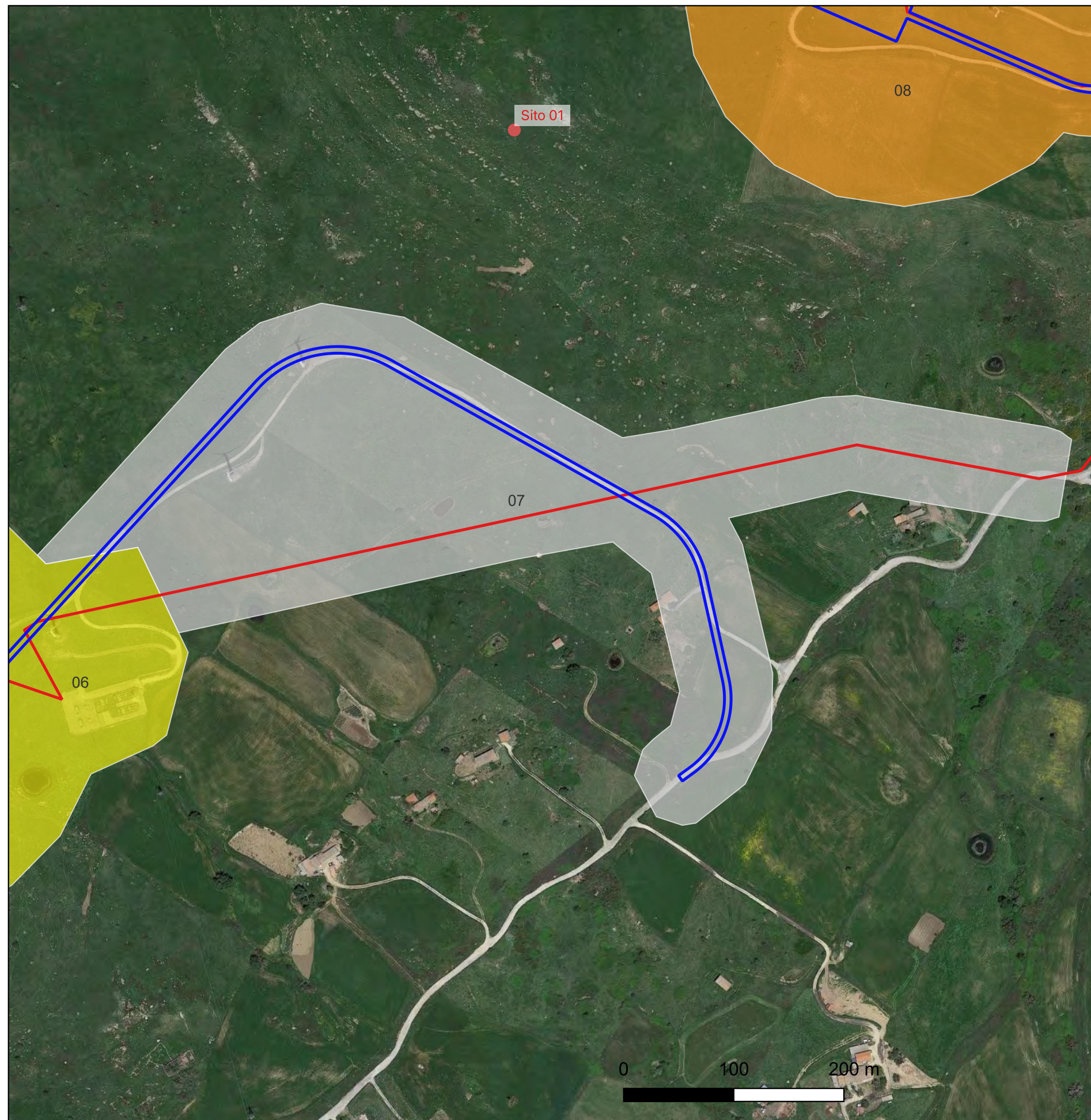
potenziale alto 

potenziale medio 

potenziale basso 

potenziale nullo 

potenziale non valutabile 



# CARTA DEL POTENZIALE - SOPR-EN-ME\_2023\_0037-AKS\_0000037 - area 08

## potenziale medio - affidabilità buona

Per l'area 08 comprendente l'UR 06 (aerogeneratore NI04) il potenziale archeologico è di grado medio in quanto l'UR è ubicata immediatamente a est dal sito archeologico di Monte Ferrante. L'area di installazione dell'aerogeneratore NI04 dista, infatti, circa 300 mt dal sito archeologico.

### LEGENDA

VRP - Carta del potenziale

WTG 

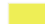
Cavidotti 


Piazzole e strade 


VRP\_multipolygon

potenziale alto 

potenziale medio 

potenziale basso 


potenziale nullo 


potenziale non valutabile 

MOSI\_multipolygon (potenziale)

potenziale alto 

potenziale medio 

potenziale basso 


potenziale nullo 


potenziale non valutabile 


MOSI\_multipoint (potenziale)

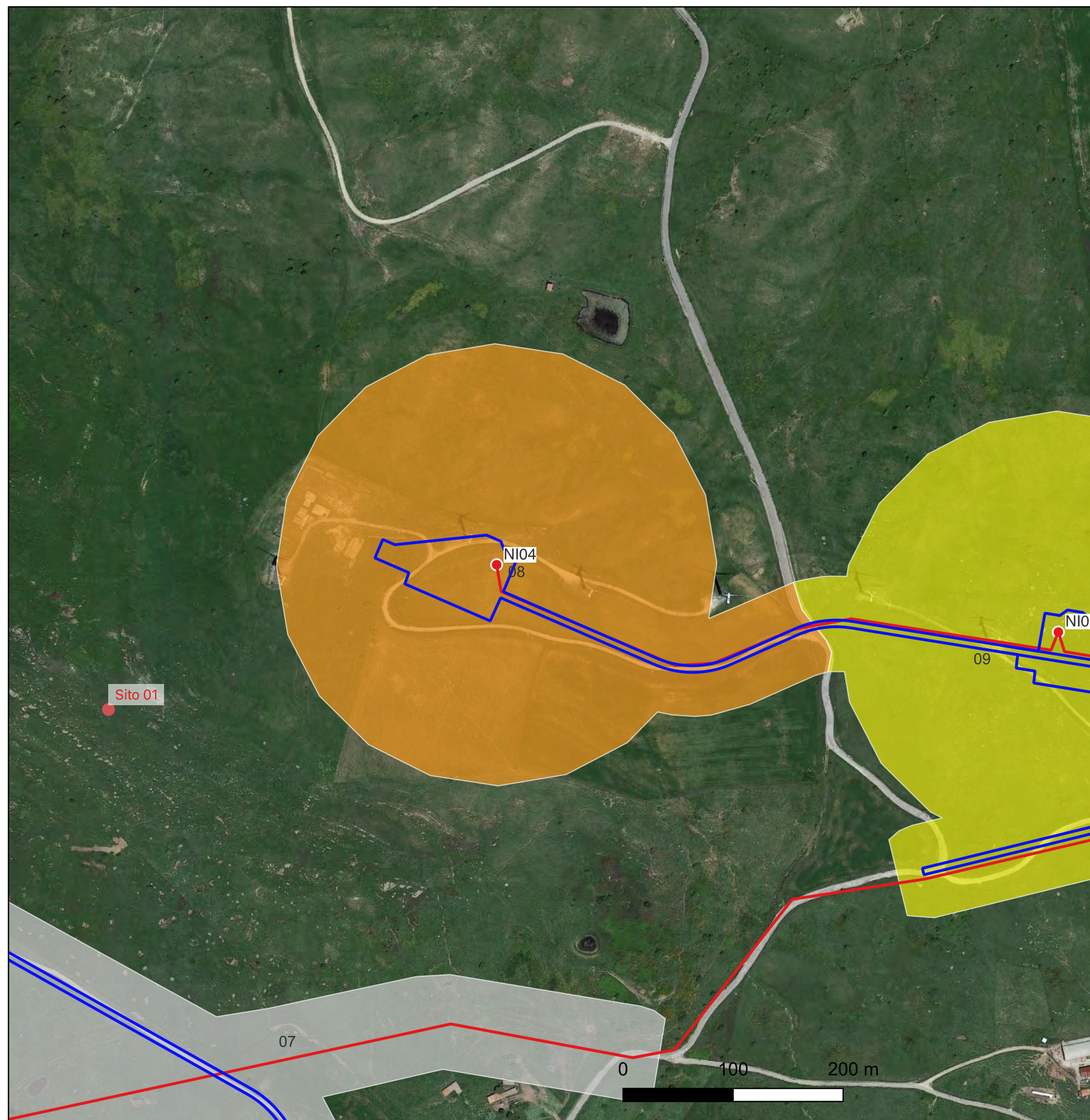
potenziale alto 

potenziale medio 

potenziale basso 

potenziale nullo 

potenziale non valutabile 



# CARTA DEL POTENZIALE - SOPR-EN-ME\_2023\_0037-AKS\_0000037 - area 09

## potenziale basso - affidabilità buona

Per l'area 09 comprendente l'UR 06 (aerogeneratore NI04), UR 07 (aerogeneratore NI05) e l'UR 08 (aerogeneratore NI06) il potenziale archeologico è di grado Basso: "aree connotate da scarsi elementi concreti di frequentazione antica" in quanto, in nessuna delle attività svolte, sono emersi elementi indiziari della presenza di resti archeologici.

### LEGENDA

VRP - Carta del potenziale

WTG ●

Cavidotti —

Piazzole e strade —

VRP\_multipolygon

potenziale alto ■

potenziale medio ■

potenziale basso ■

potenziale nullo ■

potenziale non valutabile ■

MOSI\_multipolygon (potenziale)

potenziale alto ■

potenziale medio ■

potenziale basso ■

potenziale nullo □

potenziale non valutabile ■

MOSI\_multipoint (potenziale)

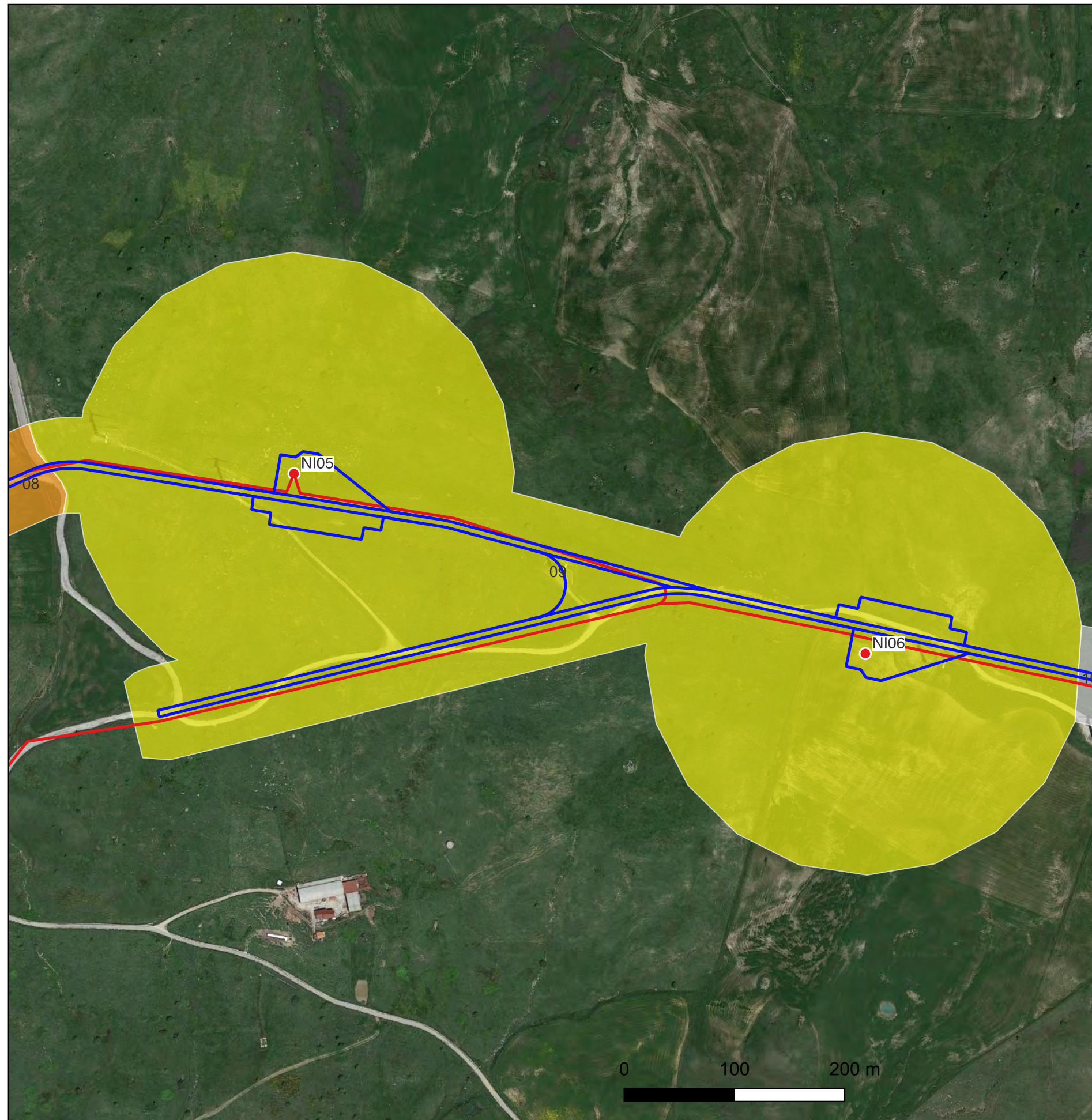
potenziale alto ●

potenziale medio ●

potenziale basso ●

potenziale nullo ○

potenziale non valutabile ●



# CARTA DEL POTENZIALE - SOPR-EN-ME\_2023\_0037-AKS\_0000037 - area 10

## potenziale non valutabile - affidabilità buona

Per l'area 10 comprendente l'UR 09 (aerogeneratore NI07), l'UR 16 (aerogeneratore NI08), l'UR 17 (aerogeneratore NI09) e l'UR 18 (aerogeneratore NI10) il potenziale archeologico è di grado non valutabile in quanto la fitta vegetazione presente non ha consentito un'adeguata visibilità della superficie dei suoli (Circ. 53.2022 MIC).

### LEGENDA

VRP - Carta del potenziale

WTG ●

Cavidotti —

Piazzole e strade —

VRP\_multipolygon

potenziale alto ■

potenziale medio ■

potenziale basso ■

potenziale nullo ■

potenziale non valutabile ■

MOSI\_multipolygon (potenziale)

potenziale alto ■

potenziale medio ■

potenziale basso ■

potenziale nullo □

potenziale non valutabile ■

MOSI\_multipoint (potenziale)

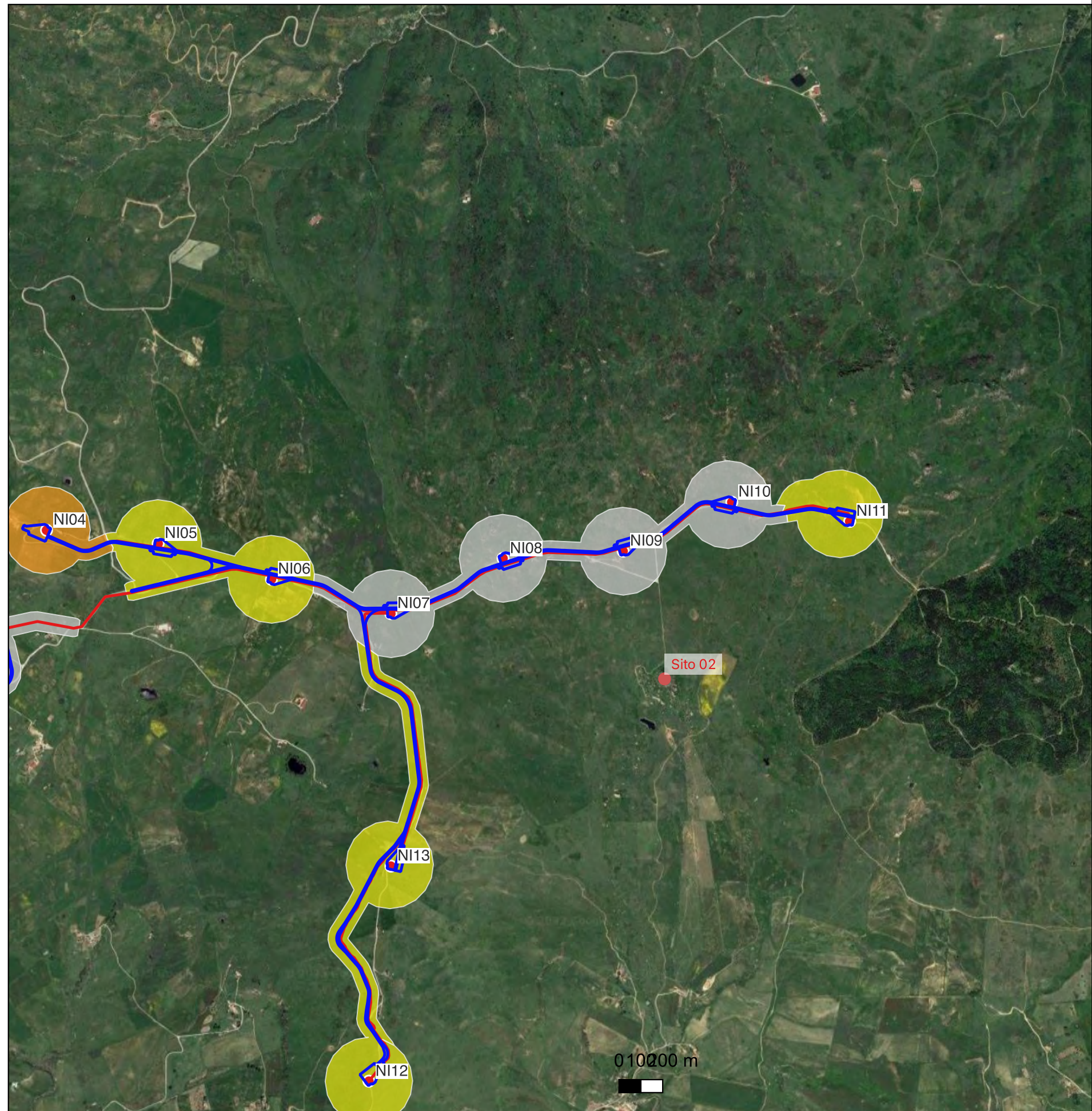
potenziale alto ●

potenziale medio ●

potenziale basso ●

potenziale nullo ○

potenziale non valutabile ●



# CARTA DEL POTENZIALE - SOPR-EN-ME\_2023\_0037-AKS\_0000037 - area 11

## potenziale basso - affidabilità buona

Per l'area 11 comprendente l'UR 10 (aerogeneratore NI13), l'UR 15 (viabilità e cavidotti), l'UR 20 (viabilità e cavidotto) e l'UR 21 (aerogeneratore NI12) il potenziale archeologico è di grado Basso: "aree connotate da scarsi elementi concreti di frequentazione antica" in quanto, in nessuna delle attività svolte, sono emersi elementi indiziari della presenza di resti archeologici.

### LEGENDA

VRP - Carta del potenziale

WTG ●

Cavidotti —

Piazzole e strade —

VRP\_multipolygon

potenziale alto ■

potenziale medio ■

potenziale basso ■

potenziale nullo ■

potenziale non valutabile ■

MOSI\_multipolygon (potenziale)

potenziale alto ■

potenziale medio ■

potenziale basso ■

potenziale nullo

potenziale non valutabile

MOSI\_multipoint (potenziale)

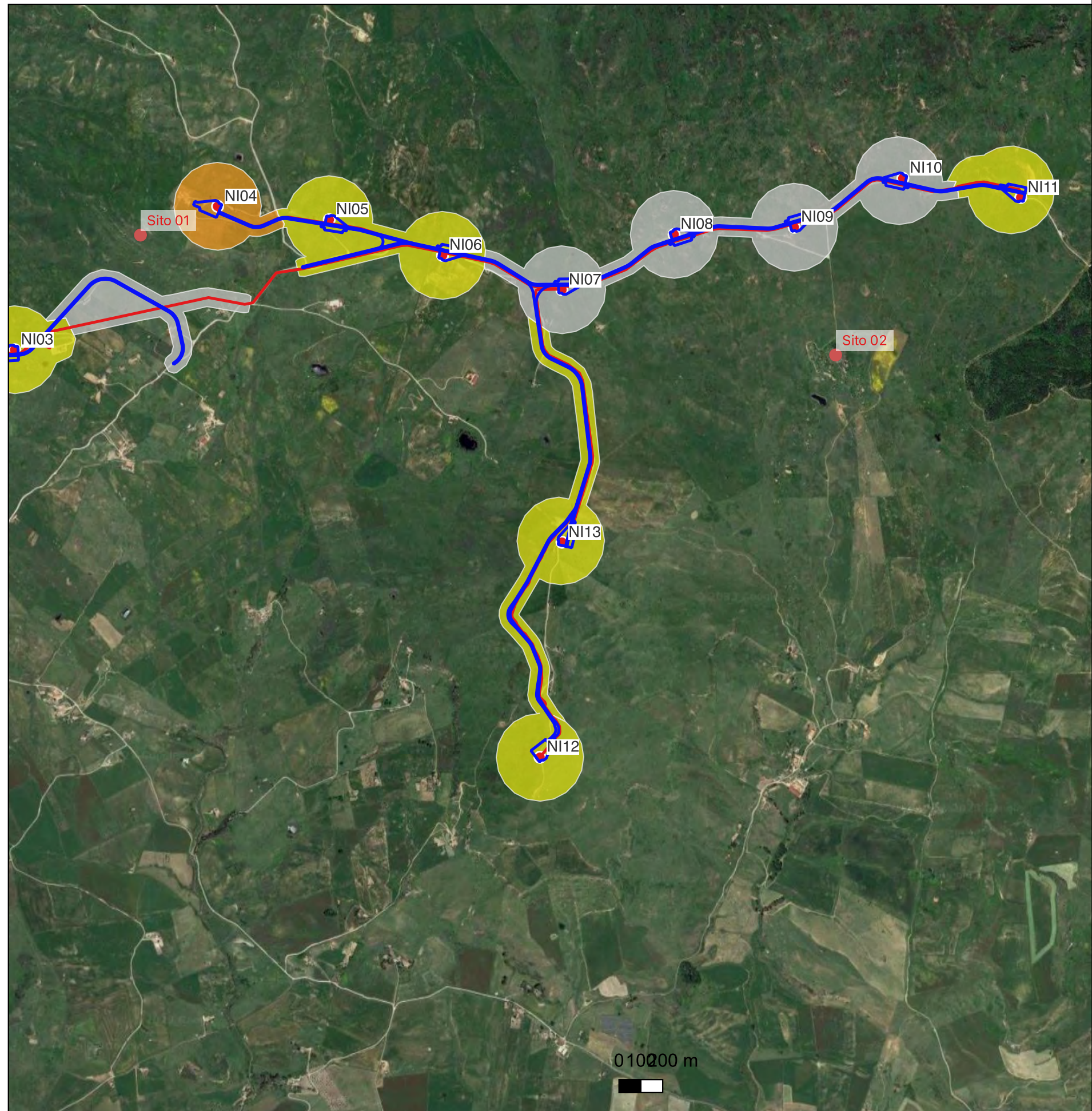
potenziale alto ●

potenziale medio ●

potenziale basso ●

potenziale nullo ○

potenziale non valutabile ●



# CARTA DEL POTENZIALE - SOPR-EN-ME\_2023\_0037-AKS\_0000037 - area 12

## potenziale basso - affidabilità buona

Per l'area 12 comprendente l'UR 19 (aerogeneratore NI11) il potenziale archeologico è di grado Basso: "aree connotate da scarsi elementi concreti di frequentazione antica" in quanto, in nessuna delle attività svolte, sono emersi elementi indiziari della presenza di resti archeologici.

### LEGENDA

VRP - Carta del potenziale

WTG ●

Cavidotti —

Piazzole e strade —

VRP\_multipolygon

potenziale alto ■

potenziale medio ■

potenziale basso ■

potenziale nullo ■

potenziale non valutabile ■

MOSI\_multipolygon (potenziale)

potenziale alto ■

potenziale medio ■

potenziale basso ■

potenziale nullo □

potenziale non valutabile ■

MOSI\_multipoint (potenziale)

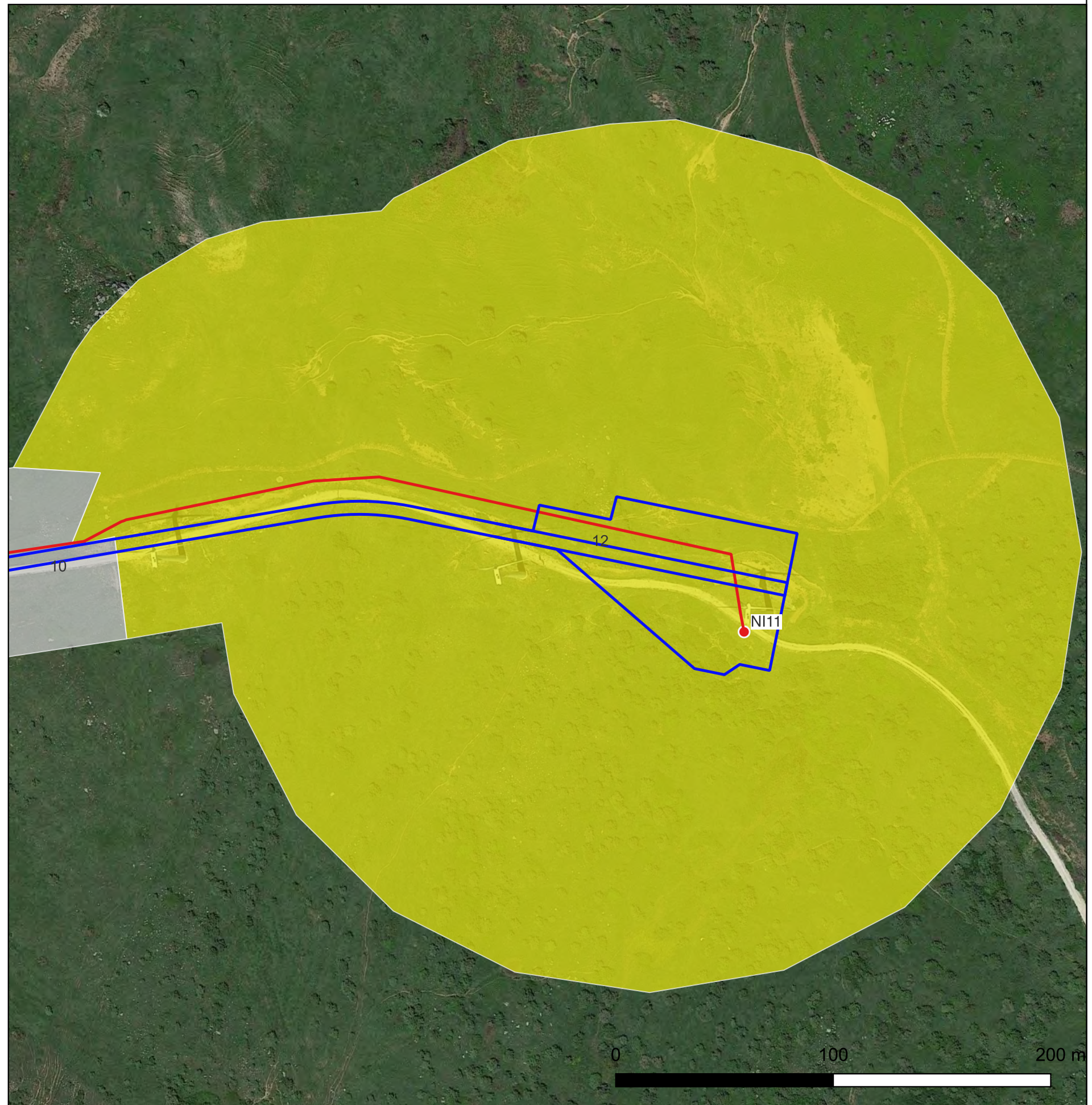
potenziale alto ●

potenziale medio ●

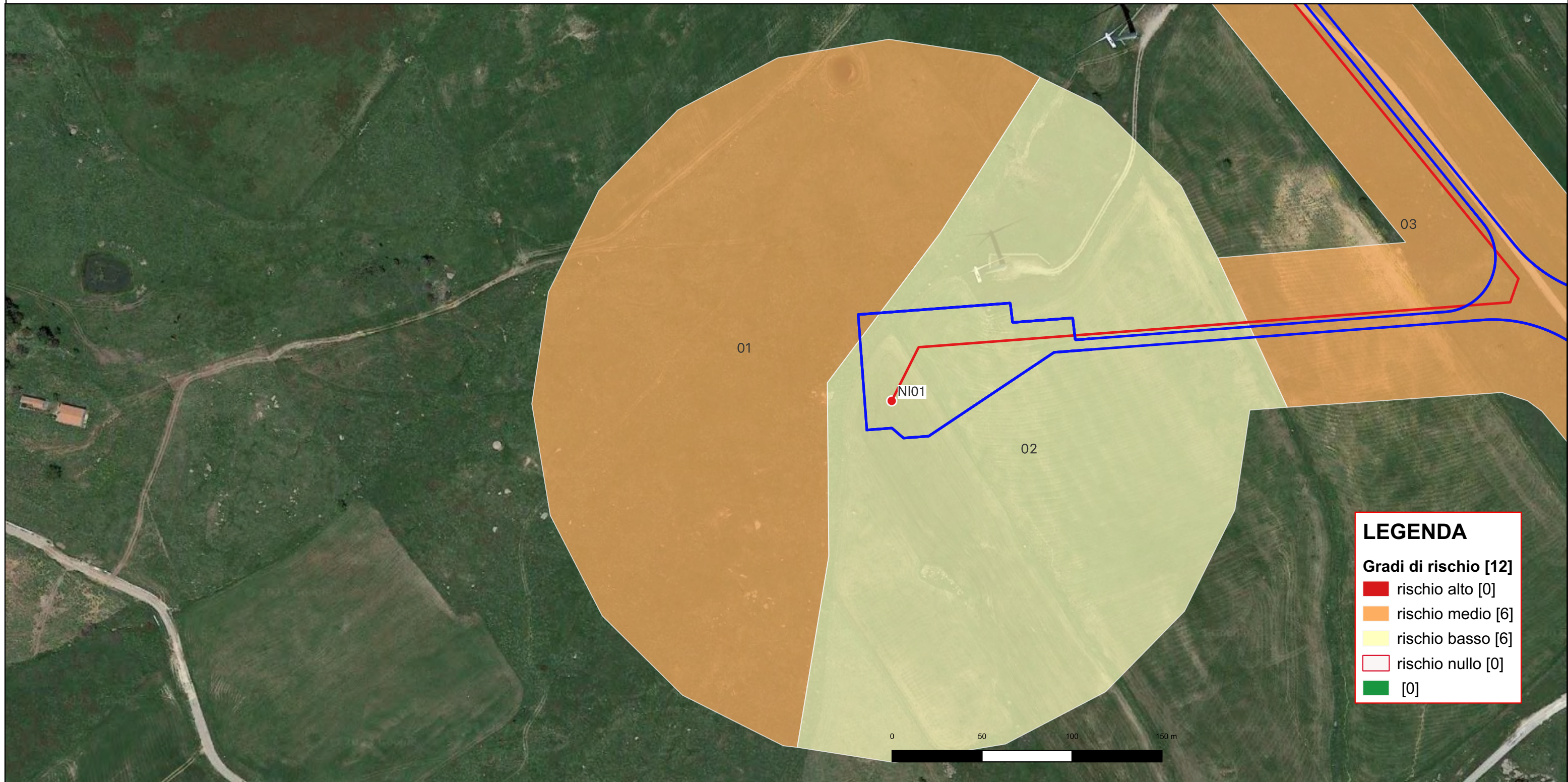
potenziale basso ●

potenziale nullo ○

potenziale non valutabile ●



# CARTA DEL RISCHIO - SOPR-EN-ME\_2023\_0037-AKS\_0000037 - area 01



**LEGENDA**

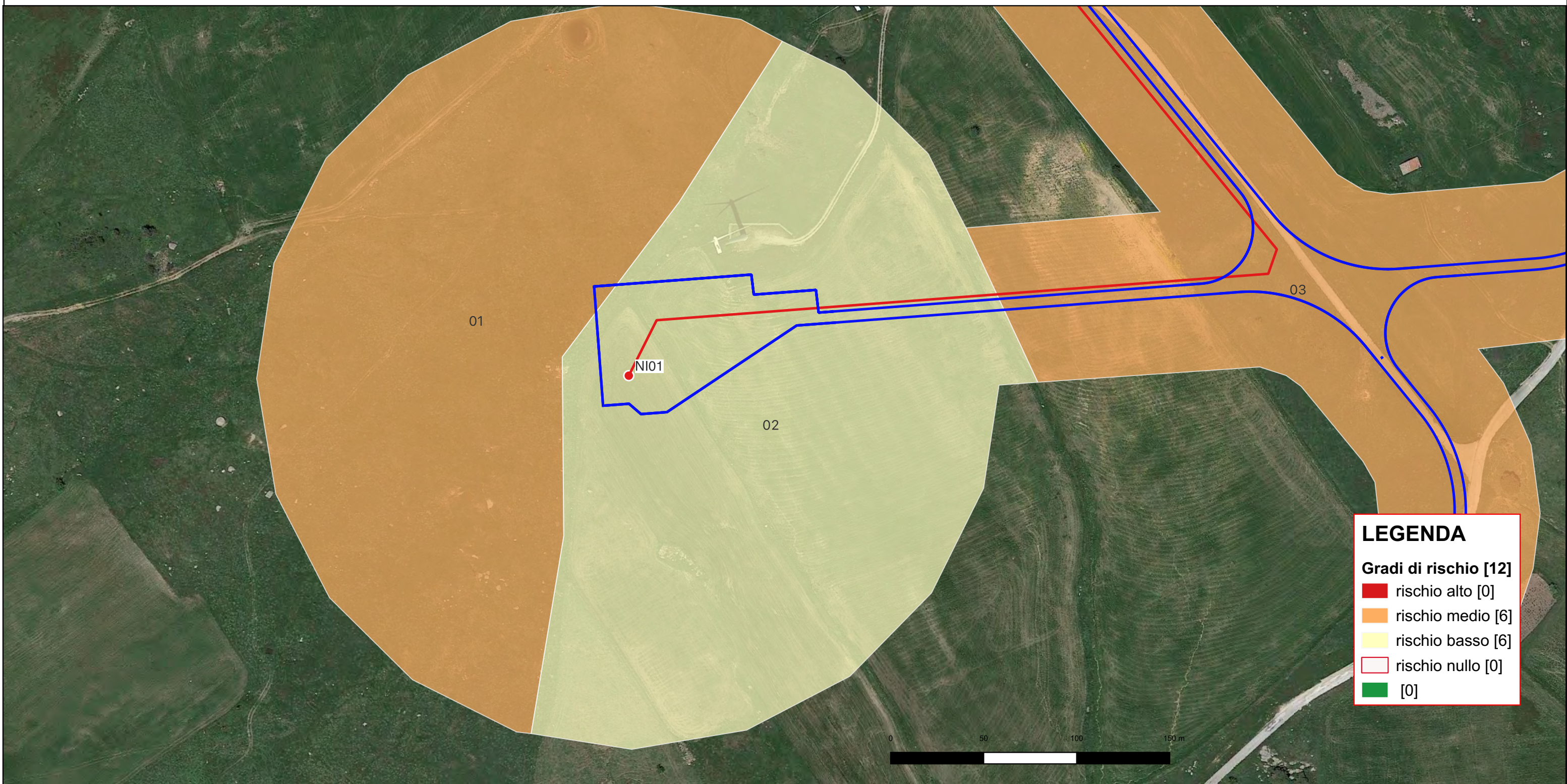
**Gradi di rischio [12]**

- rischio alto [0]
- rischio medio [6]
- rischio basso [6]
- rischio nullo [0]
- [0]

Riferimento (VRDR)	Rischio - sintesi (VRDS)	Note (VRDN)
01	rischio medio	Per l'area 01 comprendente l'UR 02 (buffer aerogeneratore NI01) il rischio archeologico relativo all'opera è classificabile come medio in quanto l'area presenta un potenziale non valutabile per la presenza di una fitta vegetazione che non ha consentito un'adeguata analisi della superficie dei suoli (circolare 53.2022 MIC).



# CARTA DEL RISCHIO - SOPR-EN-ME\_2023\_0037-AKS\_0000037 - area 02



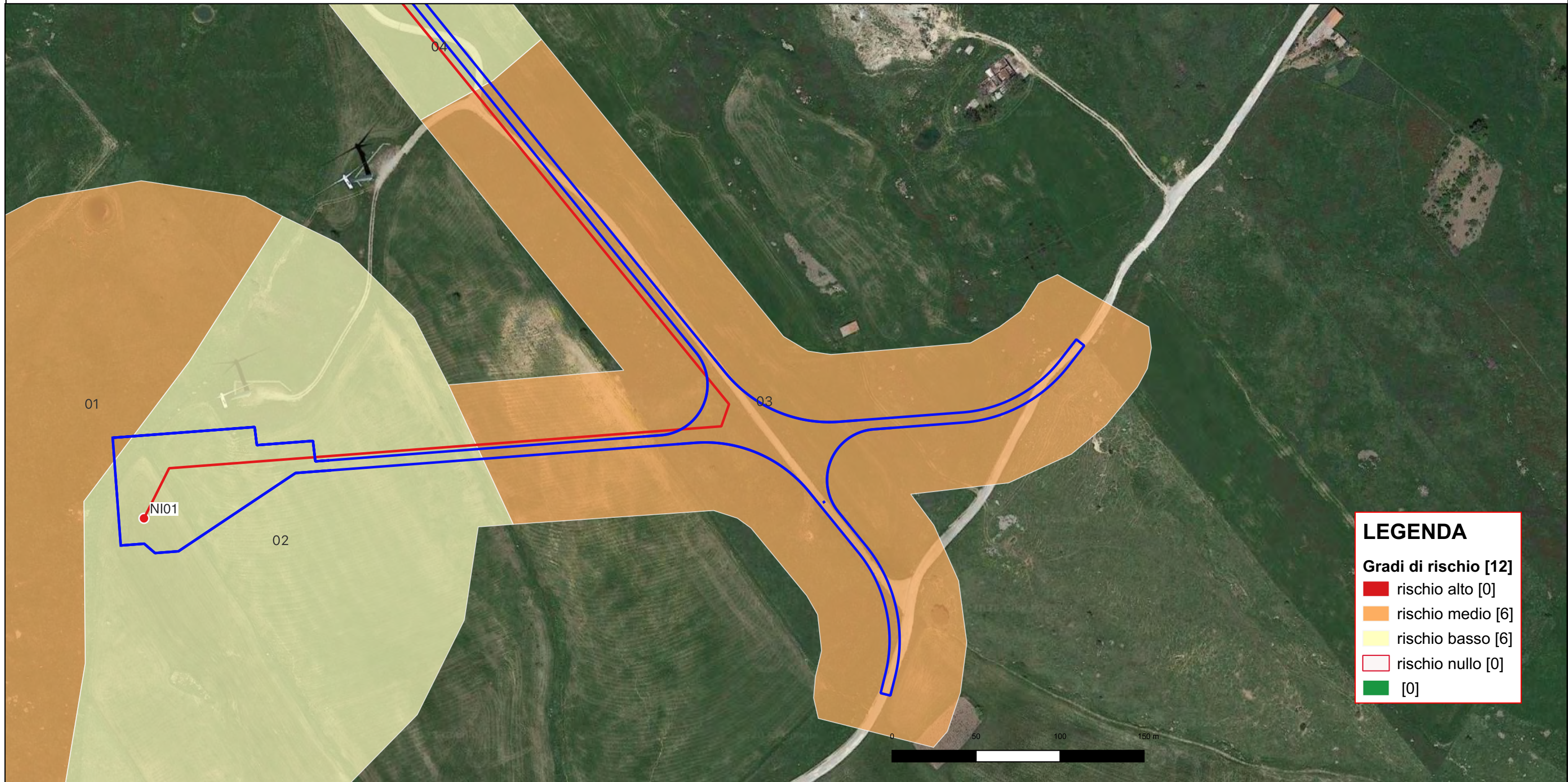
**LEGENDA**

**Gradi di rischio [12]**

- rischio alto [0]
- rischio medio [6]
- rischio basso [6]
- rischio nullo [0]
- [0]

Riferimento (VRDR)	Rischio - sintesi (VRDS)	Note (VRDN)
02	rischio basso	Per l'area 02 comprendente l'UR 01 (aerogeneratore NI01) il rischio archeologico relativo all'opera è di grado Basso: "aree a potenziale archeologico basso,nelle quali è altamente improbabile la presenza di stratificazione archeologica o di resti archeologici in situ" .In nessuna delle attività svolte,infatti,sono emersi elementi indiziari della presenza di resti archeologici e i siti archeologici noti più vicini sono posti tutti a distanza di sicurezza dall'opera.

# CARTA DEL RISCHIO - SOPR-EN-ME\_2023\_0037-AKS\_0000037 - area 03



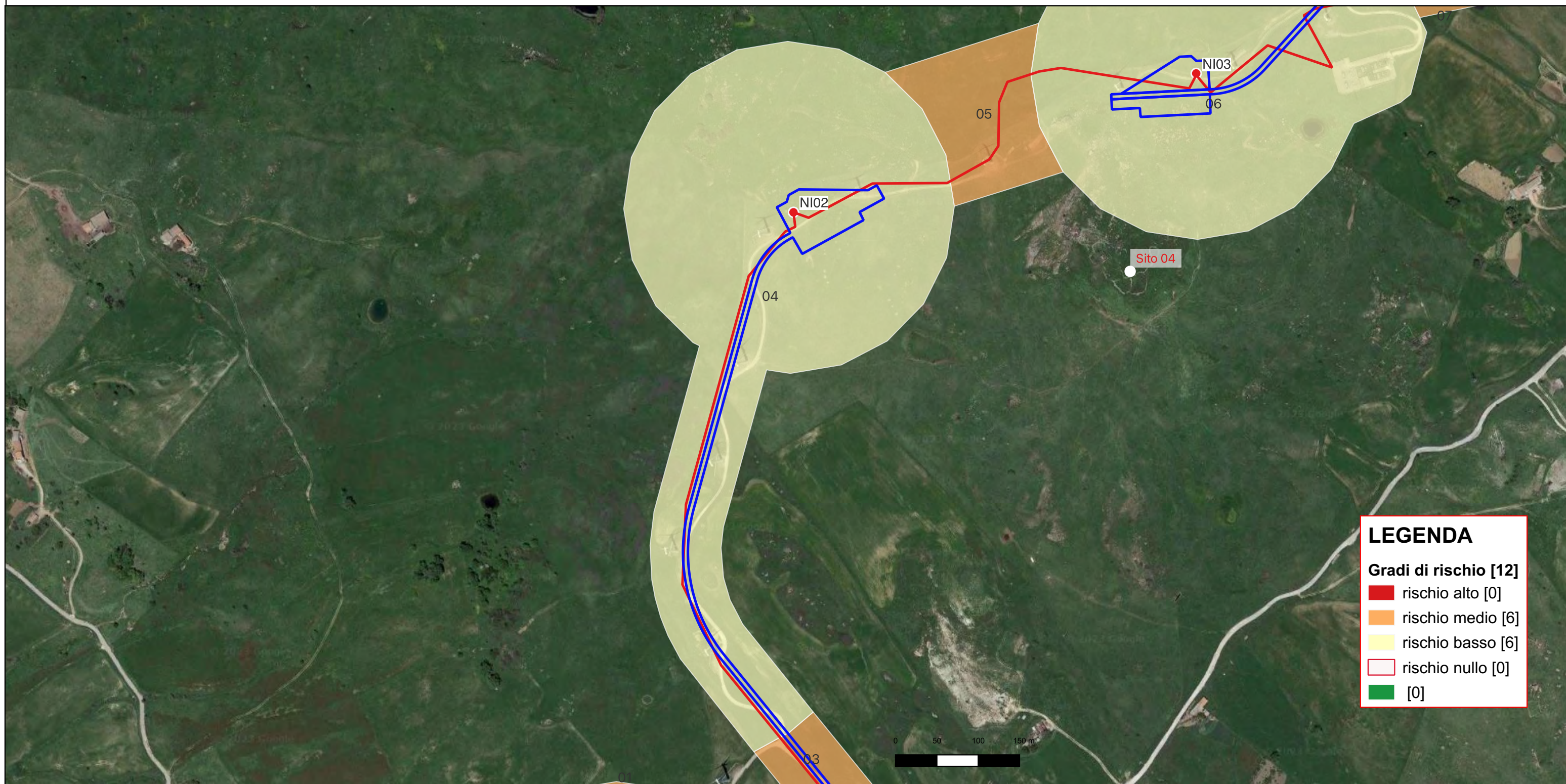
**LEGENDA**

**Gradi di rischio [12]**

- rischio alto [0]
- rischio medio [6]
- rischio basso [6]
- rischio nullo [0]

Riferimento (VRDR)	Rischio - sintesi (VRDS)	Note (VRDN)
03	rischio medio	Per l'area 03 comprendente l'UR 11 (viabilità) il rischio archeologico relativo all'opera è classificabile come medio in quanto l'area presenta un potenziale non valutabile per la presenza di una fitta vegetazione che non ha consentito un'adeguata analisi della superficie dei suoli (circolare 53.2022 MIC).

# CARTA DEL RISCHIO - SOPR-EN-ME\_2023\_0037-AKS\_0000037 - area 04



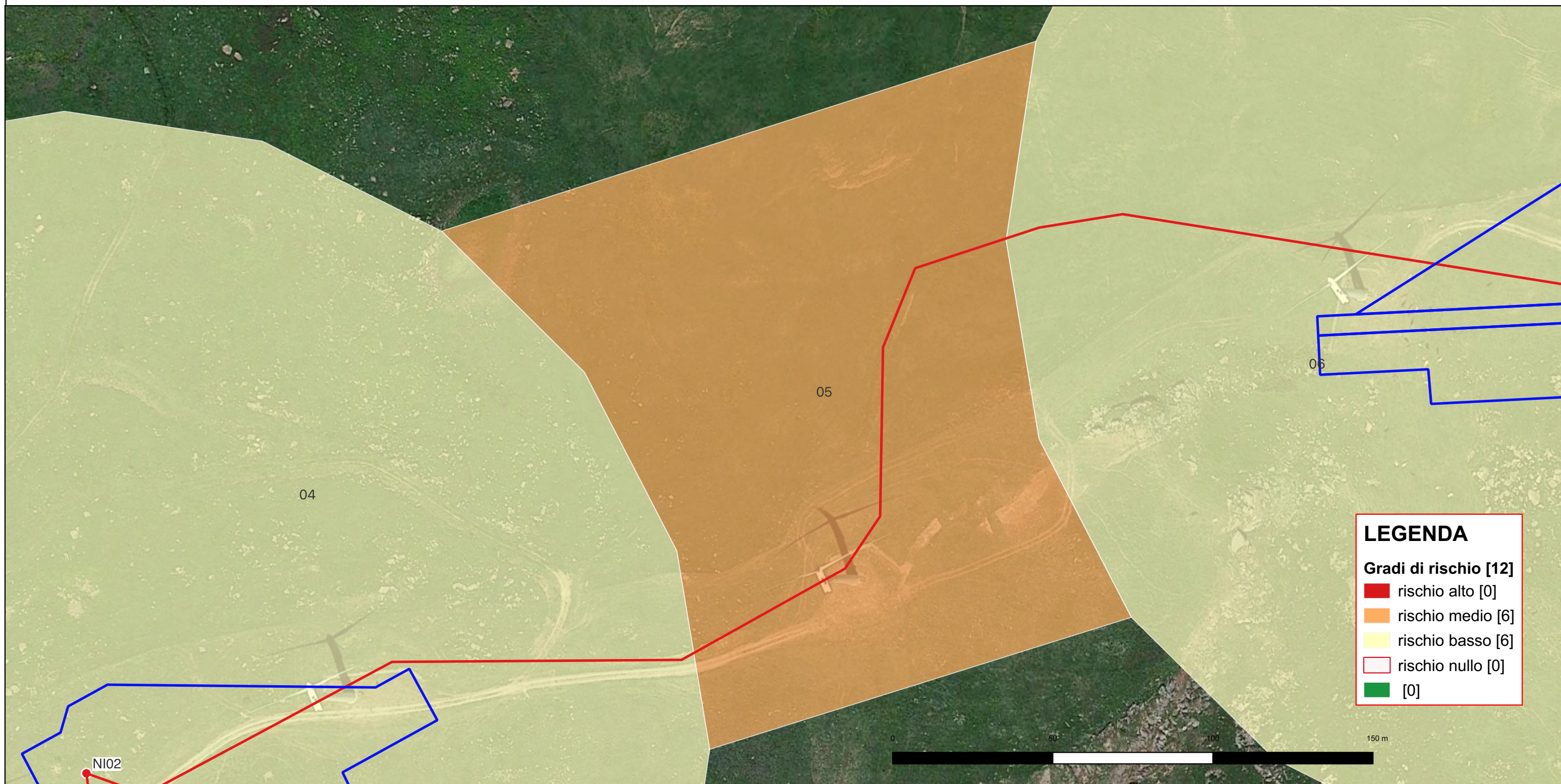
**LEGENDA**

**Gradi di rischio [12]**

- rischio alto [0]
- rischio medio [6]
- rischio basso [6]
- rischio nullo [0]
- [0]

Riferimento (VRDR)	Rischio - sintesi (VRDS)	Note (VRDN)
04	rischio basso	Per l'area 04 comprendente l'UR 03 (aerogeneratore NI02) e l'UR 12 (viabilità e cavidotti) il rischio archeologico relativo all'opera è di grado Basso: "aree a potenziale archeologico basso,nelle quali è altamente improbabile la presenza di stratificazione archeologica o di resti archeologici in situ".In nessuna delle attività svolte,infatti,sono emersi elementi indiziari della presenza di resti archeologici e i siti archeologici noti più vicini sono posti tutti a distanza di sicurezza dall'opera.

# CARTA DEL RISCHIO - SOPR-EN-ME\_2023\_0037-AKS\_0000037 - area 05



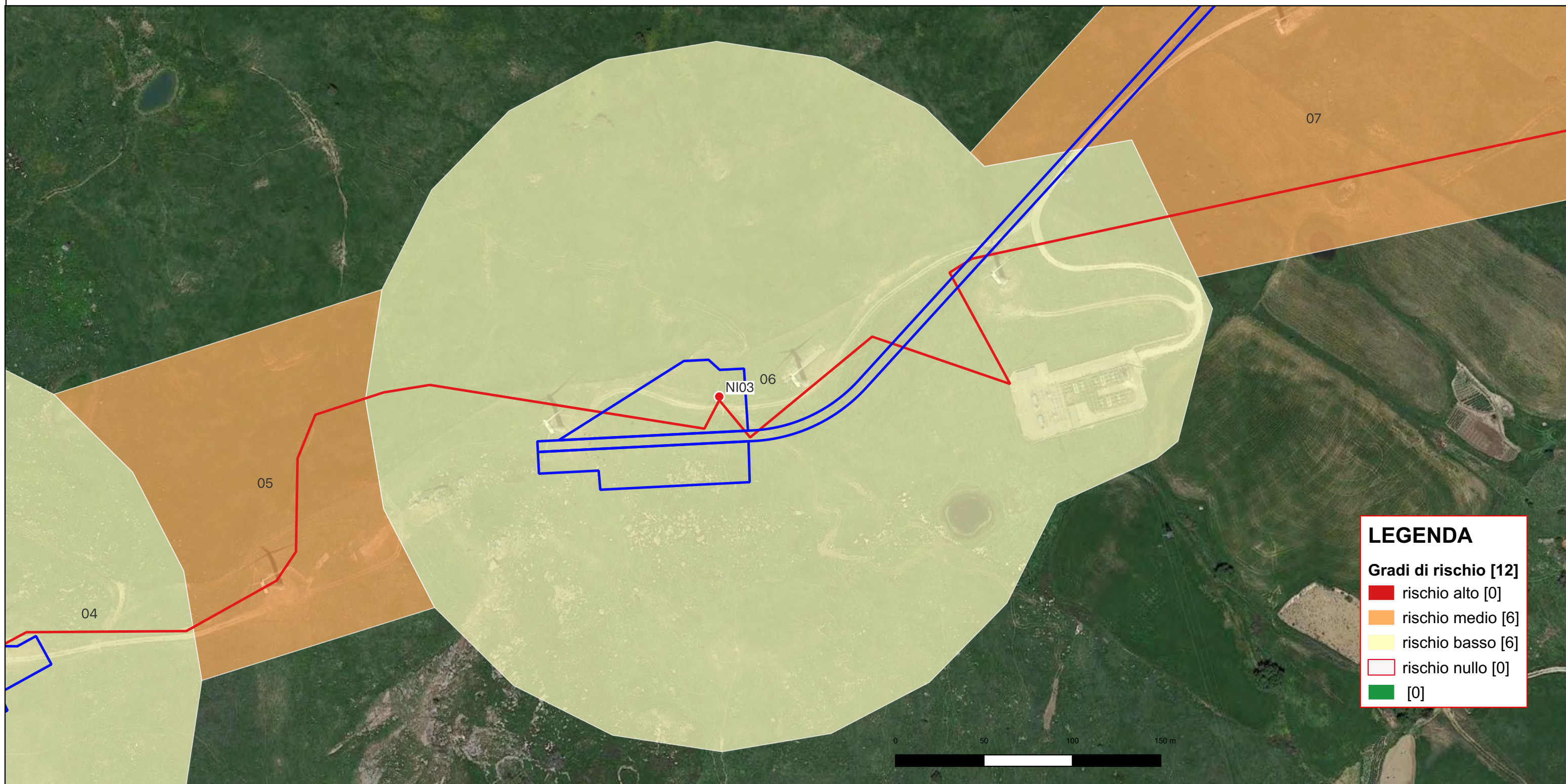
**LEGENDA**

**Gradi di rischio [12]**

- rischio alto [0]
- rischio medio [6]
- rischio basso [6]
- rischio nullo [0]
- [0]

Riferimento (VRDR)	Rischio - sintesi (VRDS)	Note (VRDN)
05	rischio medio	Per l'area 05 comprendente l'UR 13 (cavidotto) il rischio archeologico relativo all'opera è classificabile come medio in quanto l'area presenta un potenziale non valutabile per la presenza di una fitta vegetazione che non ha consentito un'adeguata analisi della superficie dei suoli (circolare 53.2022 MIC).

# CARTA DEL RISCHIO - SOPR-EN-ME\_2023\_0037-AKS\_0000037 - area 06



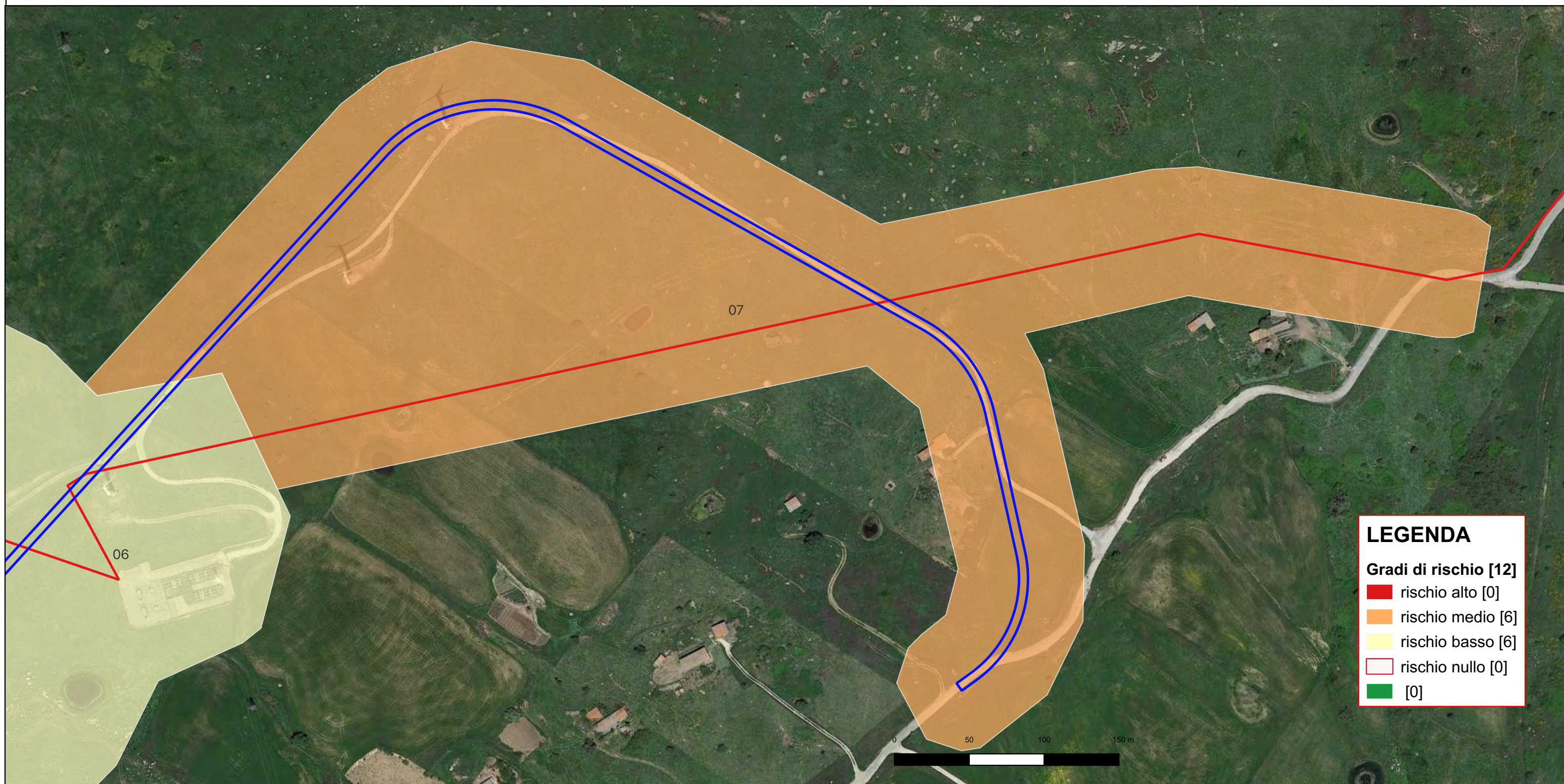
**LEGENDA**

**Gradi di rischio [12]**

- rischio alto [0]
- rischio medio [6]
- rischio basso [6]
- rischio nullo [0]
- [0]

Riferimento (VRDR)	Rischio - sintesi (VRDS)	Note (VRDN)
06	rischio basso	Per l'area 06 comprendente l'UR 04 (aerogeneratore NI03) e l'UR 05 (area sottostazione) il rischio archeologico relativo all'opera è di grado Basso: "aree a potenziale archeologico basso,nelle quali è altamente improbabile la presenza di stratificazione archeologica o di resti archeologici in situ" .In nessuna delle attività svolte,infatti,sono emersi elementi indiziari della presenza di resti archeologici e i siti archeologici noti più vicini sono posti tutti a distanza di sicurezza dall'opera.

# CARTA DEL RISCHIO - SOPR-EN-ME\_2023\_0037-AKS\_0000037 - area 07



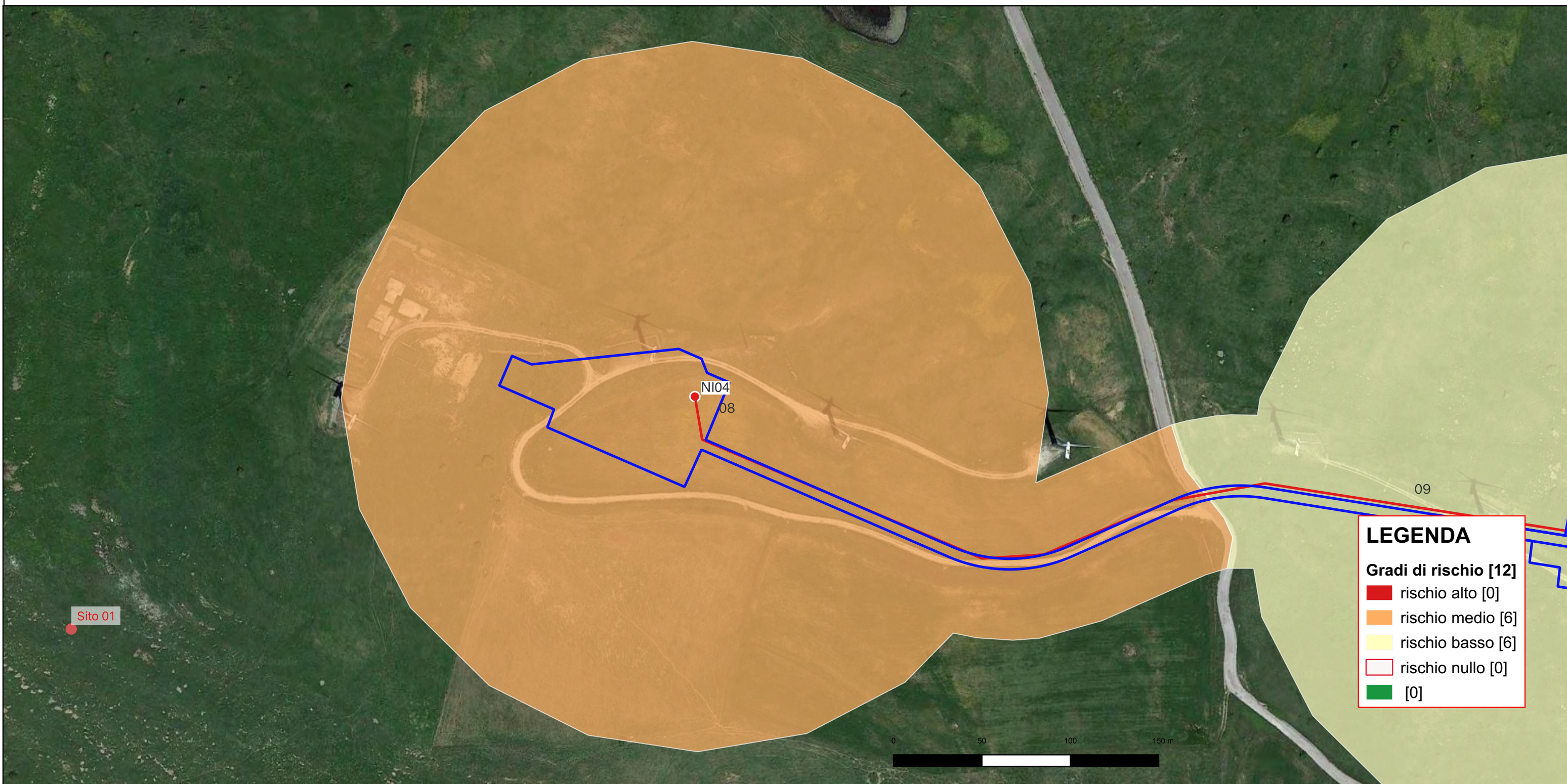
**LEGENDA**

**Gradi di rischio [12]**

- rischio alto [0]
- rischio medio [6]
- rischio basso [6]
- rischio nullo [0]
- [0]

Riferimento (VRDR)	Rischio - sintesi (VRDS)	Note (VRDN)
07	rischio medio	Per l'area 07 comprendente l'UR 14 (viabilità) il rischio archeologico relativo all'opera è classificabile come medio in quanto l'area presenta un potenziale non valutabile per la presenza di una fitta vegetazione che non ha consentito un'adeguata analisi della superficie dei suoli (circolare 53.2022 MIC).

# CARTA DEL RISCHIO - SOPR-EN-ME\_2023\_0037-AKS\_0000037 - area 08



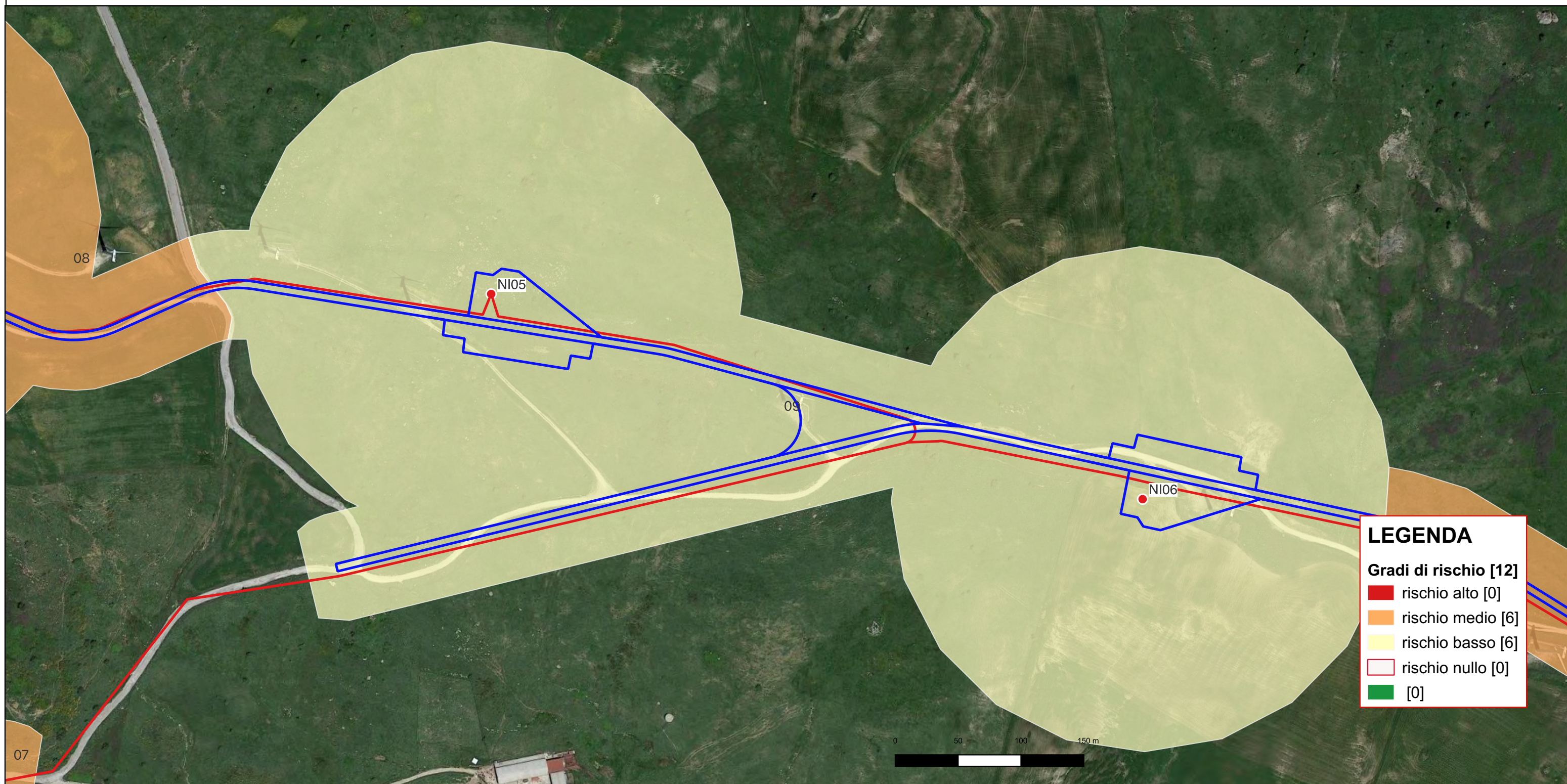
**LEGENDA**

**Gradi di rischio [12]**

- rischio alto [0]
- rischio medio [6]
- rischio basso [6]
- rischio nullo [0]
- [0]

Riferimento (VRDR)	Rischio - sintesi (VRDS)	Note (VRDN)
08	rischio medio	Per l'area 08 comprendente l'UR 06 (aerogeneratore NI04) il rischio archeologico relativo all'opera è di grado medio in quanto l'UR è ubicata immediatamente a est dal sito archeologico di Monte Ferrante.L'area di installazione dell'aerogeneratore NI04 dista,infatti,circa 300 mt dal sito archeologico.

# CARTA DEL RISCHIO - SOPR-EN-ME\_2023\_0037-AKS\_0000037 - area 09



**LEGENDA**

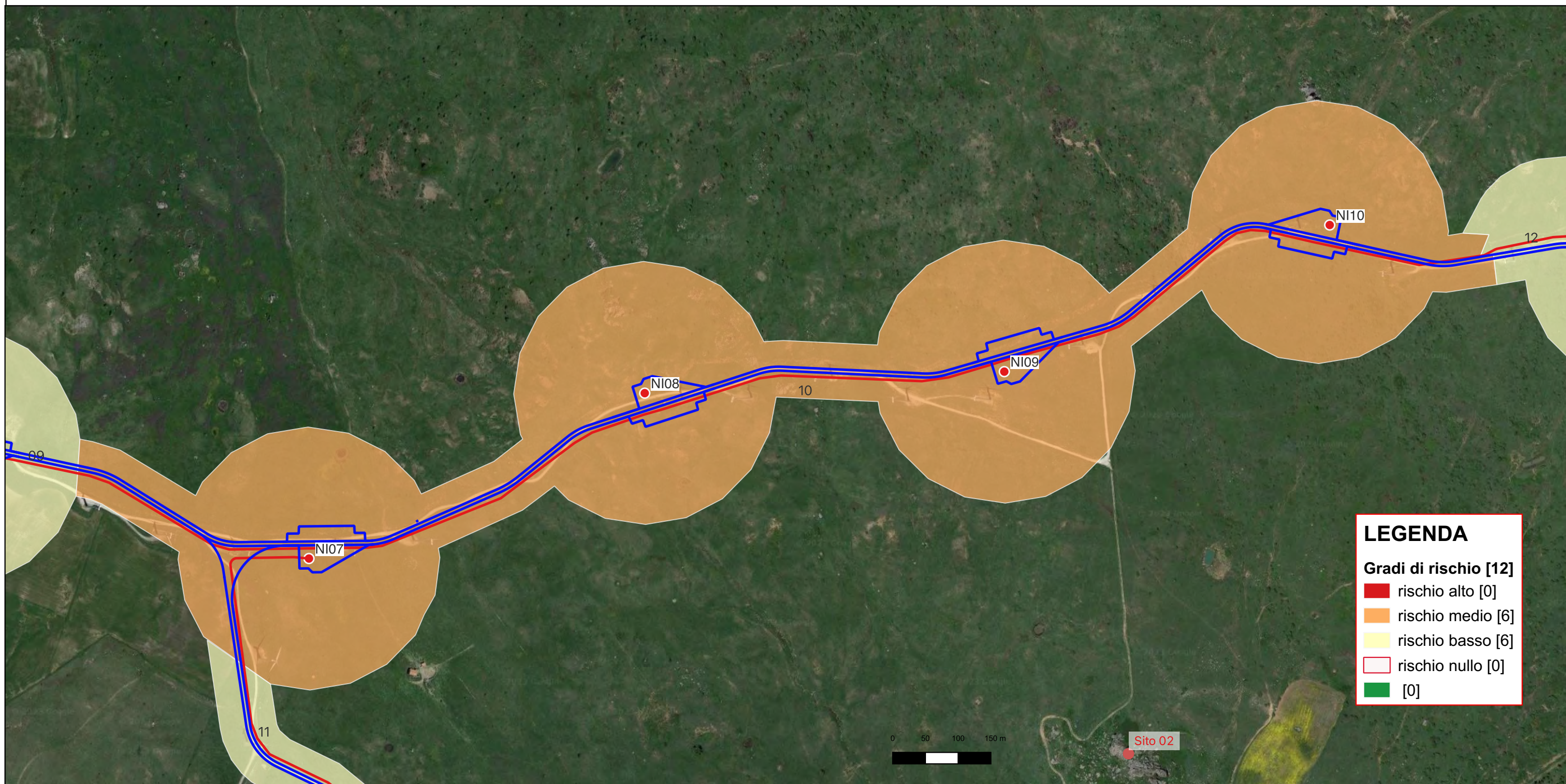
**Gradi di rischio [12]**

- rischio alto [0]
- rischio medio [6]
- rischio basso [6]
- rischio nullo [0]
- [0]

Riferimento (VRDR)	Rischio - sintesi (VRDS)	Note (VRDN)
09	rischio basso	Per l'area 09 comprendente l'UR 06 (aerogeneratore NI04), UR 07 (aerogeneratore NI05) e l'UR 08 (aerogeneratore NI06) il rischio archeologico relativo all'opera è di grado Basso: "aree a potenziale archeologico basso, nelle quali è altamente improbabile la presenza di stratificazione archeologica o di resti archeologici in situ". In nessuna delle attività svolte, infatti, sono emersi elementi indiziari della presenza di resti archeologici e i siti archeologici noti più vicini sono posti tutti a distanza di sicurezza dall'opera.



# CARTA DEL RISCHIO - SOPR-EN-ME\_2023\_0037-AKS\_0000037 - area 10



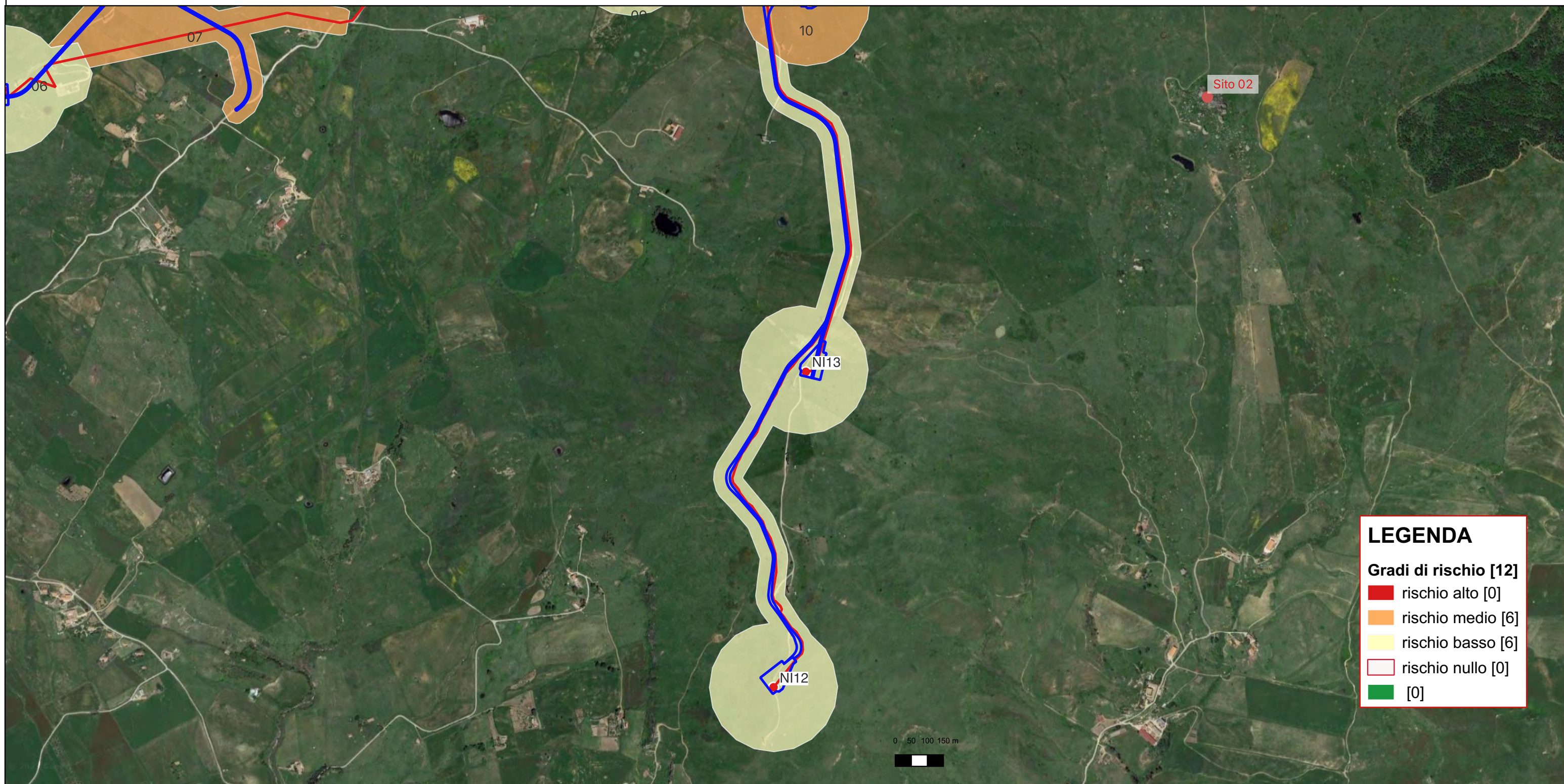
**LEGENDA**

**Gradi di rischio [12]**

- rischio alto [0]
- rischio medio [6]
- rischio basso [6]
- rischio nullo [0]
- [0]

Riferimento (VRDR)	Rischio - sintesi (VRDS)	Note (VRDN)
10	rischio medio	Per l'area 10 comprendente l'UR 09 (aerogeneratore NI07), l'UR 16 (aerogeneratore NI08), l'UR 17 (aerogeneratore NI09) e l'UR 18 (aerogeneratore NI10) il rischio archeologico relativo all'opera è classificabile come medio in quanto l'area presenta un potenziale non valutabile per la presenza di una fitta vegetazione che non ha consentito un'adeguata analisi della superficie dei suoli (circolare 53.2022 MIC).

# CARTA DEL RISCHIO - SOPR-EN-ME\_2023\_0037-AKS\_0000037 - area 11



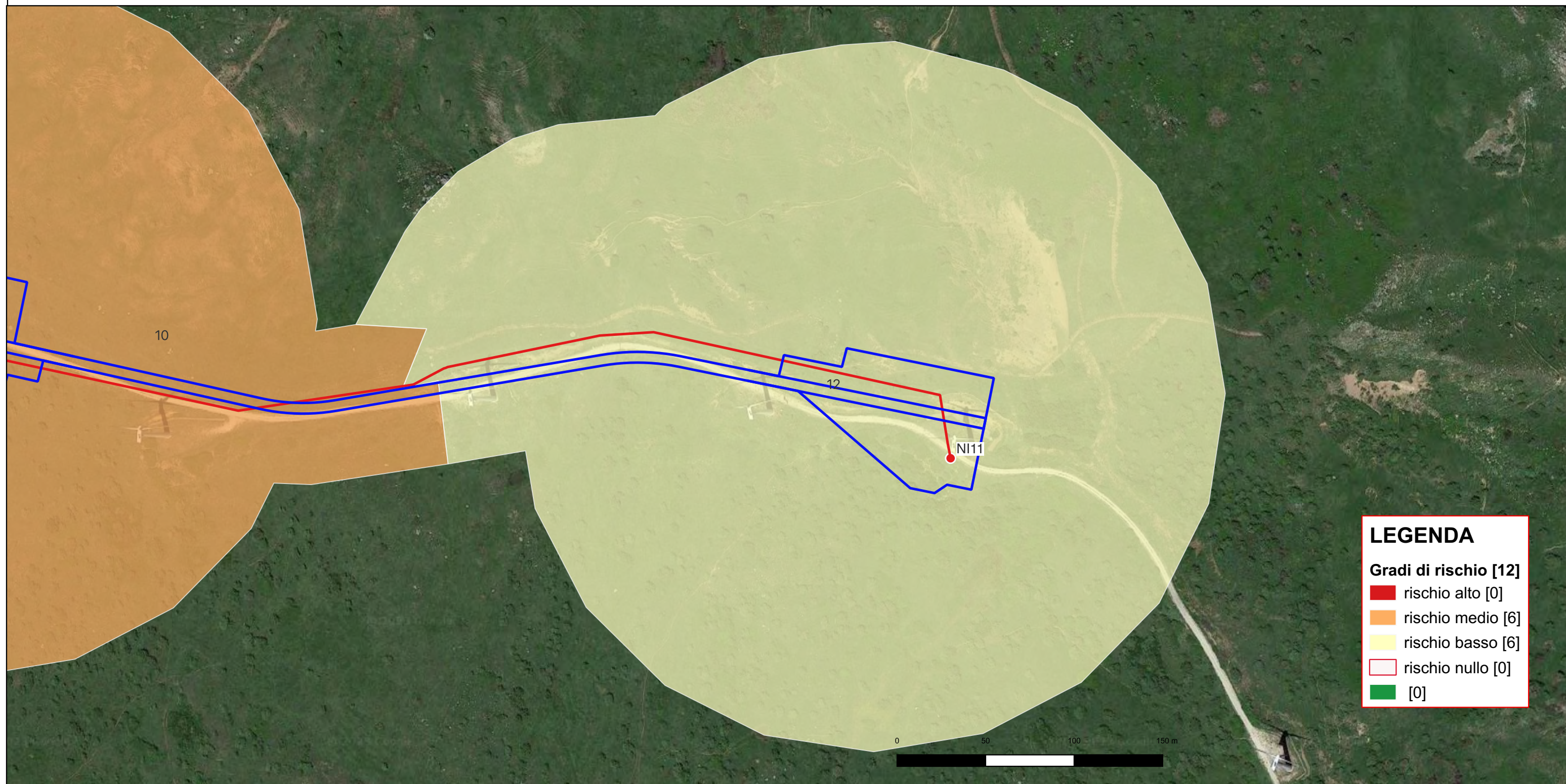
**LEGENDA**

**Gradi di rischio [12]**

- rischio alto [0]
- rischio medio [6]
- rischio basso [6]
- rischio nullo [0]
- [0]

Riferimento (VRDR)	Rischio - sintesi (VRDS)	Note (VRDN)
11	rischio basso	Per l'area 11 comprendente l'UR 10 (aerogeneratore NI13),l'UR 15 (viabilità e cavidotti),l'UR 20 (viabilità e cavidotto) e l'UR 21 (aerogeneratore NI12 il rischio archeologico relativo all'opera è di grado Basso: "aree a potenziale archeologico basso,nelle quali è altamente improbabile la presenza di stratificazione archeologica o di resti archeologici in situ" .In nessuna delle attività svolte,infatti,sono emersi elementi indiziari della presenza di resti archeologici e i siti archeologici noti più vicini sono posti tutti a distanza di sicurezza dall'opera.

# CARTA DEL RISCHIO - SOPR-EN-ME\_2023\_0037-AKS\_0000037 - area 12



**LEGENDA**

**Gradi di rischio [12]**

- rischio alto [0]
- rischio medio [6]
- rischio basso [6]
- rischio nullo [0]
- [0]

Riferimento (VRDR)	Rischio - sintesi (VRDS)	Note (VRDN)
12	rischio basso	Per l'area 12 comprendente l'UR 19 (aerogeneratore NI11) il rischio archeologico relativo all'opera è di grado Basso: "aree a potenziale archeologico basso,nelle quali è altamente improbabile la presenza di stratificazione archeologica o di resti archeologici in situ" .In nessuna delle attività svolte,infatti,sono emersi elementi indiziari della presenza di resti archeologici e i siti archeologici noti più vicini sono posti tutti a distanza di sicurezza dall'opera.